



UNIVERSITÀ DEGLI STUDI
DI GENOVA



Università degli Studi di Genova

Scuola di Scienze Mediche e Farmaceutiche

Dipartimento di Neuroscienze, Riabilitazione, Oftalmologia, Genetica e Scienze Materno-Infantili

Master in Riabilitazione dei Disordini Muscoloscheletrici

A.A. 2017/2018

Campus Universitario di Savona

"Il trattamento fisioterapico dell'impingement subacromiale" revisione sistematica della letteratura

Candidato:

Dott. Angelo D'Onofrio FT

Relatori:

Dott. Diego RISTORI FT, OMT

Dott. Simone MIELE FT, OMT

INDICE

ABSTRACT pag.05

BACKGROUND

Introduzione pag.06

OBIETTIVI pag.08

METODI

Criteri per considerare gli studi per questa revisione

 Tipologia di studi pag 08
 Tipologia di partecipanti pag 08
 Tipi di interventi pag 09
 Misure di Outcome pag 09

Metodo di ricerca per identificare gli studi

 Ricerche elettroniche pag 09

Raccolta ed analisi dati

 Selezione degli studi pag.10
 Estrazione e gestione dei dati pag.10
 Valutazione rischio di bias degli studi inclusi pag.10
 Misure di sintesi pag.11

RISULTATI

Risultati della ricerca pag.11
Studi inclusi pag.13
Studi esclusi pag.14
Rischio di bias negli studi inclusi pag.14
Effetti degli interventi pag.17

DISCUSSIONE

Sintesi dei risultati e qualità dell'evidenza pag.21
Limiti nel processo di revisione pag.24

CONCLUSIONI

Implicazioni per la pratica clinica	pag.25
Implicazioni per la ricerca.....	pag.25
ALLEGATO A (Tabelle studi inclusi).....	pag 26
ALLEGATO B (Valutazione PEDro studi inclusi).....	pag 83
BIBLIOGRAFIA.....	pag. 87

ABSTRACT

Background

Il trattamento fisioterapico conservativo nella Sindrome da Impingement di spalla ha nella pratica clinica una vasta gamma di modalità di applicazione tra le quali terapia manuale, terapia fisica, somministrazione di esercizi e taping. Queste diverse modalità sono state comparate tra loro o con altri trattamenti da diversi ricercatori, sebbene una comparazione chiara e comprensiva dei trattamenti sia ad oggi mancante.

Obiettivi

L'elaborato si propone di individuare quali evidenze vi siano relativamente all'efficacia delle terapie fisiche (laser, ultrasuoni, diatermia, onde d'urto), terapia manuale, tape e somministrazione di esercizi in soggetti adulti con sindrome da impingement dell'arto superiore, comparati tra loro, od a placebo, trattamento farmacologico, sham, o altri trattamenti conservativi.

Metodi

La ricerca è stata effettuata nelle banche dati MEDLINE (aprile 2019), sono stati inclusi studi RCT che confrontassero terapia manuale, terapia fisica, taping, manipolazioni, esercizi ad altri trattamenti conservativi, placebo, sham o nessun trattamento. Un esaminatore ha effettuato la selezione degli studi, l'estrazione dei dati e valutato il rischio di bias negli studi inclusi. Le misure di outcome erano rappresentate dal miglioramento generale e dalla variazione significativa del dolore alla baseline.

Risultati

Dalla ricerca effettuata nelle banche dati sono emersi 99 articoli. In seguito a lettura del titolo e/o abstract sono stati scartati 66 articoli perché non pertinenti alla ricerca (non RCT, non in lingua italiana o inglese, non conformi al PICO di ricerca). Dei 33 articoli inclusi nella revisione 5 hanno come focus la scapola (controllo mobilizzazione e stabilizzazione scapolare, centraggio dell'omero), 5 la manipolazione toracica, 4 il taping, 9 le terapie fisiche (diatermia onde d'urto elettroterapia, ultrasuoni fotobiomodulazione), 08 la somministrazione di esercizi, 1 costi ed efficacia della fisioterapia conservativa nelle SYS ed 1 sull'uso della realtà virtuale.

Conclusioni

Dai risultati della ricerca non è possibile affermare la maggiore efficacia di un tipo di intervento rispetto ad un altro sia per l'alto rischio di bias degli studi che per la diversità degli stessi sebbene alcuni tipi di interventi sembrino essere promettenti nel trattamento della sindrome d impingement. Ulteriori studi sono necessari per aumentare il livello di evidenza e avvalorare le conclusioni raggiunte da questi studi.

BACKGROUND

Introduzione

Tra le diverse cause che generano dolore alla spalla la più comune è la Sindrome da conflitto subacromiale (SIS), che rappresenta il 44% - 65% di tutte le problematiche di dolore alla spalla (*Chard et al, 1991; Van der Windt, Koes, de Jong e Bouter, 1995; Vecchio, Kavanagh, Hazleman e King, 1995*). Tuttavia, non è facile stabilire l'incidenza accurata e isolata del conflitto di spalla. Ciò è in parte dovuto al fatto che nella letteratura esistente la SIS è generalmente descritta come un gruppo di sintomi piuttosto che una diagnosi specifica, ed è relativamente difficile da definire (*Henrichs and Stone, 2004*).

Questa sindrome è tradizionalmente caratterizzata da un restringimento dello spazio subacromiale che causa l'invasione dei tessuti subacromiali come la cuffia dei rotatori e la borsa subacromiale (*Lewis, Green e Wright, 2005; Neer, 1972*). La cuffia dei rotatori centra la testa dell'omero nella cavità glenoidea. In base al sito di intrappolamento dei tessuti la Sindrome da Impingement è classificata in quattro tipi: (a) Sindrome da Impingement subacromiale (impingement esterno), (b) Impingement subcoracoideo, (c) Impingement interno posterosuperiore, (d) Impingement interno anterosuperiore. Tra queste la più comune riscontrata nella pratica clinica è l'Impingement Subacromiale. Lo spazio subacromiale è delimitato dalla testa dell'omero e dalla cuffia dei rotatori e cranialmente dal tetto osteofibroso della spalla composto da acromion, processo coracoideo e legamento coracoacromiale. Questo spazio contiene la borsa subacromiale ed i muscoli della cuffia dei rotatori.

Nella Sindrome da Impingement l'elevazione del braccio conduce ad un anormale contatto tra il tetto della spalla ed i muscoli della cuffia (*Yamaguchi k, Middleton 2006*). La Sindrome da Impingement Subacromiale ha insieme forme primarie e secondarie. L'impingement primario è dovuto a cambiamenti strutturali che meccanicamente restringono lo spazio subacromiale come restringimento osseo nel lato craniale (outlet impingement), malposizionamento osseo dopo una frattura del grande tubercolo dell'omero o aumento del volume dei tessuti nella parte caudale come borsiti o tendiniti calcifiche (non outlet impingement). L'impingement secondario risulta da uno sbilanciamento muscolare del centraggio della testa dell'omero che va a modificare il centro di rotazione in elevazione con conseguente intrappolamento dei tessuti (*Habermeyer, Schulterchirurgie, 2010*).

Tuttavia, non sembra esserci una relazione coerente tra forma acromiale o acromio-omerale distanza e sintomi (*Balke et al., 2013; Gill et al., 2002; Michener et al., 2015; Moor et al., 2014; Worland et al., 2003; Yi et al., 2015*). I pazienti affetti da questa sindrome hanno generalmente oltre i 40 anni e non hanno avuto un precedente trauma alla spalla.

Le cause potrebbero essere eccessivo stress nell'articolazione della spalla o un banale incidente.

La Sindrome da conflitto subacromiale causa dolore nell'elevazione del braccio tra i 70° ed i 120° (arco doloroso) o quando ci si sdrai sul lato affetto, con conseguente alterazione dei movimenti e limitazione funzionale (*Kelly et All 2010*).

Un tal dolore può condurre alla compromissione della funzione dell'articolazione della spalla e alla severa riduzione della qualità della vita (*Linaker Walker 2015*).

Il segno tipico del SIS è il dolore localizzato nell'area acromiale anterolaterale, che può anche irradiarsi nella porzione mediale dell'omero lateralmente. Contemporaneamente si può notare una perdita generale di forza muscolare (*Wei Hans et All 2015*).

La raccolta della storia clinica e l'esame fisico sono le basi della valutazione diagnostica della Sindrome da Impingement. La sensibilità diagnostica dell'esame fisico rappresenta il 90%, mentre lo studio delle immagini (inizialmente rx) sono indispensabili per differenziare la diagnosi ed escludere cambiamenti artritici o tendiniti calcifiche. L'esame fisico consiste in ispezione, palpazione movimenti passivi ed attivi della spalla rilevando discinesie iperlassità o instabilità dell'articolazione gleno-omerale. La forza è testata rispetto al controlaterale. I test includono rom attivo e passivo, contrazioni isometriche per determinare selettivamente la forza in rotazione interna ed esterna, in abduzione ed in aggiunta i test di impingement.

La sensibilità e la specificità dei test è bassa ma presi nell'insieme sono indispensabili per una diagnosi differenziale (Park HB, Rassi 2005). Gli obiettivi del trattamento della Sindrome da Impingement sono la riduzione del dolore ed il ripristino della funzione della spalla. Buoni ed ottimi risultati possono arrivare sia dal trattamento conservativo che chirurgico in circa l'80% dei casi (Wurnig C: *Impingement.Der Orthopäde 2000*) sebbene ad oggi ancora non ci sia un valido strumento di misurazione o studi prospettici in grad di stabilire i benefici dati dal trattamento conservativo o chirurgico.

Il primo approccio è generalmente di tipo conservativo (durata circa 3-6 mesi) in assenza di danni strutturali maggiori. In letteratura vengono proposti e confrontati fra loro diversi trattamenti riabilitativi al fine di trovare quello/i più efficaci e validi per la SIS.

Di sicuro il lavoro di confronto appare tutt'altro che semplice in quanto vengono presi in considerazione numerose varianti (diverso outcome, campione, intervento, modalità di somministrazione degli stessi etc.) che se non tenuti in considerazione possono portare a precoci ed erronee conclusioni.

Obiettivi

L'elaborato, mediante revisione sistematica della letteratura posteriore alla pubblicazione della RS *"Treatments for Shoulder Impingement Syndrome. A PRISMA Systematic Review and Network Meta-Analysis"*, Dong et al 2015 si propone di individuare quali evidenze vi siano relativamente all'efficacia delle terapie fisiche (laser, ultrasuoni, diatermia, onde d'urto), terapia manuale, tape e somministrazione di esercizi in soggetti adulti con sindrome da impingement dell'arto superiore, comparati tra loro, od a placebo, trattamento farmacologico, sham, o altri trattamenti conservativi.

METODI

Criteri per considerare gli studi per questa revisione

La revisione della letteratura e la sua stesura è stata effettuata seguendo il principio delle linee guida Preferred reporting Items for Systematic Reviews and Meta-Analyses (PRISMA).

Tipologia di studi

Sono stati inclusi studi Rct in inglese e italiano nel periodo da aprile 2014 ad aprile 2019.

Tipologia di partecipanti

Adulti di età superiore a 18 anni con una diagnosi di SIS non causata da altre malattie sistemiche o traumi acuti.

Tipi di interventi

Gli studi inclusi riguardano il trattamento fisioterapico conservativo nelle sindromi da impingement dell'arto superiore, confrontato con altri trattamenti, placebo, sham o nessun trattamento

Misure di Outcome

Studi che abbiano riportato risultati di sollievo dal dolore o recupero funzionale.

I risultati vengono considerati dopo almeno 2 settimane di follow-up.

Metodo di ricerca per identificare gli studi

Ricerche elettroniche

La ricerca della letteratura è stata effettuata a partire dalla revisione “Treatments for Shoulder Impingement Syndrome: A PRISMA Systematic Review and Network Meta-Analysis” di Wei Dong et All utilizzando il database Pubmed (da aprile 2014 ad aprile 2019) utilizzando la seguente stringa di ricerca:

Search Strategy used in www.ncbi.nlm.nih.gov/pubmed (step by step):

- (1) #1 shoulder OR ‘shoulder’/exp
- (2) #2 ‘rotator cuff’ OR ‘rotator cuff’/exp
- (3) #3 subacrom_
- (4) #4 supraspinat_
- (5) #5 #1 OR #2 OR #3 OR #4
- (6) #6 impingement
- (7) #7 #5 AND #6
- (8) #8 ‘shoulder impingement syndrome’/exp
- (9) #9 #7 OR #8
- (10) #10 random_(:ab,ti) OR factorial_(:ab,ti) OR crossover_(:ab,ti) OR placebo_(:ab,ti) OR control_(:ab,ti) OR trial(:ab,ti) OR group_(:ab,ti) OR ‘crossover procedure’/exp OR ‘single blind procedure’/exp OR ‘double blind procedure’/exp OR ‘randomized controlled trial’/exp
- (11) #11 #9 AND #10.
- (12) Publication date from 2014/04/01
- (13) exp Filters: Clinical Trial

Raccolta ed analisi dati

Selezione degli studi

La stringa ha prodotto 99 risultati. Sono stati scartati 49 studi che da titolo e/o abstract non erano inerenti lo scopo della ricerca e successivamente tramite lettura dei full text sono stati selezionati 50 articoli potenzialmente rilevanti. Tra questi 33 RCT sono stati giudicati pertinenti al nostro PICO, inclusi e valutati tramite Physiotherapy Evidence Database Scale (PEDro scale) che è considerato uno strumento valido ed affidabile per valutare la qualità metodologica degli studi clinici (de Morton: validity of the PEDro scale, 2009). Le tabelle di valutazione degli studi inclusi sono riportate nell'Allegato B.

Estrazione e gestione dei dati

Dagli studi sono stati estratti i seguenti dati: tipologia dello studio, obiettivo, partecipanti (caratteristiche e numerosità del campione), criteri di inclusione ed esclusione, intervento, misure di outcome, durata del follow up quando presente, rischio di bias.

I dati degli studi sono stati estratti dalla stessa persona che ha effettuato la selezione degli studi.

Valutazione rischio di bias degli studi inclusi

La valutazione del rischio di bias è stata condotta seguendo le indicazioni contenute nella “Cochrane Handbook for Systematic Reviews of Interventions”. Gli items valutati sono i seguenti:

- Randomizzazione
- Assegnazione nascosta
- Pazienti e terapisti in cieco
- Valutazioni in cieco
- Dati incompleti
- Reporting selettivo ed eventuali altri bias

Per ogni voce il rischio di bias è stato classificato come “alto rischio”, “basso rischio” e “non chiaro” e riportato in tabelle. La valutazione del rischio di bias è stata eseguita dalla stessa persona che ha effettuato la selezione degli studi e l'estrazione dei dati.

Misure di sintesi

E' stata effettuata una sintesi narrativa dei risultati, non è stata effettuata meta-analisi dei dati estratti

RISULTATI

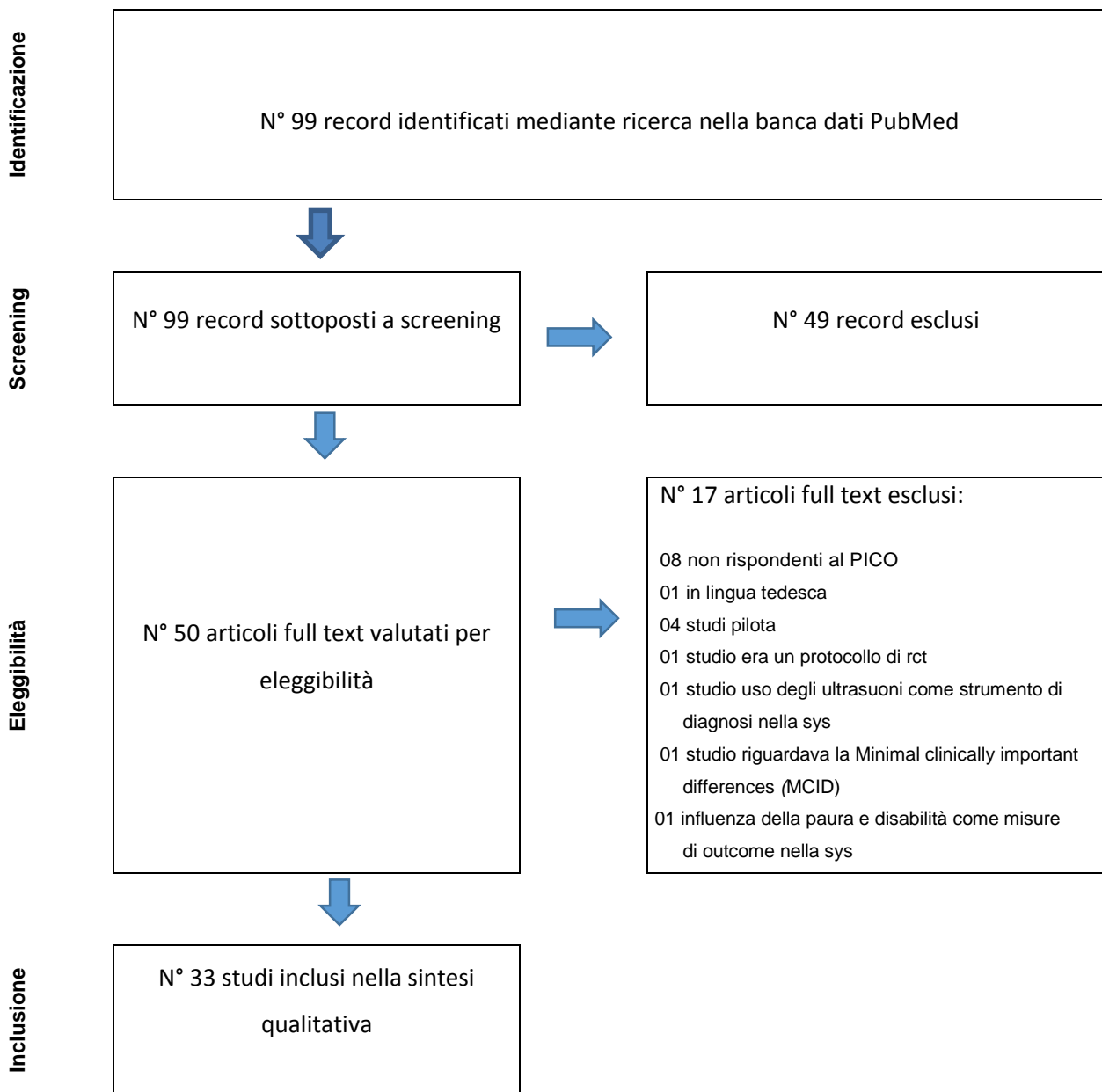
Risultati della ricerca

Dalla ricerca effettuata nelle banche dati sono emersi 99 articoli. In seguito a lettura del titolo e/o abstract sono stati scartati 46 articoli perché non pertinenti alla ricerca.

Dei 50 rimasti, dopo lettura completa degli articoli ne sono stati scartati 17 con la seguente motivazione: 08 non rispondenti al PICO, 01 in lingua tedesca, 04 studi pilota, 01 studio protocollo di rct, 01 studio uso degli ultrasuoni come strumento di diagnosi nella sys, 01 studio riguardava la Minimal clinically important differences (MCID), 01 l'influenza della paura e disabilità come misure di outcome nella sys (tabella Diagramma Prisma degli studi inclusi).

I 33 articoli rimasti ed inclusi nella revisione 5 hanno come focus la scapola (3 il controllo mobilizzazione e stabilizzazione scapolare, 2 il centraggio dell'omero), 5 la manipolazione toracica, 4 il taping, 9 le terapie fisiche (diatermia onde d'urto elettroterapia, ultrasuoni fotobiomodulazione), 8 la somministrazione di esercizi, 1 costi ed efficacia della fisioterapia conservativa nelle SYS ed 1 sull'uso della realtà virtuale nella riabilitazione di pazienti con SIS.

Diagramma Prisma degli studi inclusi



Caratteristiche degli studi inclusi

In Allegato A sono riportate le tabelle degli studi selezionati. In ogni tabella riepilogativa vengono indicati titolo, autore, tipologia dello studio, popolazione presa in esame, criteri di inclusione ed esclusione del campione, intervento, comparazione, misure di outcome e follow up, risultati dello studio, dati statistici.

Studi inclusi

Tre studi sono stati inclusi nella revisione aventi come oggetto la stabilizzazione ed il controllo scapolare [01] [02] [03] (Huang, Du et Al. 2018, Turgut et Al. 2017, Aytar et Al. 2015). Due studi [04] [05] (Beauderuil et Al. 2014, Beauderuil et Al. 2013) hanno come focus gli effetti della centratura della testa omerale.

Cinque studi valutano gli effetti della manipolazione toracica nella SYS [06] [07] [08] [09] [10] (Haik et Al 2017, Kardouni et Al. 2015, Kardouni et Al. 2015, Michener et Al. 2014, Haik et Al. 2014).

Sono stati inclusi quattro studi sugli effetti del taping[11] [12] [13] [14] (Shih et Al 2018, Apeldoorn et Al. 2017, Kocyigit et Al 2016, Devereaux et Al. 2016).

Uno studio compara uso di taping, laser ad alta intensità e terapia manuale in pazienti con SIS [15] (Pekyavas, Baltaci 2016).

Gli studi che valutano l'uso di terapie fisiche inclusi in questa revisione sono otto: tre sull'uso di differenti elettroterapie[16] [17] [18] (Gunay et Al. 2018, Kvalaaag et Al. 2017, Santamato et Al. 2016), uno le correnti interferenziali [19] (Nazligul et Al. 2018), uno la diatermia [20] (Yilmaz et Al. 2017), uno la fotobiomodulazione [21] (A-kmen 2017), uno l'efficacia degli ultrasuoni [22] (Yazmalar et Al.2016), uno l'uso di ultrasuoni paragnato a fonoforesi e iontoporesi (Perez Merino M. del Carmen Casajuana, 2015) [23].

Nove studi sono stati inclusi sull'uso degli esercizi e terapia manuale nella SIS [24] [25] [26] [27] [28] [29] [30] [31] (Heron et Al. 2016, Salvini Siqueira et Al. 2016, Dilek et Al. 2016, Delgado et Al 2015, Satpute et Al. 2015, Granviken Vasseljen 2015, Camargo et Al. 2015, Hallgren et Al. 2014).

Uno studio valuta il costo e l'efficacia della terapia manuale abbinata agli esercizi rispetto ai soli esercizi ad un anno di distanza (Kromer, de Bie et Al. 2014) [32].

Uno studio incluso sull'uso della realtà virtuale nel trattamento della SIS [33] (Nihan Ozunlu, Pekyavas 2016).

Studi esclusi

Dalla ricerca sono stati esclusi 66 studi con la seguente motivazione:

- 15 studi riguardano la chirurgia
- 07 studi esiti e/o trattamenti post chirurgia
- 19 trattamenti farmacologici tramite iniezioni
- 05 agopuntura
- 01 trattamento dopo dislocazione omero
- 01 in lingua tedesca
- 04 studi pilota
- 02 studi inerenti lesione midollare e pazienti sulla sedia a rotelle
- 01 studio era un protocollo di rct
- 01 studio uso degli ultrasuoni come strumento di diagnosi nella sys
- 01 studio riguardava la Minimal clinically important differences (MCID)
- 01 influenza della paura e disabilità come misure di outcome nella sys
- 08 studi sono stati esclusi perché non rispondenti al nostro PICO

Rischio di bias negli studi inclusi

La valutazione del rischio di bias è stata condotta seguendo le indicazioni contenute nella “Cochrane Handbook for Systematic Reviews of Interventions”. Gli items valutati sono i seguenti:

- Randomizzazione
- Assegnazione nascosta
- Pazienti e terapisti in cieco
- Valutazioni in cieco
- Dati incompleti
- Reporting selettivo ed eventuali altri bias

Per ogni voce il rischio di bias è stato classificato come “alto rischio”, “basso rischio” e “non chiaro” e riportato in tabelle. La valutazione del rischio di bias è stata eseguita dalla stessa persona che ha effettuato la selezione degli studi e l'estrazione dei dati.

Randomizzazione e assegnazione nascosta:

Il rischio di bias relativo al metodo di randomizzazione è risultato non chiaro in dodici studi (Huang TS et Al 2018, Shih YF, Lee YF, Chen WY. 2018, Gunay Ucurum S, Kaya DO 2018, Kvalvaag E et Al. 2017, Okmen BM, Okmen K. 2017, Kocyigit F et Al. 2016, Devereaux M et Al 2016, Hallgren HC et Al 2014, Kromer TO de Bie RA, Bastiaenen CH 2014, Beaudreuil J et Al 2014 e 2013, Ingwersen KG et Al 2013) dove non sono descritte le procedure di randomizzazione.

Le strategie per rendere l'assegnazione nascosta non è descritta in ventuno studi (Shih YF, Lee YF, Chen WY. 2018, Kaya DO 2018, Turgut E, Duzgun I, Baltaci G 2017, Kvalvaag E et Al. 2017, Haik MN 2017, Okmen K. 2017, Kocyigit F et Al. 2016, Yazmalar L et Al 2016, Dilek, Gulbahar S, 2016, Pekyavas NO, Baltaci G 2016, Devereaux M et Al 2016, Guimares JF et Al 2016, Nihan Ozunlu Pekyavas 2016, Aytar A et Al 2015, P'erez-Merino 2015, Granviken F, Vasseljen O. 2015, Beaudreuil J et Al 2014, Haik MN et Al 2014, Michener LA et Al 2014, Kromer TO de Bie RA, Bastiaenen CH 2014, Ingwersen KG et Al 2013)

Pazienti, terapisti, valutatori in cieco:

Quasi tutti gli studi inclusi sono stati valutati con alto rischio di bias per quanto riguarda la cecità dei terapisti che hanno preso parte allo studio. Questo è dovuto ai tipo di interventi somministrati. In ambito di terapia manuale. La diversità dei tipi di trattamenti somministrati rende quasi impossibile che i terapisti siano in cieco verso i gruppi di trattamento. Questo è stato possibile solo in quattro studi (Yilmaz Kaysin et Al 2017, Aytar A et Al 2015, Beaudreuil J, Ostertag A, Lasbleiz S 2014, Michener LA, Kardouni 2014) mentre nello studio di Beaudreuil J, Ostertag A, Lasbleiz 2013 la cecità dei terapisti non è chiara.

Dati incompleti: Uno studio (Beaudreuil J et al. 2015) è stato valutato ad alto rischio di bias in quanto non vi è indicazione dei pazienti persi al follow up e non è stata realizzata un'analisi che tenga conto dei partecipanti esclusi.

Reporting selettivo: tutti gli studi inclusi sono stati giudicati a basso rischio di bias

Apeldoorn AT, et al.				
Shih YF, Lee YF, Chen WY.				
Haik MN, et al.				
Kardouni JR, et al.				
Kardouni JR, et al.				
Michener LA, et al.				
Halk MN, et al.				
Beaudreuil J, Lassebleiz S et al.				
Beaudreuil J, Lassebleiz S et al.				
Aytar A et al.				
Turigut E et al.				
Huang TS, Du WY, et al.				

Randomizzazione				
Assegnazione				
Pazienti e terapisti in				
Valutazioni in cieco				
Dati incompleti				
Reporting selettivo				

Randomizzazione				
Assegnazione nascosta				
Pazienti e terapisti in				
Valutazioni in cieco				
Dati incompleti				
Reporting selettivo				

Effetti degli interventi

Stabilizzazione e controllo scapolare = L'effetto del controllo scapolare non è stato confermato nel lungo periodo nei tre studi (Huang, Du et Al. 2018, Turgut et Al. 2017, Aytar et Al. 2015) e lo studio di Huang et Al. aveva come pazienti atleti in grado di comprendere come controllare la scapola per cui gli stessi risultati non sono applicabili a popolazione anziana. Discutibile anche l'effetto della stabilizzazione scapolare dopo le 6-12 settimane di addestramento.

Trattamento di centratura dell'omero (DHC)= I due studi inclusi (Beauderuil Ostertag et Al. 2014, Beauderuil Lasbleiz et Al. 2013) non sono riusciti a mostrare alcuna risposta clinica che possa avvalorare l'uso di questo tipo di approccio in pazienti con SIS in quanto nello studio del 2014 la dimensione campionaria era piccola, non tutti i soggetti hanno ricevuto il trattamento cui erano stati assegnati e gli obiettivi non sono stati raggiunti in più dell'85% dei soggetti assegnati. Nello studio del 2013 i gruppi analizzati avevano una differenza alla baseline per quanto riguarda la durata in mesi del dolore (DHC 35,7 rispetto al gruppo di controllo 20,9) ed inoltre lo studio è stato condotto in un unico centro e potrebbe non essere rappresentativo.

Trattamento manipolativo toracico = Gli studi inclusi (Haik et Al 2017, Kardouni et Al. 2015, Kardouni et Al. 2014, Michener et Al. 2014, Haik et Al. 2014) mostrano risultati a breve termine sull'uso della manipolazione toracica nella riduzione del dolore. Questi risultati sono generalizzabili a pazienti asintomatici ed a qualcuno con SIS ma non ad individui con altre patologie di spalla. Anche la finta manipolazione usata nei gruppi di controllo otteneva risultati simili. Inoltre c'è la possibilità che nello studio di Kardouni et Al. 2015 ci sia un effetto pavimento in quanto la soglia di dolore minimo richiesto era di 2/10 punti su scala VAS e quindi anche la risoluzione completa non raggiunge la differenza clinica significativa.

I risultati negli studi di Kardouni et Al. 2014, Michener et Al. 2014 non sono stati ottenuti in più dell'85% dei soggetti assegnati ai gruppi.

Per finire nello studio di Haik et Al 2017 non è stata valutata un eventuale rigidità del rachide, non è stato possibile escludere la presenza di rotture della cuffia nella popolazione esaminata ed il fatto di avere un gruppo senza un contatto manuale potrebbe aver isolato l'eventuale effetto placebo.

Uso del taping = Gli studi inclusi (Shih et Al 2018, Apeldoorn et Al. 2017, Kocyigit et Al 2016, Devereaux et Al. 2016,) presentano dimensioni campionarie insufficienti per avvalorare l'efficacia dell'uso del taping. Nello specifico lo studio di Shih et Al 2018 vedeva come soggetti giovani atleti per cui non è possibile generalizzare i risultati all'intera popolazione e risulta ad elevato rischio d bias per quanto riguarda la cecità di terapisti e valutatori.

Lo studio di Apeldoorn et Al. 2017 utilizzava interviste somministrate a 12 settimane dai trattamenti fatte da intervistatori non ciechi rispetto al trial e non è stato usato nello stesso un protocollo per i trattamenti con la conclusione che non si raccomanda l'uso di taping rigido per migliorare gli esiti della fisioterapia in persone con SIS.

Lo studio di Kocyigit et Al 2016 ottiene risultati simili tra taping e finto taping per quanto riguarda dolore e punteggi della Scala Costant ma va considerato che la somministrazione di esercizi di Codman domiciliari dati ad entrambi i gruppi possono alterare il reale effetto del kinesiotaping o taping.

Lo studio di Devereaux et Al. 2016 vede un alto tasso di abbandono (19%) dei partecipanti, non tutti i terapisti sono ciechi rispetto al trattamento somministrato ed i risultati osservati di miglioramento nel dolore e funzione della spalla possono essere applicati solo al taping pretagliato e sono simili all'uso di FANS.

Terapie fisiche = sette studi inclusi: Lo studio di Gunay et Al. 2018 confronta l'applicazione di ultrasuoni corrente interferenziale e TENS oltre alla terapia manuale riscontrando risultati simili in termine di dolore, funzione e qualità della vita anche se vi erano differenze tra i soggetti nella VAS a riposo, diverso lato affetto (arto dominante e non) che potrebbe modificare l'outcome delle attività quotidiane e non tutti i terapisti erano ciechi al trattamento somministrato.

I risultati dello studio di Kvalaag et Al. 2017 sul trattamento radiale extracorporeo delle onde d'urto sono simili a quelli sham in aggiunta ad esercizi supervisionati nei pazienti con SIS.

Lo stesso studio era sottodimensionato per individuare differenze nel sottogruppo dei pazienti con calcificazioni.

Lo studio di Santamato et Al. 2016 vede la somministrazione di terapia extracorporea ad onde abbinata ad esercizi isocinetici utili alla riduzione del dolore ed al recupero funzionale nel breve e medio periodo in soggetti con SIS.

Lo studio manca di un follow up lungo e la dimensione campionaria è piccola.

Nazligul et Al. 2018 dimostra che la terapia con correnti interferenziali non fornisce ulteriori benefici a FANS, crioterapia e programma di esercizi nel trattamento della SIS.

Yilmaz et Al. 2017 valuta l'effetto della diatermia ad onde corte ritenendola efficace nella SIS in pazienti senza dolore notturno sebbene i risultati non siano stati raggiunti da almeno l'85% dei soggetti assegnati ai gruppi e la dimensione campionaria era piccola.

Un rct sul confronto tra fotobiomodulazione e radiofrequenza a impulsi nervosi di Okmen 2017 concludeva che entrambe possono essere opzioni di trattamento per il dolore cronico sebbene nessuno dei due trattamenti è superiore all'altro e non si conoscono gli effetti a media e lunga distanza essendo il follow up a breve durata.

Un ultimo studio di Yazmalar et Al. 2016 valuta l'efficacia della terapia ad ultrasuoni su dolore, disabilità, ansia depressione e qualità della vita in pazienti con SIS.

Lo studio ha dimostrato che gli ultrasuoni non hanno alcun vantaggio nella SIS, il programma di TENS più allenamento non è efficace su ansia depressione e stanchezza ma è efficace su dolore qualità del sonno e disabilità in pazienti con SIS. Limiti di questo studio la dimensione campionaria piccola e la mancanza d un follow up lungo.

Esercizi e terapia manuale

MWM vs sham = Tre studi valutano gli effetti delle mobilizzazioni con movimento (Guimares JF, Salvini TF et al 2016, Delgado-Gil et al. 2015, Satpute KH- Bhandari P- Hall T, 2015) confrontandoli con tecniche fittizie (sham) ottenendo nel primo studio risultati simili tra MWM e tecnica fittizia, negli ultimi due miglioramenti nel gruppo MWM su dolore e disabilità nel breve periodo.

Esercizi supervisionati vs e. domiciliari = Nessuna differenza nei risultati (Granviken F, Vasseljen O.,2015).

Esercizi propiocettivi = Uno studio con 61 partecipanti ha paragonato gli esercizi propiocettivi abbinati alla fisioterapia convenzionale verso la sola fisioterapia convenzionale (Dilek B, Gulbahar S, et al. 2016) arrivando a concludere che non si ha nessun effetto aggiunto nell'uso degli esercizi propiocettivi.

Esercizi catena cinetica aperta vs. chiusa = Uno studio ha valutato l'effetto di tre tipi diversi di esercizi (Heron SR, Woby SR, Thompson DP. 2016) randomizzando 46 partecipanti in tre gruppi (esercizi in catena cinetica aperta, esercizi a catena cinetica chiusa ed esercizi di movimento generici) dimostrando l'efficacia nel breve periodo di tutti nel ridurre il dolore e la disabilità anche se lo stesso studio ha avuto un alto tasso di abbandono.

Stretching vs esercizi di rinforzo = I risultati ottenuti confrontando tra loro esercizi di stretching ed esercizi di rinforzo sono simili (Camargo PR, Alburquerque- et al. 2015).

Esercizi ad alto carico vs esercizi a basso carico = Uno studio con 260 pazienti (Ingwersen KG, Christensen R et al. 2013) ha confrontato l'uso di esercizi ad alto e basso carico arrivando alla conclusione che biosgnerebbe utilizzare esercizi ritagliati sulle specifiche esigenze dei pazienti preferendo esercizi isometrici in caso di alta soglia di dolore ed esercizi lenti ad alto carico concentrici che riprodurrebbero meglio le attività di vita quotidiana.

Esercizi vs uso della realtà virtuale = uno studio compare uso di esercizi rispetto a giochi di realtà virtuale (Nihan Ozunlu Pekyavas, Nevin Ergun 2017) I programmi di gioco di realtà virtuale sono stati trovati più efficaci dei programmi di esercizi domiciliari a breve termine in soggetti con SIS, sebbene lo studio presenti alcuni bias come l'impossibilità di controllo del gruppo domiciliare rispetto a quello di realtà virtuale.

DISCUSSIONE

Sintesi dei risultati e qualità dell'evidenza

Questa revisione voleva indagare quali fossero le prove di efficacia presenti in letteratura riguardo a differenti tipologie di intervento (terapia manuale, terapia fisica, uso del taping e somministrazione di esercizi) per il trattamento conservativo della sindrome da impingement di spalla, confrontati tra loro, a trattamenti sham, placebo, od altri trattamenti.

Tra i principali obiettivi del trattamento della SIS vi è l'eliminazione del dolore e la risoluzione dei problemi meccanici che causano gli impairment funzionali. Le strategie adottate variano a seconda dello stadio della SIS. In uno stadio iniziale (I o II Neer) alcuni trattamenti, come gli esercizi muscolari, potrebbero essere efficaci in quanto vanno ad allenare i muscoli periscapolari (trapezio, romboidi serrato) ed a rinforzare i muscoli della cuffia dei rotatori (stabilizzatori dell'articolazione della spalla). Nella revisione Treatments for Shoulder Impingement Syndrome di Wei Dong, MM, Hans Goost, MD, Xiang-Bo Lin non esiste un consensus riguardo la migliore scelta terapeutica e gli studi inclusi mostrano come non ci siano differenze significative tra i diversi trattamenti.

Ma vediamo nel dettaglio cosa riporta la letteratura:

Lavoro sulla scapola

Si è partiti nel 2014 dalla revisione di Hanratty CE, McVeigh JG, Kerr DP, nella quale si consiglia l'inclusione, negli esercizi, di un programma di allenamento di stabilità scapolare e rinforzo della cuffia dei rotatori per proseguire nel 2016 ad altre di moderate evidenze come quella di Elja A E Reijneveld, Suzie Noten, Lori A Michener la quale giunge a concludere che il lavoro sulla scapola migliora la forza muscolare rispetto ad altri trattamenti. Al pari delle precedenti revisioni nel 2018 Hiroki Saito, Meg E. Harrold, Vinicius Cavalheri & Leanda McKenna mostrano risultati simili includendo studi di interventi sulla scapola che portano come risultati il miglioramento delle funzioni e la riduzione del dolore durante le attività. Nella nostra revisione gli studi inclusi che hanno come focus la scapola, sebbene qualitativamente non sufficienti a dimostrarne la validità, mostrano nel breve periodo risultati positivi in termine di riduzione del dolore e miglioramento delle funzioni (punteggi DASH P=0,75, dolore a riposo P=0,41, dolore durante l'attività P=0,45, dolore notturno P=0,74, flessione di spalla P=0,65, rotazione esterna P=0,63 e rotazione interna P=0,19) rispetto a sham, o stretching o o mobilizzazioni non specifiche.

Inoltre l'uso o meno di video-feedback, si è dimostrato utile nel ridurre il rapporto di attivazione muscolare tra trapezio e serrato anteriore (0,21-0,30, P<0,083) e migliorare la rotazione interna scapolare durante l'elevazione del braccio (1,8°-6,1°, P<0,03) nel breve periodo.

In particolare il centraggio omerale rispetto a mobilizzazioni non specifiche ha risultati migliori su dolore (P=0,001), attività (P=0,02) e mobilità (P=0,02) e sul totale della scala COSTANT (P=0,02).

Manipolazioni Toraciche

La nostra revisione al pari di quella del 2017 di Amy L. Minkalis, Robert D. Vining mostra limitate evidenze per supportare o rifiutare la manipolazione toracica come trattamento singolo. I risultati a breve termine delle manipolazioni toraciche riguardano la riduzione del dolore che non ha differenze significative rispetto al trattamento sham (sensibilità al dolore P= 0,583, Peen e GROC P= 0,574).

Taping

L'effetto del taping è controverso in letteratura. Si passa da moderate evidenze di nessun beneficio con taping nel breve periodo (M N Haik, F Alburquerque-Sendín, 2016) ad affermare la superiorità del taping rispetto a trattamento sham (Ruedi Steuri, Martin Sattelmayer 2016) per finire a risultati conflittuali e debolezze di efficacia sull'uso del taping come adiuvante nel trattamento fisioterapico per ridurre il dolore, migliorare le funzioni e la forza dei muscoli scapolari (Ismail Saracoglu, Yusuf Emuk 2017). Anche la nostra revisione giunge a concludere che vi sono evidenze insufficienti per avvalorare l'uso del taping sebbene questo abbia risultati superiori rispetto al trattamento sham sulla riduzione del dolore e punteggi scala COSTANT.

Terapie fisiche

La nostra revisione conferma quanto già presente in letteratura sull'uso di ultrasuoni i quali hanno effetti simili a tens e correnti inferenziali se abbinati ad esercizi per dolore, funzione e qualità della vita come già riportato da Green S, Mrocki MA, Surace SJ, Deitch J, McBain nel 2016.

Nello specifico la Tens produce una riduzione immediata del dolore, non superiore a radiofrequenze come anche riportato da Desmeules J. Boudreault nel 2015.

Due precedenti revisioni si concentrano sugli effetti dell'uso del laser (Green S, Mrocki MA, Surace SJ, Deitch J, McBain 2016) (Ruedi Steuri, Martin Sattelmayer 2016) arrivando a dimostrare che il laser è superiore a laser sham e produce pochi benefici addizionali se usati per un periodo superiore a tre settimane. Gli studi presenti sono di bassa qualità. Nella nostra revisione il laser è efficace in aggiunta a terapia manuale ed esercizi. Risultati simili per le onde d'urto che si dimostrano superiori allo sham come già riportato nella revisione di Ruedi Steuri, Martin Sattelmayer del 2016.

La revisione del 2016 di MN Haik, F Alburquerque-Sendín mostra alti livelli di evidenze per la mancanza di benefici ottenuti da laser, ultrasuoni e campi pulsati magnetici. Limitate evidenze per diatermia e tens. Tali da non essere raccomandati. Nella nostra revisione nessuna differenza significativa per ultrasuoni ionoforesi ed iontoporesi. Le onde d'urto non sono superiori a sham (punteggi scala SPADI -10,2 a 7,0 P= 0,71) e la diatermia ha risultati significativi solo in pazienti che non hanno dolore notturno (P<0,01).

Esercizi

Il capitolo esercizi è un argomento lungamente trattato in letteratura a partire dalla revisione del 2009 di John E. Kuhn, dimostrando che gli esercizi hanno effetti clinicamente significativi in termine di riduzione del dolore ma non sulla forza e sulla funzione. Nel 2012 Catherine E. Hanratty, MSc, Joseph confermano in parte quanto già emerso dalla precedente e ribaltano il concetto sulla funzione dimostrando forti evidenze che gli esercizi diminuiscono il dolore e migliorano la funzione nel breve periodo. La revisione del 2014 di Hanratty CE, McVeigh JG, Kerr DP sostiene l'utilità degli esercizi nei pazienti con SIS.

A partire dal 2015 le revisioni si sono occupate di dimostrare quali evidenze vi fossero tra differenti tipi di esercizi e Christiana Blume, Sharon Wang-Price ottengono che esercizi concentrici ed eccentrici hanno entrambi risultati positivi in termine di mobilità attiva e forza muscolare. La revisione di Ruedi Steuri, Martin Sattelmayer del 2016 mostra forti evidenze a sostegno degli esercizi specifici risultati superiori a quelli generici e, se combinati con terapia manuale, sono più efficaci dei soli esercizi.

La revisione del 2017 di Cheryl Hawk, Amy L. Minkalis, afferma che gli esercizi, soprattutto se combinati a terapie fisiche, sono benefici al trattamento della SIS. Moderate evidenze supportano diverse modalità passive.

Gli studi inclusi nella nostra revisione confermano quanto già trovato in letteratura sostenendo l'efficacia degli esercizi, meglio se specifici rispetto ad esercizi generici. Nessuna differenza trovata tra esercizi domiciliari e supervisionati. Esercizi a catena aperta, a catena chiusa, propriocettivi e esercizi generici hanno gli stessi effetti nel breve termine. Esercizi di realtà virtuale al computer sono superiori ad esercizi domiciliari.

Limiti nel processo di revisione

La ricerca è stata effettuata utilizzando la stringa di ricerca di una precedente revisione (*Treatments for Shoulder Impingement Syndrome A PRISMA Systematic Review and Network Meta-Analysis Wei Dong, MM, Hans Goost et Al.*) nei database elettronici ricercando rct pubblicati fino ad aprile 2019 e sono stati inclusi solo articoli pubblicati in inglese o italiano, pertanto potrebbero non essere stati considerati degli articoli che rispondevano ai criteri d'inclusione per tipologia d'intervento.

Un ulteriore limite è rappresentato dal fatto che alcuni articoli individuati ed inclusi nella revisione hanno un elevato rischio di bias, soprattutto per quanto riguarda la cecità dei partecipanti e dei valutatori, inoltre la randomizzazione e l'assegnazione dei pazienti non viene riportata in maniera soddisfacente in quasi tutti gli articoli inclusi.

CONCLUSIONI

Implicazioni per la pratica clinica

Dai risultati di questa revisione non è possibile confermare la maggiore efficacia di un tipo di intervento rispetto ad un altro nel trattamento conservativo nella Sindrome da Impingment di spalla. I risultati ottenuti negli studi inclusi mostrano risultati contrastanti e con alcuni bias che non ci permettono di arrivare a prove di efficacia tali da ottenere un trattamento di elezione.

Implicazioni per la ricerca

Sono necessari in futuro studi di qualità più elevata con adeguate e ben documentate strategie di randomizzazione, assegnazione e cecità dei partecipanti. La scelta delle caratteristiche dei soggetti inclusi dovrebbe comprendere caratteristiche più omogenee possibili tra i vari studi al fine di una corretta comparazione degli stessi. Inoltre occorrerebbero studi con un follow up più lungo.

Risultati per tipologia di intervento

Lavoro sulla scapola e centraggio testa omerale

Autori Anno	Informazioni generali: titolo Fonte Tipo di pubblicazione	Popolazione e setting: Dimensione gruppi Età Patologia/diagnosi comorbidità	Outcome: primario secondario misurazioni	Intervento	Comparazione	Risultati
Tsun-Shun Huang, Wan-Yu Du et Al. 2018	<i>Progressive conscious control of scapular orientation with video feedback has improvement in muscle balance ratio in patients with scapular dyskinesis</i> Journal of Shoulder and Elbow Surgery Board of Trustees RCT	38 atleti Gruppo Video feedback (VF) = 19 (15M/4F) Gruppo di controllo (GC) = 19 (12M/7F) 18 - 60 anni Sindrome da conflitto subacromiale (SYS) ed evidente prominenza del bordo mediale della scapola criteri inclusione: (1) test di Neer positivo (2) Hawkins-Kennedy test positivo (3)empty can test positivo (4) test della rotazione esterna resistita positivo (5) presenza di tenderness nella cuffia dei rotatori	1 - rapporto di attivazione del trapezio superiore (UT) ed il serrato anteriore (SA) 2 - rapporto di attivazione del trapezio superiore (UT) ed il trapezio inferiore (LT) 3 – Rotazione interna di scapola Misurazioni: Post intervento	N = 19 Partecipanti al gruppo VF hanno anche controllato la posizione della scapola a riposo e progressivamente durante l'elevazione del braccio da 0 ° a 45 ° e da 0 ° a 90 mediante il controllo visivo dato dall'immagine di una telecamera sulla scapola	N = 19 Partecipanti al gruppo di controllo hanno controllato la posizione scapolare a riposo e progressivamente durante l'elevazione del braccio da 0 ° a 45 ° e da 0 ° a 90	Attività serrato anteriore SA (VF) diminuzione (3%-13%, P < .0083) (GC) diminuzione (3%-8%, P < .0083) Attività trapezio inferiore LT (VF) aumento (3%-17%, P < .0083) (GC) aumento (5%-12%, P < .0083) Rapporto trapezio superiore – serrato anteriore UT/SA (VF) diminuzione (0.21-0.30, P < .0083) (GC) diminuzione (1.3%-1.32, P < .0083) Rapporto trapezio superiore – trapezio inferiore UT/LT (VF) diminuzione (1.03-3.13, P < .0083) (GC) diminuzione (0.67-1.71, P < .0083) Diminuzione di rotazione interna di scapola A riposo (5.8°, P < .0005) Da 30° a 90° in elevazione (2.2°-4.0°, P ≤ 0.003) Da 90° a 30° (2.1°-3.9°, P ≤ 0.002)

ALLEGATO A

Elif Turgut Irem Duzgun 2017	<i>Effects of Scapular Stabilization Exercise Training on Scapular Kinematics, Disability, and Pain in Subacromial Impingement</i> Archives of Physical Medicine and Rehabilitation RCT	N=30 pazienti Gruppo di intervento =15 (8M/7F) Gruppo di controllo = 15 (8M/7F) 24 - 47 Partecipanti diagnosticati con SIS e che hanno anche discinesia scapolare Criteri inclusione: dolore alla spalla unilaterale durata> 6 Almeno 2 dei seguenti: arco doloroso durante la flessione o l'abduzione; (2) un Neer test o Test Hawkins-Kennedy positivo (3) rotazione esterna resistita dolorosa o Jobe test positivo discinesia scapolare di tipo 1 (caratterizzato dalla prominenza del angolo scapolare mediale inferiore) o tipo 2 (caratterizzato da prominenza di l'intero bordo mediale)	1 La cinematica scapolare tridimensionale 2 il dolore alla spalla auto-riferito 3 la disabilità Misurazioni: Al basale, 6 settimane di allenamento 12 settimane di allenamento	15 Pazienti sottoposti a stretching e rafforzamento del cingolo scapolare più esercizi di stabilizzazione della scapola basati su un approccio a catena cinetica)	15 Pazienti sottoposti a solo stretching ed esercizi di rafforzamento del cingolo scapolare	Valutazione Rotazione interna- esterna Between-Subjects Effects
30_elevation						
Baseline	35.69_6.15	40.61_4.23	<.001			
6th week	36.13_6.30	35.86_3.88*				
12th week	35.81_5.28	33.21_4.81				
P	.68	<.001				
60_elevation						
Baseline	40.68_6.35	45.08_5.62	<.001			
6th week	41.09_6.39	39.93_5.08				
12th week	41.51_6.76	37.52_6.70				
P	.31	<.001				
90_elevation						
Baseline	42.78_6.62	47.56_5.64	<.001			
6th week	43.02_5.62	40.33_5.84				
12th week	43.53_5.57	38.69_7.95				
P	.35	<.001				
120_elevation						
Baseline	36.89_8.44	42.73_7	<.001			
6th week	37.02_7.92	34.80_6.22				
12th week	38.62_7.16	33.9_8.63				
P	.17	<.001				
120_lowering						
Baseline	35.81_8.72	41.01_7.14	<.001			
6th week	35.98_8.88	33.56_7.32				
12th week	37.66_7.25	33.13_8.67				
P	.20	<.001				
90_lowering						
Baseline	39.05_7.16	46.54_5.32	<.001			
6th week	39.16_6.96	39.22_6.81				
12th week	39.54_6.29	36.43_7.46				
P	.50	<.001				
60_lowering						
Baseline	38.51_6.18	44.89_5.48	<.001			
6th week	38.35_6.16	37.85_5.65				
12th week	37.86_6.45	36.17_6.32				
P	.51	<.001				

ALLEGATO A

30_lowering			
Baseline	36.14_6.04	41.92_4.46	<.001
6th week	36.97_4.79	35.68_4.98	
12th week	35.29_6.05	32.77_5.31	
P	.25	<.001	

Valutazione rotazione scapola

Between-Subjects Effects		
Control Group	Intervention Group	P

30_elevation			
Baseline	_1.97_4.67	2.19_5.64	.01
6th week	_1.72_5.53	_.90_6.21	
12th week	_1.70_5.05	_2.77_6.58	
P	.88	.02	

60_lowering			
Baseline	_12.11_5.41	_5.35_6.65	.03
6th week	_10.71_6.30	_8.73_6.87	
12th week	_12.50_5.06	_11.18_8.07	
P	.11	.02	

ALLEGATO A

Autore Anno Titolo Journal of Sport Rehabilitation, 2015, 24, 116 -129	Tipologia RCT	Soggetti 66 partecipanti -gruppo mobilizzazione scapolare = 22 (4 M/18 F) -gruppo mobilizzazione scapolare fittizia = 22 (8M/14F) -gruppo esercizio controllato = 22 (3M/19F) (media ± SD età 52,06 ± 3,71 anni)	Intervento Partecipanti diagnosticati con SIS Inclusione 3 dei seguenti positivi: -test di Neer -test di Hawkins -painfularc(60-120 °) - dolore alla palpazione dei tendini della cuffia dei rotatori -dolore in abduzione con contrazione isometrica -dolore alla regione della spalla Quick DASH > 20, dolore per ≥6 mesi dolore durante attività tra 2 e 8 su una scala VAS di 10 cm.	Outcomes 1 La funzione della spalla tramite questionario DASH 2 ROM 2 Soddisfazione paziente (Scala LIKERT) Al basale 4 settimane 8 settimane dopo la visita 9. Durata totale 3 settimane e 9 interventi	Controllo 22 Pazienti sottoposti a mobilizzazione scapolare (SM) Prima degli interventi sono stati applicati a tutti i gruppi stimolazione elettrica transcutanea e impacco caldo	Controllo 22 Pazienti sottoposti a trattamento fittizio di mobilizzazione scapolare Sham (SSM) Prima degli interventi sono stati applicati a tutti i gruppi stimolazione elettrica transcutanea e impacco caldo	Outcome primary e secondari							
							Wk	SM		SSM		P		
								Mean	SD	Mean	SD			
Aydan Aytar, Gul Baltaci et Al. 2015	The Effects of Scapular Mobilization in Patients With Subacromial Impingement Syndrome Journal of Sport Rehabilitation, 2015, 24, 116 -129	66 partecipanti -gruppo mobilizzazione scapolare = 22 (4 M/18 F) -gruppo mobilizzazione scapolare fittizia = 22 (8M/14F) -gruppo esercizio controllato = 22 (3M/19F) (media ± SD età 52,06 ± 3,71 anni)	Partecipanti diagnosticati con SIS Inclusione 3 dei seguenti positivi: -test di Neer -test di Hawkins -painfularc(60-120 °) - dolore alla palpazione dei tendini della cuffia dei rotatori -dolore in abduzione con contrazione isometrica -dolore alla regione della spalla Quick DASH > 20, dolore per ≥6 mesi dolore durante attività tra 2 e 8 su una scala VAS di 10 cm.	Al basale 4 settimane 8 settimane dopo la visita 9. Durata totale 3 settimane e 9 interventi	Prima degli interventi sono stati applicati a tutti i gruppi stimolazione elettrica transcutanea e impacco caldo	Prima degli interventi sono stati applicati a tutti i gruppi stimolazione elettrica transcutanea e impacco caldo	DASH	0	41.4	16.9	41.7	17.0	37.5	15.1
							2	32.1	17.2	31.0	17.9	29.6	15.7	
							3	29.7	18.6	25.6	17.1	27.2	15.2	
							7	19.5	14.0	18.8	13.5	23.4	18.9	
							11	28.7	23.4	24.3	19.0	20.5	17.1	
							Pain at rest						.28	
							0	3.8	3.2	2.7	2.4	4.0	2.9	
							2	3.5	2.6	2.1	2.3	3.0	2.4	
							3	2.2	2.7	1.6	2.3	2.1	2.3	
							7	0.7	1.3	0.9	1.4	1.3	2.2	
							11	0.8	1.0	1.3	2.3	1.5	2.3	
							Pain at night						.47	
							0	6.5	2.4	6.1	2.7	6.1	3.0	
							2	3.8	3.3	4.8	3.0	3.6	3.1	
							3	3.5	2.9	2.8	2.7	2.5	2.4	
							7	2.8	2.9	2.6	3.3	2.5	2.7	
							11	2.3	2.6	2.5	2.8	2.1	3.1	
							Pain with activity						.77	
							0	7.0	2.5	7.3	2.3	7.1	2.3	
							2	5.0	3.1	5.6	2.3	5.1	2.6	
							3	3.8	2.8	4.8	2.3	4.0	2.2	
							7	3.0	2.8	3.8	2.4	3.6	2.2	
							11	2.3	2.5	3.7	3.1	2.9	2.7	
							Shoulder flexion (°)						.41	
							0	160	10	159	15	155	15	
							2	169	11	166	8	166	12	
							3	173	10	171	9	171	8	
							7	173	8	171	8	174	9	
							11	173	7	170	14	175	7	
							Shoulder external rotation (°)						.55	
							0	72	18	71	17	72	15	
							2	78	17	74	18	79	16	
							3	82	17	81	12	84	12	
							7	85	13	79	14	86	7	
							11	89	4	80	14	85	9	
							Shoulder internal rotation (°)						.19	
							0	75	13	68	18	75	15	
							2	77	13	73	18	76	16	
							3	81	14	81	14	84	9	
							7	82	10	77	16	86	8	
							11	78	12	80	12	85	8	

ALLEGATO A

Johan Beaudreuil Agnès Ostertag et Al 2015	<i>Efficacy of dynamic humeral centering according to Neer test results</i> International Journal of Rehabilitation Research 2015, 38:81–83 RCT	69 pazienti 39 con Neer positivo (15M/24 F) sottoposti a DHC(20) (9M/11F) mobilizzazione non specifica (19) (6M/13F)	1 Costant Score 2 Ricorso a farmaci per dolore Durata 6 settimane e 15 sessioni Outcome a 3 mesi	20 Soggetti con Neer positivo sottoposti ad esercizi di centraggio omerale dinamico (DHC) 14 Soggetti con Neer negativo sottoposti ad esercizi di centraggio omerale dinamico (DHC)	19 Soggetti con Neer positivo sottoposti a mobilizzazioni non specifiche 16 Soggetti con Neer negativo sottoposti a mobilizzazioni non specifiche	Risultati in pz con Neer positivo (n=39) Baseline Constant score DHC(n=20) Control (n =19) 1 Pain (0–15) (SD) 7.7 (2.6) 6.7 (2.2) 2 Activity 0–20) (SD) 11.3 (3.3) 9.8 (2.5) 3 Mobility (0–40) (SD) 16.5 (5.7) 15.7 (4.2) 4 Strength (0–25) (SD) 6.5 (5.9) 6.7 (6.2) =Total (0–100) (SD) 42.1 (10.7) 38.9 (10.4) Medication [n (%)] No 15 (75) 9 (52.9) Yes 5 (25) 8 (47.1) 3 months DHC (n=18) Eft size Control (n =18) Eff. Size Inter diff. 1 2.6 (3.1) 1.9 (0.9–2.8) 9.7 (3.2) 1.3 (0.7–2) .9 (0.8–5.0) 2 17.2 (2.8) 1.7 (1–2.4) 13.2 (4.7) 1.4 (0.6–2.3) 4 (1.4–6.6) 3 28.1 (10.1) 1.9 (1–2.8) 22.9 (10.3) 1.6 (0.5–2.7) 5.2 (– 1.7 12.) 4 9.9 (5.2) 0.5 (0.1–0.9) 7.8 (6.0) 0.2 (– 0.03a0.4) 2.1 (– 1.7a5.9) = 67.9 (16.6) 2.3 (1.3–3.3) 53.5 (20.8) 1.4 (0.6–2.2) 14.4 (1.6–27.1) Medication [n (%)] No 18 (100) 12 (66.7) 33.3 (8.8–56.2) Yes 0 (0) 6 (33.3) Risultati in pz con Neer negativo (n=30) Baseline Constant score DHC(n=14) Control (n =16) 1 Pain (0–15) (SD) 7.6 (3.3) 6.1 (3.1) 2 Activity 0–20) (SD) 10.9 (3.8) 10.1 (2.6) 3 Mobility (0–40) (SD) 20 (4.1) 15.4 (6.5) 4 Strength (0–25) (SD) 6.2 (4.4) 6.6 (6.5) =Total (0–100) (SD) 44.6 (10.5) 38.2 (12.0) Medication [n (%)] No 11 (78.6) 9 (56.3) Yes 3 (21.4) 7 (43.8) 3 months DHC (n=14) Eft size Control (n =16) Eff. Size Intergr diff. 1 11.5 (2.3) 1.3 (0.6–2) 10.3 (2.5) 1.2 (0.5–1.8) 1.2 (– 0.8 to 3.2) 2 15.1 (5.1) 1.2 (0.6–1.7) 14.8 (5.1) 1.7 (0.6–2.8) 0.3 (– 3.8 to 4.4) 3 24.5 (8.9) 1.2 (– 0.1 to 2.5) 21.4 (9.2) 0.9 (0.1–1.7) 3.1 (– 4.3 a 10.) 4 6.6 (4.0) 0.2 (– 0.1a0.4) 8.2 (7.9) 0.2 (0.005–0.4) – 1.6 (– 6.8a 3.6) = 57.7 (16.0) 1.4 (0.6–2.2) 54.7 (19.2) 1.2 (0.5–1.9) 3 (–11.5a 17.5) Medication [n (%)] No 11 (91.7) 10 (76.9) 14.7 (16.1–42.8) Yes 1 (8.3) 3 (23.1)
		Pazienti >30 anni				
		Sindrome da conflitto subacromiale				
		Criteri inclusione: durata del dolore alla spalla> 1 mese, presenza di almeno 2 dei seguenti positivi test di Neer, Yocum e Hawkins Scala Costant <80,8				

ALLEGATO A

Johan Beaudreuil Sandra Lasbleiz et Al. 2013	<i>Effect of dynamic humeral centring (DHC) treatment on painful active elevation of the arm in subacromial impingement syndrome.</i> bj sports-2012- 091996 RCT	69 pazienti (23M/47F) 34 sottoposti a DHC (13/21F) 35 mobilizzazione non specificata (9M/26F)	1 range di movimento senza dolore 1 presenza di arco doloroso della spalla, sia in flessione attiva che in abduzione del braccio	34 pazienti sottoposti ad esercizi di centraggio omerale dinamico (DHC)	35 pazienti sottoposti a Mobilizzazioni non specifiche	Risultati al baseline ed a 3 mesi
						Baseline
						DHC (n=33) Control (n=35) p Value
						Rom in assenza di dolore mediana (valori, IC 95%)
						Active flexion (0–10) 6 (5.6, 4.9a6.3) 4 (5.1, 4.6 to 5.6) 0.22
						Active abd. (0–10) 4 (5, 4.4 to 5.6) 4 (4.5, 3.9 to 5.1) 0.14
						Arco doloroso numero (valori, IC 95%)
						Active flexion 11 (33.3, 17.3a 49.3) 16 (45.7, 29.2a 62.2) 0.30
						Active abd. 15 (45.5, 28.5a 62.5) 19 (54.3, 37.8 a 70.8) 0.47
						3 mesi
						DHC (n=33) Control (n=35) p Value
						Rom in assenza di dolore mediana (valori, IC 95%)
						Active flexion (0–10) 8 (7.9, 7.1 to 8.6) 6 (6.4, 5.6 to 7.2) 0.011
						Active abd. 8 (7.5, 6.7 to 8.3) 6 (6.1, 5.2 to 7) 0.04
						Arco doloroso numero (valori, IC 95%)
						Active flexion 2 (6.7, -2.4 to 15.8) 13 (40.6, 23.6 to 57.6) 0.002
						Active abd. 6 (20, 5.7 to 34.3) 12 (37.5, 20.8 to 54.2) 0.13

Manipolazione toracica

Autori Anno	Informazioni generali: titolo Fonte Tipo di pubblicazione	Popolazione e setting: Dimensione gruppi Età Patologia/diagnosi comorbidità	Outcome: primario secondario misurazioni	Intervento	Comparazione	Risultati
Haik MN, et al. 2017	<i>Short-Term Effects of Thoracic Spine Manipulation on Shoulder Impingement Syndrome</i> Archives of Physical Medicine and Rehabilitation 2017;98:1594- 605 RCT	61 Pazienti (28M/23F) Età 18-60 anni Media 31 +-11 Sindrome da impingement di spalla Criteri inclusione dolore alla spalla in regione C5 o C6 età 18 e 60 anni 3 su 5 dei seguenti test positivi per SIS: (1) Neer; (2) Hawkins; (3) Jobe; (4) dolore durante l'elevazione attiva nel piano scapolare o sagittale; (5) dolore o debolezza in rotazione esterna resistita della spalla Tutti gli individui hanno dovuto raggiungere circa 150° di elevazione del braccio	1 cinematica scapolare ed attività muscolare 1 Il dolore tramite NPRS 1 La funzione della spalla tramite DASH WORC Misurazioni: Alla baseline al giorno 2 pre intervento ed al giorno 2 post intervento follow up al 3- 4 giorno dopo il secondo intervento	30 pazienti (16M/14F) con SIS allocati a trattamento manipolativo toracico (STM) 1 La funzione della spalla tramite DASH WORC Misurazioni: Alla baseline al giorno 2 pre intervento ed al giorno 2 post intervento follow up al 3- 4 giorno dopo il secondo intervento	31 pazienti (22M/9F) con SIS allocati a finto trattamento manipolativo toracico (SHAM)	Results concerning pain at baseline, day 2 preint., day 2 postint., and follow-up for patients in both groups Variable Baseline Day 2 Pre Day 2 Post Follow-Up TSM 3.3+-2.4 2.5+-2.4 2.4+-2.5 2.4+-2.1 Sham 2.7+-2.5 2.4+-2.7 2.4+-2.8 2.9+-2.7 Within-group change from baseline (95% CI)/ within-group effect size (95% CI) TSM NA -0.7 (-1.3 to -0.1) / -0.33 (-0.8 to 0.2)* -0.9 (-1.5 to -0.3) / -0.37 (-0.9 to 0.1)* -0.9 (-1.5 to -0.2) / -0.39 (-0.9 to 0.1) Sham NA -0.3 (-0.8 to 0.2) / -0.12 (-0.6 to 0.4) -0.3 (-0.8 to 0.2) / -0.11 (-0.6 to 0.4) 0.2 (-0.4 to 0.8) / -0.08 (-0.4 to 0.6) Functional outcome measure changes at day 2 preintervention and follow-up Analysis/Meas Day 2 Preint Follow-Up DASH TSM -3.9 (-6.3 to -1.6) / -0.3 (0.8 to -0.2) -4.6 (-7.2 to -2.0) / -0.3 (-0.8 to 0.2) Sham -1.0 (0.8 to -2.9) / -0.05 (-0.5 to 0.4) -4.7 (-2.1 to -7.4) / -0.3 (-0.8 to 0.2) Total WORC TSM -4.1 (-8.8 to 0.6) / -0.2 (-0.7 to 0.3) -7.7 (-2.6 to -12.8) / -0.4 (-0.9 to 0.1) Sham -0.9 (-4.4 to 2.5) / 0.0 (-0.5 to 0.5) -2.7 (-6.9 to 1.5) / -0.1 (-0.6 to 0.4)

ALLEGATO A

						Within- and between-group change from baseline for scapular kinematics
						Scapular internal rotation
						Within-group change score
						Change Score at Day 2 Preintervention From Baseline
						Effect Size (Day 2 Preintervention _ Baseline)
						Lowering
						TSM -3.1 (-1.5 to -4.7) Sham -0.4 (1.2 to -1.9)
						-0.40 (-0.9 to 0.1) -0.04 (-0.5 to 0.5)
						Scapular upward rotation
						Within-group change score
						Change Score at Day 2 Preintervention From Baseline
						Effect Size (Day 2 Preintervention _ Baseline)
						Lowering
						TSM -4.0 (-2.5 to -5.5) Sham -1.3 (0.0 to -2.6)
						-0.23 (-0.7 to 0.3) -0.08 (-0.6 to 0.4)
						Change Score at Day 2 Postintervention From Baseline
						Effect Size (Day 2 Postintervention _ Baseline)
						TSM -5.3 (-3.6 to -7.0) Sham -2.5 (-1.1 to -4.0)
						-0.31 (-0.8 to 0.2) -0.16 (-0.7 to 0.3)
						Change Score at Follow- Up From Baseline
						Effect Size (Follow- Up _ Baseline)
						TSM -3.3 (-1.7 to -4.8) Sham 1.0 (2.2 to -0.2)
						-0.19 (-0.7 to 0.3) 0.07 (-0.4 to 0.6)
						Between-group change score
						Lowering
						Change Score at Follow- Up From Baseline
						Effect Size (Follow- Up _ Baseline)
						-4.3 (-2.6 to -6.0)
						-0.24 (-0.7 to 0.3)
						Scapular tilt
						Within-group change score
						Elevation
						Change Score at Follow- Up From Baseline
						Effect Size (Follow- Up _ Baseline)
						TSM 0.2 (1.2 to -0.8) Sham -2.1 (-0.9 to -3.2)
						0.02 (-0.5 to 0.5) -0.25 (-0.7 to 0.2)
						Between-group change score
						Elevation
						Change Score at Follow- Up From Baseline
						Effect Size (Follow- Up _ Baseline)
						2.3 (3.8 to 0.8) 0.37 (-0.1 to 0.9)

ALLEGATO A

Kardouni JR, et al. 2015	<i>Immediate changes in pressure pain sensitivity after thoracic spinal manipulative therapy in patients with subacromial impingement syndrome</i>	45 Soggetti Età 18-60 anni Pazienti con sindrome da impingement subacromiale unilaterale Criteri inclusione: 1) dolore per 6 settimane, 2) tipico dolore quotidiano alla spalla 2/10 su scala di valutazione NPRS 3) 18 e 60 anni. I soggetti con dolore alla spalla dovevano anche avere 3 dei seguenti 5 segni clinici di SIS: 1) positivi Hawkin's Test 2) positive Neer Test 3) dolore durante l'elevazione attiva > 60 nel piano scapolare o sagittale 4) positivo Jobe / Empty Can test per dolore o debolezza 5) dolore o debolezza con resistenza rotazione esterna della spalla con il braccio laterale	1 dolore (scala numerica del dolore numerico e NPRS) 1 la funzione (Pennsylvania Shoulder Score e Penn) 1 valutazione globale del cambiamento (GROC).	24 pazienti (10M/14F) con SIS sottoposti a trattamento manipolativo toracico (STM)	21 pazienti (12M/9F) con SIS sottoposti a finto trattamento manipolativo toracico (SHAM)	Patient-rated outcomes			
						Pre	Post	24 e 48 h	
					NPRS (0e10)				
					Thoracic SMT	3.5±1.4	2.6±1.8	2.4 ±1.6	
					Sham SMT	4.0±1.4	2.5±2.1	2.0 ±1.5	
					Penn (0e100)				
					Thoracic SMT	71.4±11.2	80.6 ±11.1		
					Sham SMT	72.0±12.1	83.0 ±9.8		
					GROC (-7 to 7)				
					Thoracic SMT		1.3 ±2.0		
					Sham SMT		2.0 ±2.2		
					Pressure Pain threshold				
					Location	Thoracic SMT	Sham SMT		
						Pre	Pre		
						Post	Post		
						Change	Change		
					Deltoid	3.68 ±1.25	3.71 ±1.79		
					Affected	3.72 ±1.54	3.65 ±1.47		
						0.04 ±0.61	0.05 ±0.76		
					Unaffected	3.57 ±1.21	3.79 ±1.79		
						3.73 ±1.59	3.82 ±1.66		
						0.16 ±0.79	0.04 ±0.62		
					Lower Trap				
					Affected	4.19 ±1.30	4.58 ±2.28		
						4.32 ±1.32	4.59 ±1.96		
						0.13 ±0.83	0.00 ±0.69		
					Unaffected	4.15 ±1.46	4.72 ±2.32		
						4.21 ±1.36	4.69 ±2.16		
						0.05 ±0.60	0.03 ±0.68		

ALLEGATO A

Kardouni JR, et al. 2015	<i>Thoracic Spine Manipulation in Individuals with Subacromial Impingement Syndrome Does Not Immediately Alter Thoracic Spine Kinematics, Thoracic Excursion, or Scapular Kinematics</i>	52 Partecipanti Età 18 -60 anni Pazienti con sindrome da impingement subacromiale Criteri inclusione: 1) durata del dolore di 6 settimane o più, 2) intensità del dolore di 2/10 o superiore su una scala NPRS 3) di età compresa tra 18 e 60 anni.	1 dolore scala NPRS 2 la funzione (Pennsylvania Shoulder Score e Penn) 3 misurazione escursione toracica 4 cinematica scapolare 5 cinematica toracica 6 valutazione globale del cambiamento (GROC). Misurazioni alla baseline (1,2,3,4,5) Subito dopo il trattamento (2,3,4,5) Dopo 24-48 h (1,2,6)	26 pazienti (11M/15F) con SIS sottoposti a trattamento manipolativo toracico (STM)	26 pazienti (17M/9F) con SIS sottoposti a finto trattamento manipolativo toracico (SHAM)		NPRS (0-10)	Pre-tr	Post-tr	24-48 h				
							SMT	3.5+-1.4	2.6+-1.8	2.4+-1.6				
							Sham	3.6+-1.4	2.4+-2.0	2.2+-1.5				
JOSPT24may 2015	RCT	I partecipanti dovevano anche avere 3 dei seguenti 5 segni clinici: 1) test Hawkins positivo 2) test Neer positivo 3) dolore durante elev. superiore del braccio attivo a 60 ° nel piano scapolare o sagittale, 4) test positivo Jobe / Empty Can per dolore o debolezza, 5) dolore o debolezza in rot.esterna resistita delle spalle con il braccio a lato					Penn (0-100)	71.8+-11.1	80.4+-10.9					
							Sham	70.9+-12.5	80.2+-11.2					
							GROC (-7 to 7)							
							SMT			1.4+-2.0				
							Sham			1.7+-2.2				
Thoracic Excursion Measurements														
Group			Pre-Tr	Post-Tr	Change									
SMT (n=26)			37.2+-11	37.7+-11.8	0.5+-7.2									
Sham (n=26)			30.7+-9.3	31.7+-10.2	1.0+-4.1									
Diff. bt. Groups			6.5+-20.2	6.0+-22.4	0.5+-11.5									
Scapular Internal Rotation														
Humeral Angle			SMT (n=26)											
Rest			Pre-Tr	Post-Tr	Change									
Ascending			35.2+-6.2	36.2+-6.2	1.0+-2.2									
30°□			33.9+-5.9	35.1+-6.0	1.2+-2.2									
60°□			33.3+-6.3	34.4+-6.5	1.1+-1.8									
90° □			34.4+-6.8	35.3+-7.3	0.9+-2.2									
120°□			37.3+-10.7	37.5+-9.8	0.2+-3.8									
Descending														
120°□			36.4+-12.1	36.6+-11.4	0.2+-4.1									
90°□			32.9+-7.2	33.7+-7.4	0.8+-2.4									
60°□			32.3+-6.6	33.2+-6.5	0.9+-1.9									
30°□			33.1+-6.7	34.4+-6.2	1.3+-1.9									
Sham-SMT (n=26)			Pre-Tr	Post-Tr	Change									
Rest			34.6+-7.5	35.6+-7.9	0.9+-3.3									
Ascending														
30°□			34.1+-7.3	35.2+-7.8	1.0+-2.8									
60°□			34.0+-7.8	35.1+-8.2	1.1+-2.6									
90°			34.5+-8.4	35.6+-9.2	1.1+-2.4									
120°□			37.5+-9.6	38.4+-10.6	0.9+-3.7									
Descending														
120°□			37.3+-11.4	37.4+-11.2	0.1+-4.9									
90°□			33.6+-9.2	34.3+-9.5	0.7+-2.7									
60°□			32.5+-8.8	33.5+-9.0	1.0+-2.4									
30°□			32.8+-8.0	33.9+-8.2	1.1+-2.9									

ALLEGATO A

ALLEGATO A

Haik MN, et al 2014	<i>Scapular Kinematics Pre- and Post-Thoracic Thrust Manipulation in Individuals With and Without Shoulder Impingement Symptoms</i>	97 soggetti	1 Il dolore alla spalla e la funzione: scala DASH	25 pazienti con SIS sottoposti a manipolazione toracica (STM) (14M/11F)	25 pazienti con SIS sottoposti a finta manipolazione toracica (SHAM) (18M/7F)	Impingement group Manipulation (n = 25) Sham (n = 25) DASH (0-100) 26.9 +-12.7 23.3 +-16.5 Total WORC (0-2100) 786.4 +-397.2 731.9 +- 504.5 Duration of pain, mo 49.0 +-96.0 42.6+- 66.0 Pain Scores for Elevation and Lowering of the Arm in Both Impingement Groups
		50 con SIS (età media, SD 31,8-10,9) (14M/11F)	1 l'indice Western Ontario Rotator Cuff (WORC).			Pre-int Post-int mean e P NP RS NP RS Diff. STM (n = 25) 3.3+- 2.6 2.4+-2.7 -0.8 (-1.2, -0.5) Sham (n = 25) 2.4+-2.4 2.2+-2.3 -0.2 (-0.6, 0.1) .11 Main effect of time 2.9+- 2.5 2.3+-2.5 -0.6 (-0.9, -0.2) .004
J Orthop Sports Phys Ther 2014;44(7):475-487	RCT	Pazienti con SIS Pazienti asintomatici Criteri inclusione almeno 3 test positivi tra: Neer, Hawkins, Jobe, dolore in rotazione passiva o in rotazione laterale con contrazione isometrica resistita, dolore in elevazione attiva della spalla, dolore alla palpazione dei tendini della cuffia dei rotatori e dolore in regione di C5-C6.	2 scala di valutazione del dolore numerico (NPRS) 2 cinematica scapolare: rotazione int/est upwa/down tilt ant/post Misurazioni Baseline e 3 minuti dopo intervento	24 pazienti asintomatici sottoposti a manipolazione della colonna vertebrale (TSM) (12M/12F)	23 pazienti asintomatici sottoposti a finta manipolazione toracica (SHAM) (8M/15F)	Asyntomatic group STM (n = 24) Sham (n = 23) DASH (0-100) 1.2 +-1.9 1.9 +- 2.7 Total WORC (0-2100) 13.4 +-0.6 18.5+-26.2 Difference Pre- Post intervention in Kinematic Data Measure Group Humeral Phase Mean Difference, deg P Treatment Sc. upward rot <i>Impingement group</i> STM Elevation -1.7(-2.6, -0.8) <.001 Lowering -1.1 (-2.1, -0.2) .019 Sham Elevation -0.1 (-1.0, 0.7) .749 Lowering 0.2 (-0.8, 1.1) .681 <i>Asymptomatic group</i> STM Elevation -2.2 (-2.9, -1.6) <.001 Lowering -1.9 (-2.6, -1.2) <.001 Sham Elevation -1.0 (-1.7, -0.3) .005 Lowering -0.7 (-1.4, 0.7) .078 Scapular tilt <i>Asymptomatic group</i> Manipulation Elevation -0.9 (-1.5, -0.3) .002 Lowering -1.1 (-1.8, -0.4) .002 Sham Elevation 0.6 (0.0, 1.2) .063 Lowering 0.7 (0.0, 1.4) .057

Taping

Autori Anno	Informazioni generali: titolo Fonte Tipo di pubblicazione	Popolazione e setting: Dimensione gruppi Età Patologia/diagnosi comorbidità	Outcome: primario secondario misurazioni	Intervento	Comparazione	Risultati																																								
Shih YF, Lee YF, Chen WY. 2017	<i>Effects of Kinesiology Taping on Scapular Reposition Accuracy, Kinematics, and Muscle Activity in Athletes with Shoulder Impingement Syndrome</i> Journal of Sport Rehabilitation December 28, 2017 RCT	30 atleti di sport overhead 15 sottoposti a taping kinesiologico 15 sottoposti a finto taping Età 20-45 anni Atleti con SIS Criteri inclusione: dolore subacromico con elevazione della spalla o tender sulla grande tuberosità dell'omero, Due o più segni positivi nei seguenti test (1) Neer; (2) Hawkins-Kennedy; (3) empty can test; (4) arco doloroso con elevazione attiva della spalla.	1 senso di posizione dell'articolazione scapolare (JPS), misurato come errore di riposizionamento, nella direzione dell'elevazione e della protrazione della scapolare 2 cinematica scapolare e attività muscolare del trapezio superiore, trapezio inferiore e dentato anteriore in elevazione del braccio Misurazioni: Pre taping Post taping	15 atleti sottoposti a taping kinesiologico (KT) 15 atleti sottoposti a finto taping (PLT)		<p>Comparison of scapular reposition errors during the scapular protraction task.</p> <p>KT Group (15)</p> <table> <thead> <tr> <th>Variables</th> <th>Pre-tp Mean (SD)</th> <th>Post-tp Mean (SD)</th> <th>Mean diff (95% CI)</th> </tr> </thead> <tbody> <tr> <td>Scapular rotation (°) AT/PTb</td> <td>3.24 (2.68)</td> <td>1.92 (1.35)</td> <td>(-2.88,0.25) -1.31</td> </tr> <tr> <td>Scapular UR/DR</td> <td>3.59 (3.71)</td> <td>1.76 (1.16)</td> <td>(-3.82,0.15) -1.83</td> </tr> </tbody> </table> <p>PLT Group (15)</p> <table> <thead> <tr> <th>Variables</th> <th>Pre-tp Mean (SD)</th> <th>Post-tp Mean (SD)</th> <th>Mean diff (95% CI)</th> </tr> </thead> <tbody> <tr> <td>Scapular rotation (°) AT/PTb</td> <td>2.47 (1.42)</td> <td>2.34 (1.77)</td> <td>(-1.08,0.81) -0.13</td> </tr> <tr> <td>Scapular UR/DR</td> <td>1.89 (1.60)</td> <td>2.51 (1.66)</td> <td>(-0.19,1.42) 0.61</td> </tr> </tbody> </table> <p>P Group by taping interaction = AT/PTb 0,04 UR/DR 0,04</p> <p>Scapular displacement (cm)</p> <p>KT Group (15)</p> <table> <thead> <tr> <th>Variables</th> <th>Pre-tp Mean (SD)</th> <th>Post-tp Mean (SD)</th> <th>Mean diff (95% CI)</th> </tr> </thead> <tbody> <tr> <td>Y axisc</td> <td>0.40 (0.39)</td> <td>0.25 (0.21)</td> <td>(-0.50,0.001) -0.25</td> </tr> </tbody> </table> <p>PLT Group (15)</p> <table> <thead> <tr> <th>Variables</th> <th>Pre-tp Mean (SD)</th> <th>Post-tp Mean (SD)</th> <th>Mean diff (95% CI)</th> </tr> </thead> <tbody> <tr> <td>Y axisc</td> <td>0.24 (0.19)</td> <td>0.26 (0.15)</td> <td>(-0.10,0.14) 0.02</td> </tr> </tbody> </table> <p>P Group by taping interaction = 0.046*</p>	Variables	Pre-tp Mean (SD)	Post-tp Mean (SD)	Mean diff (95% CI)	Scapular rotation (°) AT/PTb	3.24 (2.68)	1.92 (1.35)	(-2.88,0.25) -1.31	Scapular UR/DR	3.59 (3.71)	1.76 (1.16)	(-3.82,0.15) -1.83	Variables	Pre-tp Mean (SD)	Post-tp Mean (SD)	Mean diff (95% CI)	Scapular rotation (°) AT/PTb	2.47 (1.42)	2.34 (1.77)	(-1.08,0.81) -0.13	Scapular UR/DR	1.89 (1.60)	2.51 (1.66)	(-0.19,1.42) 0.61	Variables	Pre-tp Mean (SD)	Post-tp Mean (SD)	Mean diff (95% CI)	Y axisc	0.40 (0.39)	0.25 (0.21)	(-0.50,0.001) -0.25	Variables	Pre-tp Mean (SD)	Post-tp Mean (SD)	Mean diff (95% CI)	Y axisc	0.24 (0.19)	0.26 (0.15)	(-0.10,0.14) 0.02
Variables	Pre-tp Mean (SD)	Post-tp Mean (SD)	Mean diff (95% CI)																																											
Scapular rotation (°) AT/PTb	3.24 (2.68)	1.92 (1.35)	(-2.88,0.25) -1.31																																											
Scapular UR/DR	3.59 (3.71)	1.76 (1.16)	(-3.82,0.15) -1.83																																											
Variables	Pre-tp Mean (SD)	Post-tp Mean (SD)	Mean diff (95% CI)																																											
Scapular rotation (°) AT/PTb	2.47 (1.42)	2.34 (1.77)	(-1.08,0.81) -0.13																																											
Scapular UR/DR	1.89 (1.60)	2.51 (1.66)	(-0.19,1.42) 0.61																																											
Variables	Pre-tp Mean (SD)	Post-tp Mean (SD)	Mean diff (95% CI)																																											
Y axisc	0.40 (0.39)	0.25 (0.21)	(-0.50,0.001) -0.25																																											
Variables	Pre-tp Mean (SD)	Post-tp Mean (SD)	Mean diff (95% CI)																																											
Y axisc	0.24 (0.19)	0.26 (0.15)	(-0.10,0.14) 0.02																																											

**Comparison of scapular posterior/anterior tilt
(: posterior tilt) during 0°-120° scaption**

KT Group (15)

Scaption	Pre-tp Mean (SD)	Post-tp Mean (SD)	Mean diff (95% CI)
U30	-10.89 (4.81)	-7.70 (4.01)	3.18(1.57,4.79)*
U60	-9.81 (4.45)	-6.28 (3.63)	3.52(2.09,4.95)*
U90	-9.12 (4.89)	-6.21 (4.40)	2.90(1.74,4.05)*
U120	-5.85 (5.26)	-4.06 (4.76)	1.78(0.68,2.88)*
D120	-5.54 (4.84)	-3.93 (4.69)	1.60(0.72,2.49)*
D90	-8.98 (3.57)	-6.23 (3.58)	2.75(1.82,3.68)*
D60	-10.74 (4.34)	-6.86 (3.65)	3.87(2.83,4.91)*
D30	-12.08 (4.19)	-8.29 (3.55)	3.79(2.82,4.75)*

PLT Group (15)

Scaption	Pre-tp Mean (SD)	Post-tp Mean (SD)	Mean diff (95% CI)
U30	-8.78 (3.49)	-7.71 (3.70)	1.07(0.30,1.84)*
U60	-7.88 (3.84)	-6.89 (3.90)	0.98(-0.42,2.40)
U90	-8.34 (5.61)	-7.81 (4.86)	0.52(-1.57,2.62)
U120	-6.78 (6.85)	-6.41 (5.97)	0.37(-1.64,2.40)
D120	-6.40 (6.54)	-6.09 (5.95)	0.30(-1.66,2.27)
D90	-8.75 (5.54)	-7.79 (4.69)	0.96(-0.66,2.58)
D60	-8.93 (4.59)	-7.32 (4.15)	1.60(0.14,3.07)
D30	-10.24 (4.15)	-8.12 (3.66)	2.12(1.05,3.19)*

**Comparison of scapular upward/downward rotation
(: upward rotation) during 0°-120° scaption**

KT Group (15)

Scaption	Pre-tp Mean (SD)	Post-tp Mean (SD)	Mean diff (95% CI)
U120	35.52 (5.26)	36.34 (4.56)	0.81(0.17,1.45)*
D60	11.46 (6.02)	13.03 (4.78)	1.57(0.49,2.65)*
D30	0.60 (6.89)	2.78 (6.81)	2.17(0.97,3.36)*

PLT Group (15)

Scaption	Pre-tp Mean (SD)	Post-tp Mean (SD)	Mean diff (95% CI)
U120	36.55 (5.93)	36.01 (6.22)	-0.54(-1.69,0.60)
D60	17.11 (5.18)	17.10 (5.36)	-0.01(-1.14,1.12)
D30	5.79 (5.19)	6.77 (5.62)	0.97(0.01,1.93)

ALLEGATO A

Mean (95% confidence interval; 95% CI) or percentage outcomes of the groups						
			Outcome	Exp group (<i>n</i> = 72)		
Apeldoorn AT, et al. 2017	<i>Rigid shoulder taping with physiotherapy in patients with subacromial pain syndrome</i> J Rehabil Med 2017; 49: 347–353 RCT	140 pazienti 72 Sottoposti a fisioterapia e taping 68 Sottoposti a sola fisioterapia Età 18 - 65 anni Criteri di inclusione: almeno 2 test positivi che indicano il SIS 1 arco doloroso, 2 empty can test, 3 Jobe, 4 test di resistenza alla rotazione esterna 5 Hawkins-Kennedy; età tra 18 e 65 anni anni	1 Intensità del dolore NRPS 2 funzione (Simple Shoulder Test). 3 effetto percepito globale 4 reclami specifici del paziente Misurazioni: Baseline (1,2,4) A 4 settimane (1,2,3,4) A 12 settimane (1,4) A 26 settimane (1,2,3,4)	72 Sottoposti a fisioterapia e taping (EXP) (36M/36F)	68 Sottoposti a sola fisioterapia (Control) (27M/39F)	Primary Numerical rating scale (0–10) Baseline 6.2 (5.7 to 6.7) 4 weeks 4.9 (4.3 to 5.4) 12 weeks 2.7 (2.1 to 3.3) 26 weeks 2.9 (2.3 to 3.5) Simple Shoulder Test (0–100) Baseline 45.8 (39.4 to 52.2) 4 weeks 29.9 (23.6 to 36.1) 26 weeks 15.6 (9.2 to 21.9) Secondary Patient-specific complaints (0–10) Baseline 6.4 (5.8 to 6.9) 4 weeks 4.7 (4.1 to 5.4) 26 weeks 2.7 (2.0 to 3.4) Global perceived effect 4 weeks, % 34.9 12 weeks, % 72.5 26 weeks, % 71.8
			Outcome	Controls (<i>n</i> = 68)		
			Primary			
			Numerical rating scale (0–10)			
			Baseline 6.6 (6.1 to 7.1)			
			4 weeks 4.3 (3.7 to 4.9)			
			12 weeks 3.4 (2.8 to 4.0)			
			26 weeks 3.2 (2.5 to 3.8)			
			Simple Shoulder Test (0–100)			
			Baseline 57.0 (50.6 to 63.5)			
			4 weeks 35.9 (29.7 to 42.1)			
			26 weeks 28.9 (22.3 to 35.4)			
			Secondary			
			Patient-specific complaints (0–10)			
			Baseline 6.9 (6.3 to 7.5)			
			4 weeks 4.7 (4.1 to 5.3)			
			26 weeks 3.2 (2.6 to 3.9)			
			Global perceived effect			
			4 weeks, % 34.9			
			12 weeks, % 47.7			
			26 weeks, % 58.7			

ALLEGATO A

						<p>Overall effect* and adjusted between-group difference (regression coefficient)</p> <p>Numerical rating scale (0–10) F_{3,133}= 3.35 ($p = 0.02$)</p> <table><tbody><tr><td>4 weeks</td><td>-0.97 (-1.80 to -0.13)</td></tr><tr><td>12 weeks</td><td>0.26 (-0.61 to 1.13)</td></tr><tr><td>26 weeks</td><td>-0.16 (-1.12 to 0.81)</td></tr></tbody></table> <p>Simple Shoulder Test (0–100) F_{2,125}= 1.81 ($p = 0.17$)</p> <table><tbody><tr><td>4 weeks</td><td>-5.17 (-13.77 to 3.43)</td></tr><tr><td>26 weeks</td><td>2.09 (-7.74 to 11.92)</td></tr></tbody></table> <p>Secondary</p> <p>Patient-specific complaints (0–10) F_{2,204}= 0.76 ($p = 0.47$)</p> <table><tbody><tr><td>4 weeks</td><td>-0.54 (-1.50 to 0.41)</td></tr><tr><td>26 weeks</td><td>0.01 (-0.98 to 1.00)</td></tr></tbody></table> <p>Wald = 9.74, df= 3 ($p = 0.02$) (odds ratio)</p> <p>Global perceived effect</p> <table><tbody><tr><td>4 weeks, %</td><td>0.92 (0.28 to 3.08)</td></tr><tr><td>12 weeks, %</td><td>6.02 (1.74 to 20.68)</td></tr><tr><td>26 weeks, %</td><td>2.64 (0.79 to 8.84)</td></tr></tbody></table>	4 weeks	-0.97 (-1.80 to -0.13)	12 weeks	0.26 (-0.61 to 1.13)	26 weeks	-0.16 (-1.12 to 0.81)	4 weeks	-5.17 (-13.77 to 3.43)	26 weeks	2.09 (-7.74 to 11.92)	4 weeks	-0.54 (-1.50 to 0.41)	26 weeks	0.01 (-0.98 to 1.00)	4 weeks, %	0.92 (0.28 to 3.08)	12 weeks, %	6.02 (1.74 to 20.68)	26 weeks, %	2.64 (0.79 to 8.84)
4 weeks	-0.97 (-1.80 to -0.13)																									
12 weeks	0.26 (-0.61 to 1.13)																									
26 weeks	-0.16 (-1.12 to 0.81)																									
4 weeks	-5.17 (-13.77 to 3.43)																									
26 weeks	2.09 (-7.74 to 11.92)																									
4 weeks	-0.54 (-1.50 to 0.41)																									
26 weeks	0.01 (-0.98 to 1.00)																									
4 weeks, %	0.92 (0.28 to 3.08)																									
12 weeks, %	6.02 (1.74 to 20.68)																									
26 weeks, %	2.64 (0.79 to 8.84)																									

ALLEGATO A

The baseline and post-taping scores for tested variables in the KT and sham-taping KT group (21)									
				Variable	Baseline	Day 12	Week 4	P	
2016	Kocyigit F,et al.	45 pazienti allocati, analizzati 41 (persi al follow up 1 nel gruppo KT e 2 nel gruppo di controllo)	1 dolore su scala VAS.	22 soggetti iniziali sottoposti a KT, 1 perso al follow up	23 soggetti iniziali sottoposti a finto taping, 2 persi al follow up	Flexion 159.1 ± 24.1	166.1 ± 20.	1 170 ± 22.1	0.05
	Physiotherapy Theory and Practice, DOI: 10.1080/09593985.2016.1219434	Gruppo 1 (n = 22) era il gruppo KT	1 ROM 1 punteggio nella scala Costant	Analizzati 21 soggetti (6M/15F) sottoposti a kinesio taping (KT)	Abduction 160 ± 24.5	166.2 ± 20.1	170.9 ± 22.1	0.100	
	RCT	Gruppo 2 (n = 23) era il gruppo sham taping	1 profilo sanitario di Nottingham (NHP).	Analizzati 20 soggetti (7M/13F) sottoposti a finto taping (Control)	VAS activity 48.14 ± 22.	12 40.2 ± 25	.6 25.0 ± 26.9	0.056	
		Età 20-65 anni	Misurazioni: Baseline 12 giorno dopo applicazione 4 settimane		VAS nocturnal p 62.5 ± 26.3	46.0 ± 34	.0 29.3 ± 27.1	0.017	
		Criteri inclusione: Almeno tre test positivi dei seguenti: 1 test di Neer; 2 Il test di Hawkins; 3 test dell'arco doloroso; 4 il test di Jobe			Constant score 54.6 ± 6.3	65.9 ± 6.5	71.5 ± 6.2	0.000	
					NHP pain score 53.3 ± 28.6	29.1 ± 30.2	19.2 ± 23.3	0.008	
					NHP physic act 31.0 ± 22.9	23.17 ± 21.35	25.0 ± 27.6	0.004	
					NHP energy 28.6 ± 24.2	32.6 ± 28.7	34.5 ± 38.5	0.927	
					NHP sleep 32.3 ± 31.3	25.7 ± 29.7	16.4 ± 21.6	0.079	
					NHP social isol 4.7 ± 14	7.6 ± 19.4	3.6 ± 12.1	0.700	
					NHP emotional 8.9 ± 12.5	11.6 ± 2031	10.1 ± 21.1	0.830	
Control (20)									
				Variable	Baseline	Day 12	Week 4	P	
				Flexion 159.0 ± 24.1	166.2 ± 24.1	170.9 ± 22.1	0.310		
				Abduction 160 ± 24.5	166.2 ± 24.1	170.9 ± 22.1	0.400		
				VAS activity 50.0 ± 21.7	36.9 ± 23.0	43.9 ± 32.6	0.271		
				VAS nocturnal p 62.3 ± 18.9	37.9 ± 27.8	42.6 ± 33.0	0.032		
				Constant score 50.5 ± 5.1	59.6 ± 6.1	61.1 ± 5.8	0.024		
				NHP pain score 37.5 ± 23.4	25.0 ± 27.3	29.6 ± 37.2	0.252		
				NHP physical act 24.4 ± 23.4	23.1 ± 24.1	19.3 ± 19.7	0.489		
				NHP energy 26.73 ± 5.2	16.7 ± 27.6	33.3 ± 44.7	0.164		
				NHP sleep 37.3 ± 35.6	31.3 ± 35 ± .2	30.9 ± 33.9	0.558		
				NHP social isol 11.0 ± 25.5	1.0 ± 4.4	7.2 ± 18.4	0.353		
				NHP emotional 15.5 ± 18.5	6.6 ± 11.6	11.6 ± 17.8	0.326		

ALLEGATO A

			100 pazienti 61 uomini, 39 donne)	1 Scala di valutazione del dolore NPRS a riposo ed in elevazione del braccio, 1 Simple Shoulder Test (SST)	33 soggetti nel Gruppo 1 sottoposti a taping pretagliato (PCT) ed esercizio (21M/8F) 6 Persi al follow up	29 soggetti nel Gruppo 2 sottoposti ad uso di FANS ed esercizio (21M/8F) 4 persi al follow up	Outcome Measures: Difference Between Pre-Intervention and Postintervention Scores				
							Imputed Mean	Missing Values 95% CI	Complete Case Mean	95% CI	
NPRS: pain at rest											
							PCT + exercise	-0.84*	-1.66 to -0.01	0,.96*	-1.77 to -0.15
							NSAID + exercise	-0.98*	-1.80 to -0.16	-1.00*	-1.84 to -0.16
							Exercise only	-0.98*	-1.69 to -0.27	-0.86*	-1.64 to -0.08
Difference between intervention groups											
							PCT + exercise vs exercise only	0.14	-0.94 to 1.22	-0.10	-1.23 to 1.02
							NSAID + exercise vs exercise only	0.00	-1.10 to 1.10	-0.14	-1.29 to 1.01
							PCT + exercise vs NSAID + exercise	0.14	-1.01 to 1.29	0.04	-1.13 to 1.20
NPRS: pain with elevation											
							PCT + exercise	-1.46*	-2.46 to -0.45	-1.43*	-2.46 to -0.39
							NSAID + exercise	-2.32*	-3.40 to -1.24	-2.48*	-3.56 to -1.40
							Exercise only	-1.80*	-2.79 to -0.82	-1.69*	-2.69 to -0.69
Difference between intervention groups											
							PCT + exercise vs exercise only	0.35	-1.13 to 1.82	0.26	-1.18 to 1.70
							NSAID + exercise vs exercise only	-0.52	-2.00 to 0.97	-0.79	-2.26 to 0.68
							PCT + exercise vs NSAID + exercise	0.87	-0.56 to 2.29	1.05	-0.44 to 2.55
SST											
							PCT + exercise	1.97*	0.99 to 2.96	1.96*	1.01 to 2.91
							NSAID + exercise	1.71*	0.67 to 2.75	1.76*	0.77 to 2.75
							Exercise only	1.92*	1.04 to 2.80	1.83*	0.91 to 2.74
Difference between intervention groups											
							PCT + exercise vs exercise only	0.06	-1.25 to 1.36	0.14	-1.18 to 1.46
							NSAID + exercise vs exercise only	-0.21	-1.62 to 1.20	-0.07	-1.41 to 1.28
							PCT + exercise vs NSAID + exercise	0.27	-1.10 to 1.63	0.2	-1.17 to 1.57
COSTANT											
							PCT + exercise	9.92*	5.80 to 14.03	9.53*	5.44 to 13.61
							NSAID + exercise	11.90*	7.78 to 16.03	12.71*	8.47 to 16.95
							Exercise only	8.47*	4.54 to 12.41	8.29*	4.35 to 12.23
Difference between intervention groups											
							PCT + exercise vs exercise only	1.45	-4.12 to 7.02	1.24	-4.43 to 6.91
							NSAID + exercise vs exercise only	3.43	-2.36 to 9.23	4.43	-1.36 to 10.21
							PCT + exercise vs NSAID + exercise	-1.99	-7.69 to 3.71	-3.19	-9.07 to 2.70

Terapie Fisiche

Autori Anno	Informazioni generali: titolo Fonte Tipo di pubblicazione	Popolazione e setting: Dimensione gruppi Età Patologia/diagnosi comorbidità	Outcome: primario secondario misurazioni	Intervento	Comparazio ne	Risultati
Gunay Ucurum S, et al. 2018	<i>Comparison of different electrotherapy methods and exercise therapy in shoulder impingement syndrome</i> Acta Orthopaedica et Traumatologica Turcica xxx (2018) 1e7 RCT	83 pazienti allocati (66 femmine, 17 maschi) 79 sottoposti a trattamento (14M/65F) Età media: $48,2 \pm 7,33$ anni) c Soggetti con SIS Criteri inclusione: 1) pazienti di età compresa tra 18 e 55, 2) sintomi di spalla unilaterali continui, 3) restrizione inferiore al 30% nel range di movimento passivo rispetto al lato non affetto 4) non hanno subito alcun tipo di trattamento per l'ultimo anno almeno	1 VAS per il dolore a riposo e durante attività 1 breve modulo 36 (SF-36)	20 soggetti nel Gruppo (CI) Correnti inferenziali (6M/14F) hanno ricevuto impacchi caldi, esercizi corrente interferenz. 1 funzione e disabilità spalla DASH Misurazioni baseline 4 settimana 3 mese	19 soggetti nel Gruppo di Controllo (CONT) (2M/17F) somministrati impacchi caldi ed esercizi 20 soggetti nel Gruppo TENS (5M/15F) somministrato pacchi caldi, esercizi e TENS 20 soggetti nel Gruppo Ultrasuoni (US) (1M/19F) hanno ricevuto impacchi caldi, esercizi e ultrasuoni	VAS CONT CI TENS US Mean \pm SD Mean \pm SD Mean \pm SD Mean \pm SD VAS at rest Pre-treatment 3.05 ± 3.08 3.00 ± 2.79 1.25 ± 2.12 3.45 ± 3.14 Post-treatment 2.21 ± 2.86 1.40 ± 2.64 0.65 ± 1.46 2.20 ± 2.61 3rd month 1.58 ± 2.36 1.05 ± 1.85 0.35 ± 1.08 1.30 ± 2.51 P 0.001* 0.001* 0.46 0.001* (intragr comp) P Pre-treatment 0.001* (intergroup Post-treatment 0.001* comparisons) 3rd month 0.056 VAS during activity Pre-treatment 7.84 ± 1.26 7.85 ± 1.56 7.45 ± 0.99 7.30 ± 1.69 Post-treatment 5.84 ± 1.86 5.50 ± 2.31 5.00 ± 1.68 5.45 ± 2.04 3rd month 4.58 ± 2.57 4.00 ± 2.67 4.60 ± 2.64 4.05 ± 2.37 P 0.001* 0.001* 0.001* 0.001* (intragr comp) P Pre-treatment 0.999 (intergroup Post-treatment 0.999 comparisons) 3rd month 0.999 Quality of life CONT CI TENS US Mean \pm SD Mean \pm SD Mean \pm SD Mean \pm SD SF-36 Physical Component Pre-treatment 30.22 ± 4.64 31.24 ± 8.62 34.17 ± 6.24 31.39 ± 6.77 Post-treatment 36.10 ± 6.75 37.10 ± 9.85 39.58 ± 7.50 35.80 ± 7.73 3rd month 39.61 ± 9.13 41.07 ± 11.92 39.69 ± 10.27 40.06 ± 9.31 P 0.001* 0.001* 0.001* 0.001* (intragr comp) P Pre-treatment 0.741 (intergroup Post-treatment 0.741 comparisons) 3rd month 0.741 SF-36 Mental Component Pre-treatment 42.77 ± 9.49 37.99 ± 9.75 39.71 ± 12.48 37.07 ± 11.96 Post-treatment 43.16 ± 8.53 41.29 ± 9.64 40.92 ± 11.25 38.26 ± 12.56 3rd month 45.60 ± 7.54 44.03 ± 8.10 41.45 ± 11.66 39.49 ± 10.89 P 0.054 0.001* 0.374 0.174 (intragr comp) P Pre-treatment 0.851 (intergroup Post-treatment 0.851 comparisons) 3rd month 0.851

ALLEGATO A

Nazligul Akpinar P, Aktas 2018	<i>The effect of interferential current therapy (IFC) on patients with subacromial impingement syndrome</i> European Journal of Physical and Rehabilitation Medicine 2018 June;54(3):35 1-7 RCT	65 Pazienti allocati Età 25-65 anni Soggetti con SIS Criteri inclusione: Esame del collo e delle estremità superiori, analisi del sangue dettagliate, rx convenzionale della spalla e risonanza magnetica (MRI) del collo e della spalla sono state eseguite per escludere anomalie del rachide cervicale e di altre patologie alle spalle. A seguire di queste analisi, SAC (Subacromial Injection Test) sono state eseguite ai pazienti per la diagnosi differenziale. Il 2% di 5 cc di lidocaina nello spazio subacromiale usando un approccio anteriore durante la procedura SIT Una risposta positiva è stata determinata dall'80% o più di riduzione post-iniezione dell'intensità del dolore e miglioramento della ROM passiva e / o attiva 15 minuti dopo l'iniezione. La diagnosi di SAIS è stata confermata se SIT e test di impingement delle spalle (Neer e Hawkins- Kennedy) erano positivi	1 VAS per il dolore a riposo, durante attività e di notte, 1 attività e funzionalità tramite Scala COSTANT e scala Shoulder Disability Questionnaire SDQ Misurazioni: Baseline, Post trattamento 1 mese dopo	33 pazienti sottoposti a correnti inferenziali (IFC) Persi al follow up 3 Analizzati 30 (11M/19F)	32 pazienti sottoposti a finte correnti inferenziali (SHAM) Persi al follow up 2 Analizzati 30 (15M/15F)	VAS	Sham IFC Mean (SD)	Active IFC Mean (SD)	95% CI	P
							for the difference			
						Resting				
						Baseline	2.53 (2.45)	2.87 (2.43)	(-1.59, 0.93)	0.53
						Post-treatment	1.10 (1.37)	1.07 (1.46)	(-0.7, 0.77)	0.83
						1 month	0.77 (1.25)	0.93 (1.44)	(-0.86, 0.53)	0.63
						p1	0.001	0.001		
						Activity				
						Baseline	7.87 (1.76)	7.73 (1.82)	(-0.79, 1.06)	0.76
						Post-treatment	4.40 (2.16)	4.30 (1.73)	(-0.91, 1.11)	0.91
						1 month	3.47 (2.86)	3.90 (2.22)	(-1.76, 0.89)	0.21
						p1	0.001	0.001		
						Night				
						Baseline	6.13 (3.31)	6.40 (3.05)	(-1.91, 1.38)	0.83
						Post-treatment	3.07 (2.72)	3.00 (2.10)	(-1.19, 1.32)	0.88
						1 month	1.93 (2.49)	2.67 (2.67)	(-2.07, 0.6)	0.23
						p1	0.001	0.001		
						CONSTANT	Sham IFC Mean (SD)	Active IFC Mean (SD)	95% CI	P
						Pain				
						Baseline	0.67 (1.73)	0.67 (1.73)	(-0.89, 0.89)	1.00
						Post-treatment	5.67 (3.65)	6.17 (3.39)	(-2.32, 1.32)	0.60
						1 month	8.17 (4.45)	7.67 (3.88)	(-1.66, 2.66)	0.51
						p1	0.001	0.001		
						Daily life activities				
						Baseline	10.73 (3.58)	10.20 (3.61)	(-1.33, 2.39)	0.67
						Post-treatment	15.13 (3.09)	15.00 (3.43)	(-1.56, 1.82)	0.72
						1 month	16.67 (3.69)	16.00 (3.28)	(-1.14, 2.47)	0.30
						p1	0.001	0.001		
						ROM				
						Baseline	20.27 (8.00)	19.20 (8.28)	(-3.14, 5.27)	0.61
						Post-treatment	27.27 (6.82)	26.73 (7.71)	(-3.23, 4.29)	0.77
						1 month	29.27 (7.47)	28.27 (6.70)	(-2.67, 4.67)	0.58
						p1	0.001	0.001		
						Strength				
						Baseline	5.80 (2.99)	5.50 (3.63)	(-1.42, 2.02)	0.45
						Post-treatment	7.33 (3.83)	7.10 (4.35)	(-1.88, 2.35)	0.65
						1 month	8.23 (5.94)	7.10 (4.63)	(-1.62, 3.89)	0.49
						p1	0.005	0.001		
						Total				
						Baseline	37.07 (10.94)	35.50 (12.83)	(-4.59, 7.73)	0.61
						Post-treatment	55.40 (12.21)	54.70 (14.40)	(-6.2, 7.6)	0.84
						1 month	62.17 (17.32)	58.57 (14.21)	(-4.59, 11.79)	0.38
						p1	0.001	0.001		
						SDQ	Sham IFC Mean (SD)	Active IFC Mean (SD)	95% CI	P
						Baseline	77.37 (17.35)	84.90 (14.45)	(-15.78, 0.72)	0.07
						Post-treatment	57.77 (20.90)	59.07 (26.31)	(-13.59, 10.99)	0.83
						1 month	46.87 (25.09)	55.37 (23.7)	(-21.11, 4.11)	0.18
						p1	0.001	0.001		

ALLEGATO A

VAS scores for rest, activity, and night pain in NP (+) Group										
						Resting VAS				
						SWD (n = 14)	Sham (n = 15)			
						Med ± SD	Med ± SD			
Yilmaz Kaysin M, et al. 2017	<i>Effectiveness of Shortwave Diathermy for Subacromial Impingement Syndrome and Value of Night Pain for Patient Selection</i> Am J Phys Med Rehabil 2017;00:00–00) RCT	60 pazienti Suddivisi in 2 gruppi 30 con dolore notturno 30 senza dolore notturno Entrambi i gruppi suddivisi in 2 sottogruppi da 15, trattati con Diatermia SWD e finta diatermia SHAM Età 35-65 anni Soggetti con SIS Criteri inclusione: SIS diagnosticato secondo la storia e la valutazione clinica con Neer, Hawkins-Kennedy e test di impingement della spalla ad arco doloroso. Un attento esame del collo e degli arti superiori, la radiografia convenzionale della spalla e la risonanza magnetica del collo e della spalla sono state eseguite per escludere anomalie della colonna cervicale e di altre patologie della spalla. Prove di laboratorio di routine dettagliate (emocromo completo, livello glicemico, siero tiroideo stimolante sono stati eseguiti il livello ormonale, la velocità di eritrosedimentazione e il livello di proteina C-reattiva	VAS per il dolore a riposo durante attività e di notte, Scala di Constant-Murley (CS) Shoulder Disability Questionnaire (SDQ) Misurazioni: Baseline, 2 settimane 1 mese 2 mesi	15 soggetti con dolore notturno trattati con diatermia SWD 15 soggetti senza dolore notturno trattati con diatermia SWD Analizzati 14 a gruppo	15 soggetti con dolore notturno trattati con finta diatermia SHAM1 15 soggetti senza dolore notturno trattati con finta diatermia SHAM2	15 soggetti con dolore notturno trattati con finta diatermia SHAM1 15 soggetti senza dolore notturno trattati con finta diatermia SHAM2	SWD (n = 14) Med ± SD 1 mo 3.07 ± 2.59 BT-AT p 0.09 BT, 1 mo p 0.07 BT, 2 mos p 0.011	Sham (n = 15) Med ± SD 4.07 ± 3.39 0.031 0.021 0.020	Mean Difference (95% C I) -1 (-3.31 to 1.31) 0.424	p
						Activity VAS				
						1 mo 5.43 ± 2.21 BT-AT p 0.012 BT, 1 mo p 0.005 BT, 2 mos p 0.007	7.0 ± 2.33 0.012 0.018 0.018	-1.57 (-3.3 to 0.16) 0.074		
						Night Pain VAS				
						1 mo 3.43 ± 2.68 BT-AT p 0.006 0.033 BT, 1 mo p 0.002 0.024 BT, 2 mos p 0.003 0.024	6.07 ± 3.39	-2.64 (-4.98 to 0.3) 0.036		
VAS scores for rest, activity, and night pain in NP(-) Group										
						Resting VAS				
						SWD (n = 14)	Sham (n = 15)			
						Med ± SD	Med ± SD			
						(95% C I)	p			
						2.07 ± 2.23	-1.64 (-3.01 to -0.28) 0.014			
						BT-AT p 0.005 BT, 1 mo p 0.005 BT, 2 mos p 0.002	0.043 0.230 1.000			
						Activity VAS				
						2 mos 2.64 ± 1.86 BT-AT p 0.002 BT, 1 mo p 0.001 BT, 2 mos p 0.001	5.21 ± 2.97 0.011 0.011 0.024	-2.57 (-4.5 to 0.65) 0.015		
						Night Pain VAS				
						2 mos 0.29 ± 1.07 BT-AT p 0.109 BT, 1 mo p 0.109 BT, 2 mos p 0.102	0.93 ± 1.38 1.000 0.339 0.414	-0.64 (-1.61 to 0.32) 0.096		
Comparison of SWD and sham treatments according to the total CS and subsection parameters in NP(+)groups										
NP(+)		Constant Pain								
						SWD (n = 14)	Sham (n = 15)			
						Med ± SD	Med ± SD			
						(95% C I)	p			
						2.64(0.26 to 5.02) 0.043				
						AT (2 wks) 4.64 ± 3.65 1 mo 6.43 ± 3.63 2 mos 6.07 ± 3.5	2.0 ± 2.54 2.33 ± 3.72 1.67 ± 2.44	4.1 (1.29 to 6.9) 0.007		
						BT-AT p 0.015 BT, 1 mo p 0.004 BT, 2 mos p 0.006	0.046 0.059 0.083	4.4 (2.12 to 6.69) 0.001		
Constant ADL										
						BT-AT p 0.047	0.012			

ALLEGATO A

						BT, 1 mo p	0.007	0.024
						BT, 2 mos p	0.003	0.019
Costant ROM								
						BT-AT p	0.056	0.004
						BT, 1 mo p	0.095	0.005
						BT, 2 mos p	0.065	0.018
Costant strength								
						BT-AT p	0.936	0.031
						BT, 1 mo p	0.867	0.046
COSTANT TOTAL								
						BT-AT p	0.011	0.002
						BT, 1 mo p	0.003	0.003
						BT, 2 mos	0.647	0.079
NP(-)								
Constan Pain								
						SWD (n = 14)	Sham (n = 15)	Mean Difference
						Med ± SD	Med ± SD	(95% C I)
								p
						1 mo	9.29 ± 3.85	4.64 ± 3.65
						2 mos	10.0 ± 3.4	4.64 ± 3.65
								4.64 (1.73 to 7.56) 0.006
						BT-AT p	0.003	0.020
						BT, 1 mo p	0.001	0.014
						BT, 2 mos p	0.001	0.014
Costant ADL								
						BT-AT p	0.007	1.000
						BT, 1 mo p	0.003	0.705
						BT, 2 mos p	0.002	0.157
Costant ROM								
						2 mos	39.29 ± 1.68	33.86 ± 9.59
								5.43 (-0.16 to 11.02) 0.032
						BT-AT p	0.005	0.288
						BT, 1 mo p	0.009	0.269
						BT, 2 mos p	0.009	0.497
Costant strength								
						1 mo	18.86 ± 4.99	14.71 ± 2.79
						2 mos	19.93 ± 4.38	14.5 ± 2.85
								4.14 (0.96 to 7.33) 0.013
						BT-AT p	0.030	0.293
						BT, 1 mo p	0.005	0.615
						BT, 2 mos	0.001	0.466
COSTANT TOTAL								
						AT (2 wks)	81.21 ± 9.52	69.93 ± 17.35
								11.29 (0.41–22.16) 0.042
						1 mo	85.0 ± 8.16	69.93 ± 17.61
						2 mos	88.07 ± 6.81	68.43 ± 18.88
								15.07 (4.19–25.95) 0.009
						BT-AT p	0.001	0.174
						BT, 1 mo p	0.001	0.163
						BT, 2 mos	0.001	0.493

ALLEGATO A

Kvalvaag E, Roe C et al. 2017	<i>One year results of a randomized controlled trial on radial Extracorporea l Shock Wave Treatment, with predictors of pain, disability and return to work in patients with subacromial pain syndrome.</i> European Journal of Physical and Rehabilitation Medicine 2018 June;54(3):34 1-50 RCT	143 pazienti arruolati 69 sono stati assegnati per ricevere rESWT ed esercizi 74 sono stati assegnati per ricevere sham rESWT ed esercizi Età 25-70 anni Soggetti con SIS da almeno tre mesi Criteri inclusioni: 1) disfunzioni o dolore all'abduzione, 2) normale intervallo gleno-omerale passivo di movimento, 3) dolore su almeno uno dei due test isometrici (abduzione e / o rotazione esterna) 4) test di Hawkins positivo	1L'indice di dolore e disabilità della spalla (SPADI) 2 stato lavorativo Valutazione: Baseline E dopo un anno.	69 soggetti (32M/37F) sono stati assegnati per ricevere rESWT ed esercizi 74 soggetti (33M/41F) sono stati assegnati per ricevere sham rESWT ed esercizi	Mean (SD) scores and differences in improvement with overall P values after 1 year, from linear regression analysis.				
						Sham	rESWT	Treatment effect	P (95% CI) value
SPADI									
Baseline		51.9 (16.7)	51.8 (17.5)						
1 year		28.3 (24.2)	26.9 (27.3)	-1.6					0.71 (-10.2 to 6.96)
Pain at rest (0 to 10)									
Baseline		4.3 (2.2)	4.4 (2.4)						
1 year		2.3 (2.4)	2.2 (2.5)	-0.1					0.73 (-0.1 to 0.7)
Pain during activity (0 to 10)									
Baseline		6.7 (1.8)	6.4 (2.1)						
1 year		3.6 (2.1)	3.5 (2.8)	-0.1					0.80 (-1.1 to 0.87)
Function carry bag *(0 to 10)									
Baseline		5.5 (2.7)	4.9 (3.1)						
1 year		3.3 (3.1)	3.2 (3.2)	-0.3					0.60 (-0.7 to 1.3)
Function shelf ** (0 to 10)									
Baseline		6.4 (2.9)	6.6 (2.4)						
1 year		3.7 (3.2)	3.4 (3.3)	-0.3					0.59 (-1.4 to 0.8)
Health-related quality of life (EQ-5D) (-0.59 to 1)									
Baseline		0.58 (0.24)	0.53 (0.29)						
1 year		0.73 (0.25)	0.71 (0.26)	-0.0					0.94 (-0.1 to 0.1)

ALLEGATO A

Comparison of VAS between groups and within groups [median (min–max)]							
		VAS	Group H (PBMT) (n = 29)	Group P (PRF) (n = 30)	P		
		Pretreatment (PRT)	63 (19–85)	64 (19–85)	0.970		
		Posttreatment (PST)	20 (8–40)	20 (8–40)	0.952		
		1st month	13 (0–61)	15.5 (0–61)	0.504		
		3rd month	20 (8–40)	21.5 (8–40)	0.538		
		12th month	20 (8–40)	20 (8–40)	0.843		
		Pb	<0.001	<0.001			
Difference PRT between others PRT between others							
Comparison of NHP total score between groups and within groups [median (min–max)]							
		Group H (PBMT) (n = 29)	Group P (PRF) (n = 30)	P			
		Pretreatment (PRT)	308.9 (97.0–502.3)	289.3 (41.4–502.3)	0.814		
		Posttreatment (PST)	202.8 (10.0–502.3)	147.6 (0.0–468.2)	0.103		
		1st month	79.3 (0.0–391.9)	78.4 (0.0–468.2)	0.850		
		3rd month	75.4 (0.0–330.4)	76.5 (0.0–254.2)	0.796		
		6th month	77.6 (0.0–330.4)	80.4 (0.0–330.4)	0.644		
		Pb	<0.001	<0.001			
		Difference	Between PRT-PST and months 1, 3, and 6	Between PRT and others Between PST and months 3 and 6			
Comparison of SPADI between groups and within groups [median (min–max)]							
		Group H (PBMT) (n = 29)	Group P (PRF) (n = 30)	P			
Shoulder Pain Index (SPI)							
		Pretreatment (PRT)	39 (19–48)	37.5 (19–48)	0.796		
		Posttreatment (PST)	11 (0–39)	11.5 (0–39)	0.715		
		1st month	8 (0–41)	10 (0–41)	0.523		
		3rd month	12 (0–39)	13.5 (2–39)	0.213		
		6th month	12 (0–39)	12 (3–39)	0.386		
		Pb	<0.001	<0.001			
		Difference	PRT between others	PRT between others			
Shoulder Disability Index (SDI)							
		Pretreatment (PRT)	47 (26–73)	45.5 (26–73)	0.855		
		Posttreatment (PST)	12 (1–47)	11 (1–47)	0.988		
		1st month	7 (0–53)	11 (0–53)	0.508		
		3rd month	13 (2–47)	14 (2–47)	0.489		
		6th month	12 (1–47)	13.5 (1–47)	0.584		
		Pb	<0.001	<0.001			
		Difference	PRT between others	PRT between others			

ALLEGATO A

						Shoulder Pain and Disability Index (SPADI)			
						Pretreatment (PRT)	88 (47–121)	88 (47–121)	0.843
						Posttreatment (PST)	19 (5–86)	20.5 (5–86)	0.933
						1st month	16 (0–94)	24 (0–94)	0.523
						3rd month	20 (5–86)	26.5 (6–86)	0.347
						6th month	20 (5–86)	26.5 (7–86)	0.395
						Pb	<0.001	<0.001	
						Difference		PRT between others	PRT between others

ALLEGATO A

						Measures	Baseline	Ten days post-tr	Two months post-tr	p value
Santamato A, Panza F. et al. 2016	<i>In the Treatment of Subacromial Impingement Syndrome Is Extra Corporeal Shock WaveTherapy Combined with Isokinetic Exercise for Rotator Cuff More Effective Than Extra Corporeal Shock Wave Therapy Alone?</i> Journal of Orthopaedic & Sports Physical Therapy® RCT	30 partecipanti Divisi in 2 Gruppi 15 sottoposti a solo onde d'urto extra corporea focalizzata (ESWT) 15 sottoposti a solo onde d'urto extra corporea focalizzata più esercizi isocinetici (ESWT+IE)	1Constant-Murley Scale (CMS) 1 VAS 1 Parametri isocinetici Misurazioni: Baseline 10 giorni dopo ultimo trattamento 2 mesi dopo	15 soggetti (6M/9F) sottoposti a solo onde d'urto extra corporea focalizzata (ESWT) 15 soggetti (8M/7F) sottoposti a onde d'urto extra corporea focalizzata più esercizi isocinetici (ESWT+IE)	Outcomes (mean±SD 95% CI) VAS ESWT 8.1±0.6(7.8, 8.5) 5.1±0.9(4.5, 5.6) 3.4±0.8(2.9, 3.8) <.001 ESWT plus IE 8.2±0.8(7.8, 8.6) 4.9±1.3(4.1, 5.6) 1.5±0.5(1.2, 1.7) <.001 p value >.05 <.001 CMS ESWT 49.7±7.9(45.4, 54.1) 65.1±7.7(60.8, 69.3) 75.9±6.7(72.2, 79.6) <.001 ESWT plus IE 45.6±9.8 (40.2, 51.0) 63.6±8.7 (58.8, 68.4) 92.1±6.3 (88.6, 95.6) <.001 p value >.05 <.001 Within-group change score from baseline* VAS ESWT -3.1±0.9 (-3.6, -2.5) -1.7±1 (-2.2, -1.1) ESWT plus IE -3.3±1.2 (-4.0, -2.6) -3.4±1.4 (-4.2, -2.6) CMS ESWT 15.3±5.2 (12.5-18.2) 10.8±5.4 (7.8-13.8) ESWT plus IE 18.0±5.9 (14.7-21.3) 28.5±6.5 (24.9-32.1) Between-group difference in change score* VAS -0.2±1.1 (-0.9, 3.4) -1.7±1.4 (-2.5, -0.9) CMS 2.7±5.2 (-0.2, 5.6) 17.7±5.7 (14.5, 20.8)					

ALLEGATO A

Yazmalar Batmaz Ä et I. 2016	<i>Efficiency of therapeutic ultrasound on pain, disability, anxiety, depression, sleep and quality of life in patients with subacromial impingement syndrome</i>	50 pazienti (28 maschi, 22 femmine) Suddivisi in due gruppi, il 26 nel Gruppo 1 con ultrasuoni continuo, US 24 nel Gruppo 2 finti ultrasuoni SHAM Età 18-65 anni Diagnosi di SIS	1 Il dolore e l'invalidità della spalla sono stati valutati con scala SPADI, 1 l'ansia e la depressione valutate con Hospital Anxiety and Depression Scale..	26 soggetti (16M/10F) Gruppo 1 trattati con ultrasuoni continui, US	24 soggetti (12M/12F) Gruppo 2 trattati con finti ultrasuoni SHAM	Pre- and post intervention scores and the differences in the scores within the groups, and intergroup comparison of two groups (mean ± SD) Characteristics Group 1 (n:26) Group 2 (n:24) P1 SPADI-pain Pre intervention 77.76 ± 16.98 81.33 ± 11.58 0.394 Post intervention 47.61 ± 22.74 51 ± 24.26 0.613 Difference 30.23 ± 21.16 30.33 ± 18.31 0.986 P2 < 0.001 < 0.001 NHP-pain Pre intervention 69.85 ± 27.53 51.47 ± 30.18 0.029 Post intervention 35.03 ± 27.32 22.84 ± 26.21 0.114 Difference 37.50 ± 31.75 29.37 ± 30.59 0.362 P2 < 0.001 < 0.001 SPADI-disability Pre intervention 66.15 ± 17.85 62.33 ± 14.08 0.408 Post intervention 39.19 ± 20.65 38.45 ± 17.90 0.894 Difference 26.88 ± 18.99 23.45 ± 12.08 0.455 P2 < 0.001 < 0.001 NHP-physical activity Pre intervention 36.05 ± 17.03 30.74 ± 21.20 0.332 Post intervention 21.43 ± 18.45 22.10 ± 19.62 0.903 Difference 14.61 ± 16.58 8.63 ± 21.28 0.272 P2 < 0.001 0.059 SPADI-total Pre intervention 71.85 ± 16.86 71.92 ± 12.48 0.987 Post intervention 43.42 ± 21.04 44.25 ± 19.97 0.888 Difference 28.19 ± 18.92 27.66 ± 14.43 0.913 P2 < 0.001 < 0.001 NHP-fatigue Pre intervention 53.21 ± 43.87 58.93 ± 36.94 0.622 Post intervention 43.49 ± 38.92 47.33 ± 36.99 0.722 Difference 9.72 ± 32.78 11.60 ± 36.37 0.849 P2 0.127 0.132 Anxiety-HADS Pre intervention 8 ± 4.79 8.08 ± 3.03 0.942 Post intervention 6.92 ± 3.72 6.37 ± 3.72 0.605 Difference 1.08 ± 3.04 1.70 ± 2.72 0.445 P2 0.083 0.05 NHP-sleep Pre intervention 59.03 ± 27.40 39.16 ± 26.10 0.012 Post intervention 42.16 ± 28.83 24.53 ± 24.45 0.025 Difference 16.87 ± 19.94 14.58 ± 22.84 0.706

ALLEGATO A

						P2 < 0.001 < 0.001 Depression-HADS 0.005 Pre intervention 7.23 ± 4.08 7.54 ± 4.12 0.790 Post intervention 6.26 ± 2.97 6.16 ± 3.44 0.911 Difference 0.96 ± 3.44 1.37 ± 2.48 0.631 P2 0.167 0.012 NHP-social isolation Pre intervention 14.53 ± 25.17 12.96 ± 26.07 0.829 Post intervention 5.65 ± 13.54 8.27 ± 21.41 0.604 Difference 8.87 ± 22.68 4.68 ± 13.22 0.433 P2 0.057 0.096 PSQI-total Pre intervention 7.58 ± 3.14 6.04 ± 2.52 0.064 Post intervention 6.19 ± 3.53 5.20 ± 3.02 0.297 Difference 1.38 ± 2.46 0.75 ± 1.91 0.279 P2 0.008 0.054 NHP-emotional reaction Pre intervention 26.48 ± 34.97 30.71 ± 29.77 0.649 Post intervention 19.48 ± 29.19 23.29 ± 31.08 0.657 Difference 7.07 ± 20.53 11.58 ± 24.45 0.492 P2 0.095 0.011
--	--	--	--	--	--	--

SD: standard deviation; SPADI: Shoulder pain and disability index;
HADS: Hospital anxiety and depression scale; PSQI: Pittsburgh sleep quality index; NHP: Nottingham health profile; P1: inter-group comparison; P2: Pre- and post intervention intra-group comparison.

Pekyava s NO, Baltaci G. 2016	<i>Short-term effects of high-intensity laser therapy, manual therapy, and Kinesio taping in patients with subacromial impingement syndrome.</i> Lasers Med Sci (2016) 31:1133–1141 RCT	70 pazienti randomizzati in 4 gruppi: Il primo gruppo (15) ha ricevuto esercizi domiciliari EX Il secondo gruppo (20) ha ricevuto EX + l'applicazione di taping KT Il terzo gruppo (16) ha ricevuto EX + KT oltre al trattamento manuale MT. Il quarto gruppo (19) ha ricevuto EX + KT + MT e laser ad alta intensità HILT Soggetti con dolore alla spalla (5/10 punti dalla scala analogica visiva) e successivamente diagnosticati con SIS e hanno manifestato i sintomi per almeno 3 mesi prima del ricovero	1 VAS, 2 ROM 3 indice di disabilità della spalla con Scala SPADI Misurazioni Baseline (1,2,3) 15 giorno di trattamento (1,2,3)	19 soggetti hanno ricevuto esercizi domiciliari EX + applicazione di taping KT + terapia manuale MT + applicazione di laser ad alta intensità HILT per 3 giorni a settimana per un totale di 15 giorni di trattamento 16 soggetti EX +KT + terapia manuale MT 3 giorni a settimana per un totale di 15 giorni di trattamento MT per 3 giorni alla settimana HILT per 3 giorni a settimana "	15 soggetti hanno ricevuto esercizi domiciliari EX 20 soggetti EX + taping KT per 3 giorni a settimana x un totale di 15 giorni di trattamento 16 soggetti EX +KT + terapia manuale MT 3 giorni a settimana per un totale di 15 giorni di trattamento	Comparison between before and after treatment result of assessment parameters <table> <thead> <tr> <th></th> <th colspan="2">EX group</th> <th colspan="2"></th> </tr> <tr> <th></th> <th>BT X±SD</th> <th>AT X±SD</th> <th>p</th> <th>%</th> </tr> </thead> <tbody> <tr> <td>Shoulder ext rotation ROM</td> <td>86.00 ± 15.49</td> <td>90.00 ± 0.00</td> <td>0.317</td> <td>+4.65</td> </tr> <tr> <td>Shoulder abduction ROM</td> <td>175.33 ± 18.07</td> <td>180.00 ± 0.00</td> <td>0.317</td> <td>+2.66</td> </tr> <tr> <td>Shoulder flexion ROM</td> <td>176.66 ± 12.90</td> <td>180.00 ± 0.00</td> <td>0.317</td> <td>+1.89</td> </tr> <tr> <td>SPADI total score</td> <td>44.73 ± 17.17</td> <td>38.72 ± 18.63</td> <td>0.020*</td> <td>-13.43</td> </tr> <tr> <td>SPADI pain score</td> <td>67.20 ± 11.48</td> <td>4.00 ± 4.70</td> <td>.001*</td> <td>-94.04</td> </tr> <tr> <td>SPADI disability Score</td> <td>53.80 ± 23.14</td> <td>10.60 ± 6.71</td> <td>0.001*</td> <td>-80.29</td> </tr> </tbody> </table> <table> <thead> <tr> <th></th> <th colspan="2">KT+ EX group</th> <th colspan="2"></th> </tr> <tr> <th></th> <th>BT X±SD</th> <th>AT X±SD</th> <th>p</th> <th>%</th> </tr> </thead> <tbody> <tr> <td>Shoulder ext rotation ROM</td> <td>82.75 ± 20.48</td> <td>87.00 ± 13.41</td> <td>0.102</td> <td>+5.13</td> </tr> <tr> <td>Shoulder abduction ROM</td> <td>175.00 ± 22.36</td> <td>180.00 ± 0.00</td> <td>0.317</td> <td>+2.85</td> </tr> <tr> <td>Shoulder flexion ROM</td> <td>175.75 ± 13.10</td> <td>180.00 ± 0.00</td> <td>0.180</td> <td>+2.41</td> </tr> <tr> <td>SPADI total score</td> <td>72.65 ± 30.13</td> <td>39.95 ± 28.26</td> <td>0.000*</td> <td>-45.02</td> </tr> <tr> <td>SPADI pain score</td> <td>55.80 ± 21.16</td> <td>30.20 ± 27.16</td> <td>0.002*</td> <td>-45.88</td> </tr> <tr> <td>SPADI disability Score</td> <td>39.60 ± 26.27</td> <td>23.30 ± 21.79</td> <td>0.064</td> <td>-41.17</td> </tr> </tbody> </table> <table> <thead> <tr> <th></th> <th colspan="2">MT+KT + EX group</th> <th colspan="2"></th> </tr> <tr> <th></th> <th>BT X±SD</th> <th>AT X±SD</th> <th>p</th> <th>%</th> </tr> </thead> <tbody> <tr> <td>Shoulder ext rotation ROM</td> <td>42.50 ± 21.90</td> <td>71.28 ± 12.89</td> <td>0.001</td> <td>+67.71</td> </tr> <tr> <td>Shoulder abduction ROM</td> <td>121.42 ± 43.34</td> <td>161.21 ± 8.21</td> <td>0.007*</td> <td>+32.77</td> </tr> <tr> <td>Shoulder flexion ROM</td> <td>130.35 ± 44.43</td> <td>169.64 ± 8.19</td> <td>0.001</td> <td>+30.14</td> </tr> <tr> <td>SPADI total score</td> <td>111.00 ± 16.92</td> <td>14.57 ± 12.55</td> <td>0.001*</td> <td>-86,88</td> </tr> </tbody> </table>		EX group					BT X±SD	AT X±SD	p	%	Shoulder ext rotation ROM	86.00 ± 15.49	90.00 ± 0.00	0.317	+4.65	Shoulder abduction ROM	175.33 ± 18.07	180.00 ± 0.00	0.317	+2.66	Shoulder flexion ROM	176.66 ± 12.90	180.00 ± 0.00	0.317	+1.89	SPADI total score	44.73 ± 17.17	38.72 ± 18.63	0.020*	-13.43	SPADI pain score	67.20 ± 11.48	4.00 ± 4.70	.001*	-94.04	SPADI disability Score	53.80 ± 23.14	10.60 ± 6.71	0.001*	-80.29		KT+ EX group					BT X±SD	AT X±SD	p	%	Shoulder ext rotation ROM	82.75 ± 20.48	87.00 ± 13.41	0.102	+5.13	Shoulder abduction ROM	175.00 ± 22.36	180.00 ± 0.00	0.317	+2.85	Shoulder flexion ROM	175.75 ± 13.10	180.00 ± 0.00	0.180	+2.41	SPADI total score	72.65 ± 30.13	39.95 ± 28.26	0.000*	-45.02	SPADI pain score	55.80 ± 21.16	30.20 ± 27.16	0.002*	-45.88	SPADI disability Score	39.60 ± 26.27	23.30 ± 21.79	0.064	-41.17		MT+KT + EX group					BT X±SD	AT X±SD	p	%	Shoulder ext rotation ROM	42.50 ± 21.90	71.28 ± 12.89	0.001	+67.71	Shoulder abduction ROM	121.42 ± 43.34	161.21 ± 8.21	0.007*	+32.77	Shoulder flexion ROM	130.35 ± 44.43	169.64 ± 8.19	0.001	+30.14	SPADI total score	111.00 ± 16.92	14.57 ± 12.55	0.001*	-86,88
	EX group																																																																																																																			
	BT X±SD	AT X±SD	p	%																																																																																																																
Shoulder ext rotation ROM	86.00 ± 15.49	90.00 ± 0.00	0.317	+4.65																																																																																																																
Shoulder abduction ROM	175.33 ± 18.07	180.00 ± 0.00	0.317	+2.66																																																																																																																
Shoulder flexion ROM	176.66 ± 12.90	180.00 ± 0.00	0.317	+1.89																																																																																																																
SPADI total score	44.73 ± 17.17	38.72 ± 18.63	0.020*	-13.43																																																																																																																
SPADI pain score	67.20 ± 11.48	4.00 ± 4.70	.001*	-94.04																																																																																																																
SPADI disability Score	53.80 ± 23.14	10.60 ± 6.71	0.001*	-80.29																																																																																																																
	KT+ EX group																																																																																																																			
	BT X±SD	AT X±SD	p	%																																																																																																																
Shoulder ext rotation ROM	82.75 ± 20.48	87.00 ± 13.41	0.102	+5.13																																																																																																																
Shoulder abduction ROM	175.00 ± 22.36	180.00 ± 0.00	0.317	+2.85																																																																																																																
Shoulder flexion ROM	175.75 ± 13.10	180.00 ± 0.00	0.180	+2.41																																																																																																																
SPADI total score	72.65 ± 30.13	39.95 ± 28.26	0.000*	-45.02																																																																																																																
SPADI pain score	55.80 ± 21.16	30.20 ± 27.16	0.002*	-45.88																																																																																																																
SPADI disability Score	39.60 ± 26.27	23.30 ± 21.79	0.064	-41.17																																																																																																																
	MT+KT + EX group																																																																																																																			
	BT X±SD	AT X±SD	p	%																																																																																																																
Shoulder ext rotation ROM	42.50 ± 21.90	71.28 ± 12.89	0.001	+67.71																																																																																																																
Shoulder abduction ROM	121.42 ± 43.34	161.21 ± 8.21	0.007*	+32.77																																																																																																																
Shoulder flexion ROM	130.35 ± 44.43	169.64 ± 8.19	0.001	+30.14																																																																																																																
SPADI total score	111.00 ± 16.92	14.57 ± 12.55	0.001*	-86,88																																																																																																																

ALLEGATO A

						SPADI pain score	74.43 ± 5.25	5.00 ± 7.59	0.001*	-93.29
						SPADI disability Score	77.14 ± 16.52	9.79 ± 8.50	0.001*	-87.31
						HILT +MT + KT+ EX group				
						BT	AT	p	%	
						X±SD	X±SD			
						Shoulder ext rotation ROM	49.73 ± 22.51	78.57 ± 11.78	0.000*	+57.99
						Shoulder abduction ROM	130.26 ± 31.11	167.78 ± 9.19	0.000*	+28.80
						Shoulder flexion ROM	140.00 ± 29.39	172.73 ± 7.42	0.000*	+23.37
						SPADI total score	114.89 ± 11.94	13.16 ± 9.45	0.000*	-88.55
						SPADI pain score	76.42 ± 4.88	4.21 ± 5.07	0.000*	-94.50
						SPADI disability Score	80.16 ± 13.07	7.37 ± 4.52	0.000*	-90.81
						*p<0.05				
						Differences from EX group for after treatment results of all parameters				
						KT+ EX end EX pa	MT+ KT + EX and EX pa	HILT +MT + KT + EX and EX pa		
						Shoulder ext rotation ROM	0.805	0.000*	0.000*	
						Shoulder abd ROM	1.00	0.000*	0.000*	
						Shoulder flex ROM	1.00	0.000*	0.000*	
						SPADI total score	0.633	0.000*	0.000*	
						SPADI pain score	0.005*	1.00	0.973	
						SPADI disability score	0.046*	0.477	0.537	
						Differences between groups for after treatment results of all parameters				
						MT+ KT + EX and KT + EX pa	HILT+MT+KT+EX and KT+ EX pa	HILT+MT+KT+EX and MT +KT + EX pa	p	
						Shoulder ROM				
						Ext rotation	0.000*	0.000*	0.073	0.000*
						Abduction	0.000*	0.000*	0.031*	0.000*
						Flexion	0.000*	0.000*	0.265	0.000*
						SPADI total Score	0.001*	0.000*	0.655	0.000*
						SPADI pain score	0.005*	0.002*	0.967	0.002*
						SPADI disability score	0.017*	0.005*	0.906	0.017*

ALLEGATO A

P'erez Merino M. del Carmen Casajua na Brians 2015	<p><i>Evaluation of the effectiveness of three physiotherapeutic treatments for subacromial impingement syndrome</i></p> <p>Physiotherapy 13-1-2015</p>	<p>99 partecipanti senza una rottura completa della cuffia dei rotatori sono stati assegnati casualmente a tre gruppi di intervento</p> <p>32 nel gruppo ecografia, 33 nel gruppo fonoforesi con dexketoprofen 34 nel gruppo iontoforesi con dexketoprofen</p> <p>Pazienti con SIS</p>	<p>1 cinematica scapolare durante l'elevazione del braccio, 1 funzione determinata attraverso il questionario DASH</p> <p>1 dolore valutato con scala VAS</p> <p>1 sensibilità meccanica valutata con soglia del dolore alla pressione</p> <p>Misurazioni Pre trattamento Post trattamento 1 mese post trattamento</p>	<p>32 soggetti nel gruppo ecografia (14M/18F) Hanno ricevuto ultrasuoni a 1Mhz in modalità pulsat</p> <p>Tutti i partecipanti hanno completato 20 sessioni di trattamento più terapia fisica e crioterapia 5 sessioni a settimana</p>	<p>33 soggetti nel gruppo fonoforesi (12M/11F) trattati con dexketoprofen</p> <p>34 soggetti nel gruppo iontoforesi (16M/18F) trattati con dexketoprofen</p> <p>(50 mg / sessione)</p> <p>Tutti i partecipanti hanno completato 20 sessioni di trattamento più terapia fisica e crioterapia 5 sessioni a settimana</p>	<p>Comparison of visual analogue scale (VAS), Constant–Murley Scale (CMS) and Disabilities of the Arm, Shoulder and Hand questionnaire (DASH) scores between groups at baseline, post-treatment and 1 month post-treatment</p> <table> <thead> <tr> <th>Variable</th> <th>Visit</th> <th>Ultrasound</th> <th>Phonophoresis</th> <th>Iontophoresis</th> </tr> </thead> <tbody> <tr> <td>VAS points</td> <td>Baseline Post-treatment 1 month post Treatment</td> <td>5.7 (1.8) 3.6 (1.9) 3.8 (2.1)</td> <td>5.7 (1.5) 4.2 (1.8) 3.7 (2.4)</td> <td>6.3 (2.0) 5.0 (1.7) 4.2 (2.0)</td> </tr> <tr> <td>DASH (%)</td> <td>Baseline Post-treatment 1 month post Treatment</td> <td>45 (17) 31 (18) 33 (19)</td> <td>45 (18) 37 (16) 32 (19)</td> <td>52 (18) 41 (24) 39 (23)</td> </tr> <tr> <td>CMS</td> <td>Baseline Post-treatment 1 month Post-treatment</td> <td>75.0 (10.7) 83.3 (12.1) 82.2 (13.4)</td> <td>77.7 (7.8) 82.7 (8.0) 85.3 (7.0)</td> <td>71.3 (13.3) 75.0 (13.2) 78.8 (12.9)</td> </tr> </tbody> </table> <p>Differences in visual analogue scale (VAS), Constant–Murley Scale (CMS) and Disabilities of the Arm, Shoulder and Hand questionnaire (DASH) scores in relation to the baseline values</p> <table> <thead> <tr> <th>Variable</th> <th>Visit</th> <th>Ultrasound Mean diff. P value</th> <th>Phonophoresis Mean diff. P value</th> <th>Iontophoresis Mean diff. P value</th> </tr> </thead> <tbody> <tr> <td>VAS</td> <td>Post-treatment</td> <td>-1,9 (-2,9 to 0,9) <0,001</td> <td>-1,7 (-2,6 to -0,7) 0,002</td> <td>-1,4 (-2,3 to -0,4) 0,008</td> </tr> <tr> <td></td> <td>1 month post Treatment</td> <td>-1,8 (-2,7 to -0,9) <0,001</td> <td>-2 (-3,0 to -1,0) <0,001</td> <td>-2,3 (-3,3 to -1,3) <0,001</td> </tr> <tr> <td>DASH</td> <td>Post-treatment</td> <td>-12 (-16,1 to -7,5) <0,001</td> <td>-5 (-10,6 to 0,2) 0,027</td> <td>-10 (-16,8 to -2,2) 0,004</td> </tr> <tr> <td></td> <td>1 month post Treatment</td> <td>-12 (-18,6 to -5,8) <0,001</td> <td>-8 (-15,1 to -1,6) 0,008</td> <td>-12 (-17,6 to -7,1) <0,001</td> </tr> </tbody> </table>	Variable	Visit	Ultrasound	Phonophoresis	Iontophoresis	VAS points	Baseline Post-treatment 1 month post Treatment	5.7 (1.8) 3.6 (1.9) 3.8 (2.1)	5.7 (1.5) 4.2 (1.8) 3.7 (2.4)	6.3 (2.0) 5.0 (1.7) 4.2 (2.0)	DASH (%)	Baseline Post-treatment 1 month post Treatment	45 (17) 31 (18) 33 (19)	45 (18) 37 (16) 32 (19)	52 (18) 41 (24) 39 (23)	CMS	Baseline Post-treatment 1 month Post-treatment	75.0 (10.7) 83.3 (12.1) 82.2 (13.4)	77.7 (7.8) 82.7 (8.0) 85.3 (7.0)	71.3 (13.3) 75.0 (13.2) 78.8 (12.9)	Variable	Visit	Ultrasound Mean diff. P value	Phonophoresis Mean diff. P value	Iontophoresis Mean diff. P value	VAS	Post-treatment	-1,9 (-2,9 to 0,9) <0,001	-1,7 (-2,6 to -0,7) 0,002	-1,4 (-2,3 to -0,4) 0,008		1 month post Treatment	-1,8 (-2,7 to -0,9) <0,001	-2 (-3,0 to -1,0) <0,001	-2,3 (-3,3 to -1,3) <0,001	DASH	Post-treatment	-12 (-16,1 to -7,5) <0,001	-5 (-10,6 to 0,2) 0,027	-10 (-16,8 to -2,2) 0,004		1 month post Treatment	-12 (-18,6 to -5,8) <0,001	-8 (-15,1 to -1,6) 0,008	-12 (-17,6 to -7,1) <0,001
Variable	Visit	Ultrasound	Phonophoresis	Iontophoresis																																															
VAS points	Baseline Post-treatment 1 month post Treatment	5.7 (1.8) 3.6 (1.9) 3.8 (2.1)	5.7 (1.5) 4.2 (1.8) 3.7 (2.4)	6.3 (2.0) 5.0 (1.7) 4.2 (2.0)																																															
DASH (%)	Baseline Post-treatment 1 month post Treatment	45 (17) 31 (18) 33 (19)	45 (18) 37 (16) 32 (19)	52 (18) 41 (24) 39 (23)																																															
CMS	Baseline Post-treatment 1 month Post-treatment	75.0 (10.7) 83.3 (12.1) 82.2 (13.4)	77.7 (7.8) 82.7 (8.0) 85.3 (7.0)	71.3 (13.3) 75.0 (13.2) 78.8 (12.9)																																															
Variable	Visit	Ultrasound Mean diff. P value	Phonophoresis Mean diff. P value	Iontophoresis Mean diff. P value																																															
VAS	Post-treatment	-1,9 (-2,9 to 0,9) <0,001	-1,7 (-2,6 to -0,7) 0,002	-1,4 (-2,3 to -0,4) 0,008																																															
	1 month post Treatment	-1,8 (-2,7 to -0,9) <0,001	-2 (-3,0 to -1,0) <0,001	-2,3 (-3,3 to -1,3) <0,001																																															
DASH	Post-treatment	-12 (-16,1 to -7,5) <0,001	-5 (-10,6 to 0,2) 0,027	-10 (-16,8 to -2,2) 0,004																																															
	1 month post Treatment	-12 (-18,6 to -5,8) <0,001	-8 (-15,1 to -1,6) 0,008	-12 (-17,6 to -7,1) <0,001																																															

ALLEGATO A

						CMS	Post-treatment	5,5 (1,6 to 9,3) <0,001	6,4 (1,1 to 7,1) 0,020	6,5 (-2,2 to 8,8) 0,101
						1 month post Treatment		5,1 (1,4 to 8,7) 0,007	6,4 (3,1 to 9,6) 0,020	6,5 (0,3 to 12,7) 0,024

Terapie Manuale ed esercizio

Autori Anno	Informazioni generali: titolo Fonte Tipo di pubblicazione	Popolazione e setting: Dimensione gruppi Età Patologia/diagnosi comorbidità	Outcome: primario secondario misurazioni	Intervento	Comparazione	Risultati
Heron Woby , Thompson DP. 2016	Comparison of three types of exercise in the treatment of rotator cuff tendinopathy /shoulder impingement syndrome	120 pazienti con dolore di spalla da almeno tre mesi randomizzati in tre gruppi: 40 Esercizi a catena aperta con bande resistive(OC) 40 Esercizi a catena chiusa (CC) 40esercizi di movimento a basso carico (ROM) Criteri inclusioni: i) dolore alla spalla per almeno tre mesi; ii) nessuna limitazione passiva del range di movimento che suggerisce la capsulite adesiva; iii) dolore al test della cuffia dei rotatori isometrici; iv) dolore a Hawkins-Kennedy o empty can test;	1 Funzione e disabilità tramite scala SPADI 1 Cambiamento clinico minimo dei sintomi percepito dal paziente MCIC Baseline 6 settimane dopo	40 soggetti (25M/15F) sottoposti ad esercizi di movimento a basso carico (ROM)	40 soggetti (24M/16F) sottoposti ad esercizi a catena aperta con bande resistive(OC) 40 soggetti (22M/18F) sottoposti ad esercizi a catena chiusa (CC)	Mean pre-post treatment changes and effect sizes for each treatment group Treatment group Pre-tr SPADI score Post-tr SPADI score Mean change SPADI score Range of Movement (n=40) 51 42 9 Open Chain (n=40) 49 37 12 Closed Chain (n=40) 53 44 9 Wilcoxon signed rank test Range of significance Effect size Movement (n=40) 0.0002 0.49 Open Chain (n=40) 0.0001 0.56 Closed Chain (n=40) 0.0002 0.63 Median pre-treat SPADI (IQR) Median post treat SPADI (IQR) Median ch SPADI (95% CI) ROM 54 (35-66) 39 (24-56) -4.0 (- 5.4 – -17) Open Chain 48 (30-70) 34 (19-53) -3.5 (-4.8 – -12) Closed Chain 54 (36-68) 49 (22.7-59) -0.5 (-3.3 – -15) The proportion of participants making a minimally clinically important change (MCIC) in total SPADI score following treatment Group Open Chain Closed Chain Range of Movement Number of participants making a MCIC improvement 17/40 (43%) 16/40 (40%) 16/40 (40%) Number of participants making a MCIC deterioration 0/40 (0%) 0/40 (0%) 4/40 (10%) Number of participants 10/40 19/40 9/40 (23%)

ALLEGATO A

		v) in grado di leggere e scrivere in inglese.				dropping out Number of participants making a MCIC improvement when only participants completing treatment are considered	(25%) 17/30 (57%)	(48%) 16/21 (76%)	16/31 (52%)
Guimares JF, Salvini TF et al 2016	<i>Immediate Effects of Mobilization with Movement vs Sham Technique on Range of Motion, Strength, and Function in Patients With Shoulder Impingement Syndrome</i> Journal of Manipulative and Physiological Therapeutics Month 2016 RCT	27 Pazienti randomizzati in due gruppi; 14 nel Gruppo 1 che ricevevano mobilizzazioni con movimento (MVM) nelle prime 4 sessioni e 13 nel Gruppo 2 che ricevevano finte mobilizzazioni nelle prime 4 sessioni e mobilizzazioni con movimento (SHAM) nelle ultime 4 Età 18 - 65 anni Sindrome di conflitto di spalla Criteri di inclusione: età tra 18 e 65 anni dolore alla spalla che dura da più di 1 settimana, dolore localizzato nell'area antero-laterale della spalla coerente con SIS, Segni positivi per almeno uno dei seguenti test clinici: per valutare SIS (Neer, Hawkins-Kennedy o Jobe), Movimenti dolorosi associati durante l'elevazione del braccio, o dolore	1 ROM, 1 forza di picco isometrica 1 funzione tramite scala SPADI e DASH Misurazioni pre-intervento, interscambio post-intervento.	14 soggetti (6M/8F) nel Gruppo 1 ricevevano mobilizzazioni con movimento nelle prime 4 sessioni e finte mobilizzazioni nelle ultime 4 13 soggetti (6M/7F) nel Gruppo 2 ricevevano finte mobilizzazioni nelle prime 4 sessioni e mobilizzazioni con movimento nelle ultime 4	Pain-Free Range of Motion, Isometric Peak Force, and Function at Each Evaluation and Effect Sizes for Both Groups Measures Preintervention Interchange Postintervention External Rotation (°) Group 1 80.7 ± 16.6 91.2 ± 25.7 83.1 ± 12.4 Group 2 73.3 ± 22.3 79.4 ± 14.4 87.7 ± 13.2 Abduction (°) Group 1 125.8 ± 43.7 134.7 ± 29.7 145.0 ± 31.0 Group 2 110.1 ± 35.4 126.2 ± 37.5 134.0 ± 30.4 Scaption (°) Group 1 135.3 ± 22.6 138.0 ± 39.1 145.3 ± 21.4 Group 2 144.9 ± 23.8 142.8 ± 24.0 145.0 ± 23.5 Flexion (°) Group 1 143.1 ± 21.6 146.4 ± 11.2 150.7 ± 13.5 Group 2 140.7 ± 19.3 139.1 ± 31.1 144.3 ± 26.1 External Rotation (Kp) Group 1 8.8 ± 2.9 9.7 ± 2.9 9.8 ± 3.2 Group 2 9.0 ± 3.4 9.0 ± 3.3 9.0 ± 3.5 Abduction (Kp) Group 1 7.3 ± 3.0 7.6 ± 3.0 8.2 ± 3.3 Group 2 7.8 ± 3.0 7.6 ± 2.8 8.1 ± 4.1 Scapular Plane (Kp) Group 1 7.8 ± 2.5 8.2 ± 2.8 8.9 ± 3.0 Group 2 7.9 ± 3.2 8.2 ± 3.2 8.0 ± 3.4 Flexion (Kp) Group 1 7.4 ± 4.4 7.9 ± 4.5 8.0 ± 4.9 Group 2 7.9 ± 3.6 7.6 ± 3.8 8.2 ± 4.3 DASH Group 1 25.8 ± 20.7 22.2 ± 23.0 18.0 ± 18.5 Group 2 24.2 ± 19.1 21.1 ± 18.0 17.3 ± 20.0 SPADI Disability Group 1 27.0 ± 26.6 24.2 ± 28.9 19.9 ± 27.4 Group 2 27.5 ± 22.8 22.9 ± 21.1 18.9 ± 20.4 SPADI Pain Group 1 41.1 ± 28.7 30.7 ± 30.2 29.3 ± 30.4 Group 2 43.8 ± 25.0 32.3 ± 22.1 26.7 ± 21.0 SPADI Total Group 1 40.0 ± 26.9 26.7 ± 29.0 23.5 ± 27.6 Group 2 33.8 ± 22.8 26.4 ± 20.2 21.7 ± 20.6 Within-Group Change Score/Effect Size Interchange vs Preintervention Postintervention vs Preintervention External Rotation (°)	(25%) 17/30 (57%)	(48%) 16/21 (76%)	16/31 (52%)	

ALLEGATO A

	durante la rotazione esterna della spalla con il braccio abdotto a 90 °				
Group 1	10.5 (-3.5 to 24.5)/ 0.5 (-0.3 to 1.2)	-2.4 (9.8 to-14.6)/ 0.2 (-0.6 to 0.9)			
Group 2	6.1 (-8.5 to 20.6)/ 0.3 (-0.5 to 1.1)	14.31 (1.6-27.0)/ 0.8 (-0.0 to 1.6)			
Abduction (°)					
Group 1	8.9 (-14.8 to 32.5)/ 0.2 (-0.5 to 1.0)	19.1(3.2-41.5)/ 0.5 (-0.3 to 1.2)			
Group 2	15.4 (-9.2 to 40.0)/ 0.4 (-0.4 to 1.2)	23.1 (0.0-46.3)/ 0.7 (-0.1 to 1.5)			
Scaption (°)					
Group 1	2.6 (-15.6 to 20.1)/ 0.1 (-0.7 to 0.8)	10.0 (-5.0 to 20.9)/ 0.4 (-0.3 to 1.2)			
Group 2	-2.1 (-21.0 to 16.8)/ -0.1 (-0.8 to 0.7)	0.2 (-15.7 to 15.4)/ 0.0 (-0.8 to 0.8)			
Flexion (°)					
Group 1	3.3 (-8.1 to 14.7)/ 0.2 (-0.6 to 0.9)	7.6 (-3.0 to 18.1)/ 0.4 (-0.3 to 1.2)			
Group 2	-1.6 (-13.4 to 10.3)/ -0.1 (-0.8 to 0.7)	3.7 (-7.3 to 14.7)/ 0.2 (-0.6 to 0.9)			
External Rotation (Kp)					
Group 1	0.9 (-0.0 to 1.9)/ 0.3 (-0.4 to 1.1)	1.1 (-0.1 to 2.2)/ 0.4 (-0.4 to 1.1)			
Group 2	0.0 (-1.0 to 1.0)/ 0.0 (-0.8 to 0.8)	0.0 (-1.2 to 1.1)/ 0.0 (-0.8 to 0.8)			
Abduction (Kp)					
Group 1	0.3 (-0.3 to 0.8)/ 0.1 (-0.6 to 0.8)	0.9 (-0.2 to 2.1)/ 0.3 (-0.5 to 1.0)			
Group 2	-0.2 (-0.8 to 0.3)/ -0.1 (-0.8 to 0.7)	0.3 (-0.9 to 1.5)/ 0.1 (-0.7 to 0.9)			
Scapular Plane (Kp)					
Group 1	0.3 (-0.4 to 1.0)/ -0.1 (-0.6 to 0.9)	1.1 (0.1-2.0)/ 0.4 (-0.4 to 1.1)			
Group 2	0.3 (-0.5 to 1.0)/ 0.1 (-0.7 to 0.8)	0.1 (-1.0 to 0.9)/ 0.0 (-0.8 to 0.8)			
Flexion (Kp)					
Group 1	0.6 (-0.2 to 1.4)/ 0.1 (-0.6 to 0.9)	0.7 (-0.4 to 1.7)/ 0.1 (-0.6 to 0.9)			
Group 2	-0.3 (-1.1 to 0.5)/ -0.1 (-0.8 to 0.7)	0.4 (-0.7 to 1.4)/ 0.1 (-0.7 to 0.9)			
DASH					
Group 1	-3.6 (-9.0 to 1.9)/ -0.2 (-0.9 to 0.6)	-7.9 (-13.8 to -1.9)/ -0.4 (-1.1 to 0.4)			
Group 2	-3.1 (-8.8 to 2.6)/ -0.2 (-0.9 to 0.6)	-6.9 (-13.1 to 0.8)/ -0.4 (-1.1 to 0.4)			
SPADI Disability					
Group 1	-2.8 (-9.7 to 4.2)/ -0.1 (-0.8 to 0.1)	-7.0 (-15.0 to 0.8)/ -0.3 (-1.0 to 0.5)			
Group 2	-4.6 (-11.9 to 2.6)/ -0.2 (-1.0 to 0.6)	-8.6 (-16.7 to -0.4)/ -0.4 (-1.2 to 0.4)			
SPADI Pain					

ALLEGATO A

Dilek B, Gulbah ar et al. 2016	<i>Efficacy of Proprioceptiv e Exercises in Patients with Subacromial Impingement Syndrome</i> American Journal of Physical Medicine & Rehabilitation RCT	61 pazienti randomizzati in 2 gruppi: 31 gruppo di intervento con esercizio propriolettivo e fisioterapia convenzionale 30 gruppo di controllo trattato con fisioterapia convenzionale Età 25-65 anni Sindrome da conflitto subacromiale Criteri di inclusione: tra i 25 ei 65 anni e con diagnosi di SIS mediante risonanza magnetica imaging e visita medica. I pazienti che avevano dimostrato un segno di conflitto Neer positivo e Hawkins test per la diagnosi di SIS in visita medica	1 senso di cinestesia e riposizionament o attivo e passivo per la propriocezione a 0 gradi e 10 gradi di rotazione esterna a 12 settimane 2 dolore a riposo, di notte, e durante le attività della vita VAS Qualità della vita con scala WORC, 2 Indice ASES per dolore e adl 2 ROM 2 forza muscolare isometrica a 6 e 12 settimane Misurazioni Baseline 6 settimane 12 settimane	31 soggetti (8M/23F) Nel gruppo di intervento (IG) con esercizio propriolettivo e fisioterapia convenzionale (Esercizi propriolettivi di spalla + stimolazione elettrica transcutanea del nervo, impacco caldo ed esercizio specifico) 30 soggetti (11M/19F) Nel gruppo di controllo (CG) trattato con fisioterapia convenzionale (stimolazione elettrica transcutanea del nervo, impacco caldo ed esercizio specifico)	Pain scores of group Pain at rest IG (n = 31) Median (25%-75%) 5.00 (4.00-7.00) Pe < 0.001a Pa/P-int 0.54/0.61 Beginning 6 wks 1.50 (0.00-2.50) Pbb 0.67/0.64 12 wks 0.00 (0.00-1.50) Pcb, Pdb 0.73/0.78 CG (n = 30) Median (25%-75%) 5.00 (4.00-6.77) Pe < 0.001a Beginning 6 wks 0.00 (0.00-1.00) Pbb 12 wks 0.00 (0.00-1.12) Pcb Pain at night IG (n = 31) Median (25%-75%) 7.80 (6.40-10.00) Pe < 0.001° Pa/P-int 0.04a/0.05 Beginning 6 wks 2.00 (0.00-5.00) Pbb 12 wks 0.50 (0.00-2.50) Pcb, Pdb 0.23/0.28 CG (n = 30) Median (25%-75%) 5.00 (4.00-8.55) Pe < 0.001a Beginning 6 wks 1.00 (0.00-5.00) Pbb 12 wks 0.25 (0.00-3.00) Pcb Pain during ADL IG (n = 31) Median (25%-75%) 7.70 (6.50-10.00) Pe < 0.001a Pa/P-int 0.11/0.17 Beginning 6 wks 2.50 (1.20-5.00) Pbb 12 wks 1.30 (0.00-4.00) Pcb, Pdb 0.76/0.65 CG (n = 30) Median (25%-75%) 6.75 (5.00-8.05) Pe < 0.001° Beginning 6 wks 3.00 (0.37-6.00) Pbb 12 wks 0.00 (0.00-2.00) Pcb, Pdb ASES scores in groups IG (n = 31) Median (25%-75%) 45.00 (27.75-53.00) Pe < 0.001a Pa/P-int 0.08/0.08 Beginning 6 wks 77.50 (62.50-90.00) Pbb 0.02a/0.02a 12 wks 90.00 (78.75-97.50) Pcb, Pdb 0.06/0.06 CG (n = 30)		

ALLEGATO A

<p>Median (25%-75%)</p> <table> <tbody> <tr> <td>Beginning</td> <td>52.50 (33.06-57.12)</td> <td>Pe < 0.001a</td> <td>Pa/P-int</td> </tr> <tr> <td>6 wks</td> <td>89.37 (74.06-96.56) Pbb</td> <td></td> <td>0.48/0.55</td> </tr> <tr> <td>12 wks</td> <td>95.62 (87.81-100.00) Pcb</td> <td>Pdb</td> <td>0.56/0.61</td> </tr> </tbody> </table> <p>Pa/Pa-int, difference between groups (Mann-Whitney U test, aP G 0.05, significant value). Pb/Pb-int, within-group difference between baseline and 6 wks (Wilcoxon test, bP G 0.016, significant value). Pc/Pc-int, within-group difference between baseline and 12 wks (Wilcoxon test, bP G 0.016, significant value). Pd/Pd-int, within-group difference between 6 wks and 12 wks (Wilcoxon test, bP G 0.016, significant value). Pe/Pe-int, the differences of measurements within groups (Friedman test, aP G 0.05, significant value). int, intention-to-treat analysis</p> <p>Isometric muscle strength at 90 degrees abduction in groups</p> <table> <thead> <tr> <th>Isometric Muscle</th> <th>IG (n = 31)</th> <th>CG (n = 30)</th> <th>Pa/P-int</th> </tr> </thead> <tbody> <tr> <td>Strength</td> <td>Median (25%-75%)</td> <td>Median (25%-75%)</td> <td></td> </tr> <tr> <td>Beginning</td> <td>3.00 (1.00-7.00)</td> <td>5.00 (1.75-11.25)</td> <td>Pd < 0.001a</td> </tr> <tr> <td>6 wks</td> <td>8.00 (5.00-15.00) Pbb</td> <td>7.50 (4.00-14.75) Pbb</td> <td>0.48/0.55</td> </tr> <tr> <td>12 wks</td> <td>12.00 (9.00-16.00) Pcb</td> <td>13.00 (9.75-26.00) Pcb</td> <td>0.56/0.61</td> </tr> <tr> <td></td> <td></td> <td></td> <td>0.59/0.68</td> </tr> </tbody> </table> <p>Pa/Pa-int, difference between groups (Mann-Whitney U test, aP G 0.05, significant value). Pb/Pb-int, within-group difference between baseline and 6 wks (Wilcoxon test, bP G 0.016, significant value). Pc/Pc-int, within-group difference between baseline and 12 wks (Wilcoxon test, bP G 0.016, significant value). Pd/Pd-int, the differences of measurements within groups (Friedman test, aP G 0.05, significant value). int, intention-to-treat analysis.</p> <p>Sense of kinesthesia in groups</p> <table> <thead> <tr> <th>Kinesthesia ER</th> <th>IG (n = 31)</th> <th>CG (n = 30)</th> <th>Pa/P-int</th> </tr> </thead> <tbody> <tr> <td></td> <td>Median (25%-75%)</td> <td>Median (25%-75%)</td> <td></td> </tr> <tr> <td>Beginning</td> <td>0.50 (0.00-1.25)</td> <td>0.50 (0.00Y1.31)</td> <td>Pd = 0.002°</td> </tr> <tr> <td>6 wks</td> <td>0.25 (0.00-0.50) Pbb</td> <td>0.00 (0.00-0.25) Pbb</td> <td>0.94/0.94</td> </tr> <tr> <td>12 wks</td> <td>0.00 (0.00-0.25) Pcb</td> <td>0.00 (0.00-0.25) Pcb</td> <td>0.12/0.13</td> </tr> <tr> <td></td> <td></td> <td></td> <td>0.85/0.87</td> </tr> </tbody> </table> <table> <thead> <tr> <th>Kinesthesia ER 10</th> <th>IG (n = 31)</th> </tr> </thead> <tbody> <tr> <td></td> <td>Median (25%-75%)</td> </tr> <tr> <td>Beginning</td> <td>0.50 (0.00-1.25)</td> <td>Pd < 0.001°</td> </tr> <tr> <td>6 wks</td> <td>0.00 (0.00-0.25) Pbb</td> <td></td> </tr> <tr> <td>12 wks</td> <td>0.00 (0.00-0.25) Pcb</td> <td></td> </tr> </tbody> </table>	Beginning	52.50 (33.06-57.12)	Pe < 0.001a	Pa/P-int	6 wks	89.37 (74.06-96.56) Pbb		0.48/0.55	12 wks	95.62 (87.81-100.00) Pcb	Pdb	0.56/0.61	Isometric Muscle	IG (n = 31)	CG (n = 30)	Pa/P-int	Strength	Median (25%-75%)	Median (25%-75%)		Beginning	3.00 (1.00-7.00)	5.00 (1.75-11.25)	Pd < 0.001a	6 wks	8.00 (5.00-15.00) Pbb	7.50 (4.00-14.75) Pbb	0.48/0.55	12 wks	12.00 (9.00-16.00) Pcb	13.00 (9.75-26.00) Pcb	0.56/0.61				0.59/0.68	Kinesthesia ER	IG (n = 31)	CG (n = 30)	Pa/P-int		Median (25%-75%)	Median (25%-75%)		Beginning	0.50 (0.00-1.25)	0.50 (0.00Y1.31)	Pd = 0.002°	6 wks	0.25 (0.00-0.50) Pbb	0.00 (0.00-0.25) Pbb	0.94/0.94	12 wks	0.00 (0.00-0.25) Pcb	0.00 (0.00-0.25) Pcb	0.12/0.13				0.85/0.87	Kinesthesia ER 10	IG (n = 31)		Median (25%-75%)	Beginning	0.50 (0.00-1.25)	Pd < 0.001°	6 wks	0.00 (0.00-0.25) Pbb		12 wks	0.00 (0.00-0.25) Pcb	
Beginning	52.50 (33.06-57.12)	Pe < 0.001a	Pa/P-int																																																																						
6 wks	89.37 (74.06-96.56) Pbb		0.48/0.55																																																																						
12 wks	95.62 (87.81-100.00) Pcb	Pdb	0.56/0.61																																																																						
Isometric Muscle	IG (n = 31)	CG (n = 30)	Pa/P-int																																																																						
Strength	Median (25%-75%)	Median (25%-75%)																																																																							
Beginning	3.00 (1.00-7.00)	5.00 (1.75-11.25)	Pd < 0.001a																																																																						
6 wks	8.00 (5.00-15.00) Pbb	7.50 (4.00-14.75) Pbb	0.48/0.55																																																																						
12 wks	12.00 (9.00-16.00) Pcb	13.00 (9.75-26.00) Pcb	0.56/0.61																																																																						
			0.59/0.68																																																																						
Kinesthesia ER	IG (n = 31)	CG (n = 30)	Pa/P-int																																																																						
	Median (25%-75%)	Median (25%-75%)																																																																							
Beginning	0.50 (0.00-1.25)	0.50 (0.00Y1.31)	Pd = 0.002°																																																																						
6 wks	0.25 (0.00-0.50) Pbb	0.00 (0.00-0.25) Pbb	0.94/0.94																																																																						
12 wks	0.00 (0.00-0.25) Pcb	0.00 (0.00-0.25) Pcb	0.12/0.13																																																																						
			0.85/0.87																																																																						
Kinesthesia ER 10	IG (n = 31)																																																																								
	Median (25%-75%)																																																																								
Beginning	0.50 (0.00-1.25)	Pd < 0.001°																																																																							
6 wks	0.00 (0.00-0.25) Pbb																																																																								
12 wks	0.00 (0.00-0.25) Pcb																																																																								
<p>Kinesthesia ER 10 IG (n = 31)</p>																																																																									

ALLEGATO A

						Beginning 6 wks 12 wks	Median (25%-75%) 1.00 (0.75-1.50) Pd < 0.001a 1.00 (0.25-1.25) Pbb 0.50 (0.25-0.75) Pcb CG (n = 30)
						Beginning 6 wks 12 wks	Median (25%-75%) 1.00 (0.25-1.56) Pd = 0.10 0.87 (0.43-1.00) 0.50 (0.25Y1.00) Pcb
							Pa/Pa-int, difference between groups (Mann-Whitney U test, aP G 0.05, significant value). Pb/Pb-int, within-group difference between baseline and 6 wks (Wilcoxon test, bP G 0.016, significant value). Pc/Pc-int, within-group difference between baseline and 12 wks (Wilcoxon test, bP G 0.016, significant value). Pd/Pd-int, the differences of measurements within groups (Friedman test, aP G 0.05, significant value). int, intention-to-treat analysis.
							Sense of position in groups
							RAP ER 0
							IG (n = 31)
							Median (25%-75%) 2.00 (1.25-2.75) Pd = 0.32 1.50 (15.33-22.66) 1.50 (1.25-2.00) CG (n = 30)
							Median (25%-75%) 2.12 (1.68-2.81) Pd = 0.02a 1.50 (1.18-2.25) 2.00 (1.25-2.50)
							RAP ER 10
							IG (n = 31)
							Median (25%-75%) 2.75 (1.75-3.25) Pd G 0.001a 1.75 (1.25-2.50) Pbb 1.50 (1.25-2.25) Pcb CG (n = 30)
							Median (25%-75%) 22.62 (2.00Y3.00) Pd = 0.06 2.00 (1.00Y2.25) Pbb 2.00 (1.50Y2.75)
							RPP ER 0
							IG (n = 31)
							Median (25%-75%) 2.75 (2.00-3.75) Pd = 0.05 1.75 (1.50-3.00) Pbb 2.50 (2.00-3.50) CG (n = 30)
							Median (25%-75%) 2.50 (2.00-3.81) Pd = 0.11 2.12 (1.25-3.50) Pbb 2.45 (1.68-3.06)

ALLEGATO A

						RPP ER 10	IG (n = 31)	
						Beginning	Median (25%-75%)	Pa/P-int
						6 wks	2.25 (2.00-3.25) Pd = 0.01a	0.91/0.93
						12 wks	1.75 (1.50Y3.00) Pbb	0.90/0.92
							2.00 (1.50-2.75)	0.72/0.73
						CG (n = 30)		
						Beginning	Median (25%-75%)	
						6 wks	2.50 (1.68-3.62) Pd = 0.27	
						12 wks	2.00 (1.25-2.81)	
							2.00 (1.00-3.00)	
							Pa/Pa-int, difference between groups (Mann-Whitney U test, aP G 0.05, significant value). Pb/Pb-int, within-group difference between baseline and 6 wks (Wilcoxon test, bP G 0.016, significant value).	
							Pc/Pc-int, within-group difference between baseline and 12 wks (Wilcoxon test, bP G 0.016, significant value). Pd/Pd-int, the differences of measurements within groups (Friedman test, aP G 0.05, significant value). int, intention-to-treat analysis.	
						ROM of groups		
						Flexion A	IG (n = 31)	
						Beginning	Median (25%-75%)	Pa/P-int
						6 wks	140 (130-160) Pe < 0.001a	0.06/0.08
						12 wks	170 (160-180) Pbb	0.69/0.72
							180 (165Y180) Pcb	0.35/0.40
						CG (n = 30)		
						Beginning	Median (25%-75%)	
						6 wks	155 (140-168) Pe < 0.001a	
						12 wks	177 (160-180) Pbb	
							180 (170-180) Pcb	
						Flexion P	IG (n = 31)	
						Beginning	Median (25%-75%)	Pa/P-int
						6 wks	160 (150-170) Pe < 0.001a	0.02a/0.03a
						12 wks	180 (170-180) Pbb	0.76/0.79
							180 (180-180) Pcb	0.61/0.64
						CG (n = 30)		
						Beginning	Median (25%-75%)	
						6 wks	170 (160-180) Pe < 0.001a	
						12 wks	180 (170-180) Pbb	
							180 (180-180) Pcb	
						Abduction	IG (n = 31)	
						Beginning	Median (25%-75%)	Pa/P-int
						6 wks	150 (140-165) Pe < 0.001a	0.05/0.10
						12 wks	180 (170-180) Pbb	0.87/0.90
							180 (170-180) Pcb	66/0.73
						CG (n = 30)		
						Beginning	Median (25%-75%)	
						6 wks	160 (143-180) Pe<G 0.001a	
							180 (165-180) Pbb	

ALLEGATO A

						12 wks	180 (173-180) Pcb
						Internal rotation	IG (n = 31)
						Beginning	Median (25%-75%) Pa/P-int
						6 wks	12.50 (5.00-15.25) Pe <0.001a 0.01a/0.02a
						12 wks	14.50 (12.75-16.00) Pbb 0.30/0.35
							15.50 (13.75-16.00) Pcb, 0.49/0.53
						CG (n = 30)	
						Beginning	Median (25%-75%)
						6 wks	15.00 (12.75-16.00) Pe = 0.01a
						12 wks	16.00 (13.00-17.00)
							16.00 (14.00-16.00)
						ER A	IG (n = 31)
						Beginning	Median (25%-75%) Pa/P-int
						6 wks	80 (70-90) Pe < 0.001a 0.20/0.25
						12 wks	90 (90-90) Pbb 0.98/0.99
							90 (90-90) Pcb 0.98/0.98
						CG (n = 30)	
						Beginning	Median (25%-75%)
						6 wks	90 (80-90) Pe = 0.001a
						12 wks	90 (87-25Y90) Pbb
							90 (90-90) Pcb
						ER P	IG (n = 31)
						Beginning	Median (25%-75%) Pa/P-int
						6 wks	70 (60-90) Pe < 0.001a 0.17/0.19
						12 wks	90 (80-90) Pbb 0.68/0.71
							90 (85-90) Pcb 0.64/0.65
						CG (n = 30)	
						Beginning	Median (25%-75%)
						6 wks	80 (70-90) Pe < 0.001a
						12 wks	90 (80-90) Pbb
							90 (88,75-90) Pcb
							Pa/Pa-int: difference between groups (Mann-Whitney U test, aP G 0.05, significant value). Pb/Pb-int, within-group difference between baseline and 6 wks (Wilcoxon test, bP G 0.016, significant value). Pc/Pc-int, within-group difference between baseline and 12 wks (Wilcoxon test, bP G 0.016, significant value). Pd/Pd-int, within-group difference between 6 wks and 12 wks (Wilcoxon test, bP G 0.016, significant value). Pe/Pe-int, the differences of measurements within groups (Friedman test, aP G 0.05, significant value).
							A, active; int, intention-to-treat analysis; P, passive

Analysis of variance results of WORC index, isometric muscle strength at 20 degrees abduction, and isometric muscle strength at ER in groups

WORC Index	IG (n = 31) Mean (SD)	CG (n = 30) Mean (SD)	Source	P/P-int
Beg.	1334.90 (370.77)	1217.13 (394.49)	Group (G)	0.11/0.12
6 wks	745.00 (318.75)	655.43 (485.23)	Time (T)	<0.001a/<0.001
12 wks	597.22 (421.75)	390.20 (427.29)	Interaction (G x T)	0.47/049
Isometric muscle strength at 20 degrees abduction				
Beg.	19.64 (10.69)	20.76 (9.22)	Group (G)	0.25/0.27
6 wks	23.41 (11.02)	26.70 (12.47)	Time (T)	<0.001a/<0.001a
12 wks	26.41 (11.33)	31.26 (13.71)	Interaction (G x T)	0.20/0.21
Isometric muscle strength at ER				
Beginning	10.70 (3.95)	10.81 (3.95)	Group (G)	0.33/0.36
6 wks 1	3.64 (4.31)	13.10 (5.18)	Time (T)	<0.001a/<0.001
12 wks	13.74 (4.21)	14.56 (5.31)	Interaction	0.87/0.89

ALLEGATO A

Delgado -Gil JA et al. 2015 Journal of Manipulative and Physiological Therapeutics Month 2015 RCT	<i>Effects of mobilization with movement on pain and range of motion in patients with unilateral shoulder impingement syndrome</i>	42 pazienti Randomizzati in due gruppi: 21 nel gruppo mobilizzazioni con movimento (MWM) 21 nel gruppo contatto manuale fittizio (SHAM) Età media 54 anni +- 10	1 intensità del dolore, dolore durante l'intervallo di movimento attivo tramite NPRS 1 ROM,	21 soggetti (4M/17F) nel gruppo mobilizzazio ni con movimento (MWM) trattati con glide postero- laterale della testa dell'omero durante il movimento di flessione attiva di spalla Misurazioni Baseline 24 h dopo l'intervento	21 soggetti (4M/17F) nel gruppo contatto manuale fittizio (SHAM) ai quali veniva applicato un finto trattamento MVM ponendo la mano anziché sulla testa dell'omero sul pettorale 3 set da 10 ripetizioni con intervallo di 30 secondi tra i set 3 set da 10 ripetizioni con intervallo di 30 secondi tra i set	Baseline, Final Values, Change Scores, and Effect Sizes for Shoulder Pain and Range of Motion Outcomes				
						Outcome Group	Baseline	End of Treatment	Within-Group Changes	Within-Group Effect Sizes
Shoulder pain 24 h (0-10)										
						Sham	6.6 ± 2.1	6.8 ± 1.7	0.2 (-0.5, 1.1)	-0.13
						MWM	6.5 ± 1.6	5.9 ± 2.3	-0.6 (-1.4, 0.2)	0.29
Shoulder pain at night (0-10)										
						Sham	6.7 ± 2.3	6.0 ± 2.9	-0.7 (-1.7, 0.3)	0.27
						MWM	6.4 ± 2.3	4.7 ± 3.1	1.7 (-2.8, -0.7)	0.64
Pain with shoulder flexion (0-10)										
						Sham	6.8 ± 1.6	7.1 ± 4.5	0.3 (-0.4, 0.9)	-0.17
						MWM	6.2 ± 1.9	5.1 ± 2.2	-1.1 (-1.7, -0.3)	0.50
Pain-free shoulder flexion (°)										
						Sham	120.6 ± 23.3	117.3 ± 20.5	-3.2 (-11.8, 5.3)	-0.15
						MWM	103.7 ± 29.5	134.6 ± 20.8	31.0 (22.4, 39.5)	1.23
Maximum shoulder flexion (°)										
						Sham	141.6 ± 20.7	142.5 ± 20.4	0.9 (-5.5, 7.2)	0.04
						MWM	133.6 ± 25.7	153.7 ± 15.6	20.1 (13.8, 26.5)	0.97
Shoulder extension (°)										
						Sham	28.9 ± 12.1	28.9 ± 10.2	0.0 (-3.0, 2.9)	0.00
						MWM	27.1 ± 8.1	28.3 ± 6.8	1.2 (-1.7, 4.1)	0.17
Shoulder abduction (°)										
						Sham	89.3 ± 26.2	95.0 ± 25.9	5.8 (-3.2, 14.7)	0.22
						MWM	98.6 ± 24.5	105.8 ± 29.7	7.2 (-1.8, 16.2)	0.26
Shoulder external rotation (°)										
						Sham	55.7 ± 14.9	54.3 ± 16.5	-1.4 (-5.5, 2.8)	-0.09
						MWM	46.1 ± 18.6	62.9 ± 19.6	8 (2.7, 11.0)	0.36
Shoulder medial rotation (°)										
						Sham	61.6 ± 19.3	61.8 ± 15.9	0.2 (-5.4, 5.7)	0.01
						MWM	59.5 ± 16.6	65.8 ± 18.2	6.3 (0.8, 11.9)	0.36
Between-Group Differences in Change Scores Between-Group Effect Sizes										
Shoulder pain 24 h (0-10)										
						Sham			-0.8 (-2.0, 0.4)	0.4
Shoulder pain at night (0-10)										
						Sham			-1.0 (-2.4, 0.4)	0.4

ALLEGATO A

						<p>Pain with shoulder flexion (0-10) Sham MWM -1.4 (-2.8, -0.4) 0.9</p> <p>Pain-free shoulder flexion (°) Sham MWM 34.2 (43.4, 25.0) 1.8</p> <p>Maximum shoulder flexion (°) Sham MWM 19.3 (27.9, 10.7) 1.4</p> <p>Shoulder extension (°) Sham MWM 1.3 (-2.8, 5.3) 0.2</p> <p>Shoulder abduction (°) Sham MWM 1.4 (-9.6, 12.4) 0.1</p> <p>Shoulder external rotation (°) Sham MWM 8.2 (14.6, 1.8) 0.9</p> <p>Shoulder medial rotation (°) Sham MWM 6.1 (-2.0, 14.3) 0.5</p>
--	--	--	--	--	--	--

Values are expressed as mean ± SD for baseline and final mean values and as mean (95% CI) for within-group and between-group change scores (higher values indicate greater movement and lower levels of pain). MWM, mobilization-with-movement

ALLEGATO A

Satpute KH, Bhandari P, Hall T. 2015	<i>Efficacy of Hand Behind Back Mobilization With Movement for Acute Shoulder Pain and Movement Impairment</i>	44 pazienti con dolore alla spalla acuto e compromissione del movimento suddivisi in 2 gruppi: 22 sottoposti a mobilizzazione con movimento MWM, esercizio / impacco caldo 22 sottoposti ad esercizio / impacco caldo età compresa tra i 18 ei 65 anni Criteri inclusione: I soggetti dovevano essere in grado di raggiungere con il dorso della loro mano sul lato affetto almeno il gluteo (ma non sopra la cresta iliaca), Essere in grado di sdraiarsi sul lato interessato Per la rotazione interna misura che non dovrebbe essere superiore a 25 °, 29 e avere almeno 90 ° di abduzione della spalla	1 range di movimento HBB (ROM). 2il ROM in rotazione interna della spalla, 2 dolore e la disabilità della spalla tramite scala SPADI Misurazioni Baseline Dopo 9 trattamenti in 3 settimane	22 soggetti (10M/12F) sottoposti a mobilizzazione con movimento MWM portando il braccio del paziente dietro la schiena e favorendo la rotazione interna (tecnica Mulligan hand behind back) Tre set di 10 ripetizioni sono state applicate con un intervallo di riposo di 60 secondi tra ogni serie + esercizio con teraband ripetuti 10 volte per 10 secondi di tenuta e 5 di riposo tra serie / impacco caldo per dieci minuti prima degli esercizi	22 soggetti (15M/7F) sottoposti ad esercizio con teraband ripetuti 10 volte per 10 secondi di tenuta e 5 di riposo tra serie / impacco caldo per dieci minuti prima degli esercizi	Within-Group Analysis Before and After Intervention With Paired t Test (Preintervention and Postintervention) for Pain, ROM, and Disability With Effect Size MWM and Exercise/ Hot Packs (n = 22) <table border="1"><thead><tr><th></th><th>Mean of Difference (SD)</th><th>95% CI</th><th>P Value</th><th>Cohen d (95% CI)</th></tr></thead><tbody><tr><td>VAS pain HBB</td><td>5.31 (1.80)</td><td>5.06-5.57</td><td><.001 *</td><td>8.41 (8.21-8.59)</td></tr><tr><td>IR ROM</td><td>-16.86 (3.04)</td><td>-18.21 to -15.51</td><td><.001 *</td><td>4.74 (5.80-3.70)</td></tr><tr><td>HBB ROM</td><td>-16.32 (3.38)</td><td>-17.82 to -14.82</td><td><.001 *</td><td>5.35 (6.25-4.45)</td></tr><tr><td>SPADI score</td><td>40.63 (6.47)</td><td>37.76-43.51</td><td><.001 *</td><td>6.52 (4.68-8.36)</td></tr></tbody></table> Exercise/ Hot Packs (n = 22) <table border="1"><thead><tr><th></th><th>Mean of Difference (SD)</th><th>95% CI</th><th>P Value</th><th>Cohen d (95% CI)</th></tr></thead><tbody><tr><td>VAS pain HBB</td><td>3.39 (0.72)</td><td>3.08-3.71</td><td><.001 *</td><td>4.61 (4.38-4.82)</td></tr><tr><td>IR ROM</td><td>-7.38 (2.08)</td><td>-8.30 to -6.46</td><td><.001 *</td><td>2.65 (3.48-1.83)</td></tr><tr><td>HBB ROM</td><td>-6.83 (2.66)</td><td>-8.01 to -5.64</td><td><.001 *</td><td>3.52 (4.10-2.95)</td></tr><tr><td>SPADI score</td><td>19.19 (5.50)</td><td>16.75-21.62</td><td><.001 *</td><td>3.85 (2.37-5.32)</td></tr></tbody></table> Cohen d (within-groups effect size, standardized mean difference). CI, confidence interval; HBB, hand behind back; IR, internal rotation; MWM, Mulligan mobilization with movement; ROM, range of motion; SD, significant difference; SPADI, shoulder pain and disability index; VAS, visual analogue scale pain score during maximal HBB. * Significant difference between groups, P b .0125 (Bonferroni adjustments: significance level b.05/4).		Mean of Difference (SD)	95% CI	P Value	Cohen d (95% CI)	VAS pain HBB	5.31 (1.80)	5.06-5.57	<.001 *	8.41 (8.21-8.59)	IR ROM	-16.86 (3.04)	-18.21 to -15.51	<.001 *	4.74 (5.80-3.70)	HBB ROM	-16.32 (3.38)	-17.82 to -14.82	<.001 *	5.35 (6.25-4.45)	SPADI score	40.63 (6.47)	37.76-43.51	<.001 *	6.52 (4.68-8.36)		Mean of Difference (SD)	95% CI	P Value	Cohen d (95% CI)	VAS pain HBB	3.39 (0.72)	3.08-3.71	<.001 *	4.61 (4.38-4.82)	IR ROM	-7.38 (2.08)	-8.30 to -6.46	<.001 *	2.65 (3.48-1.83)	HBB ROM	-6.83 (2.66)	-8.01 to -5.64	<.001 *	3.52 (4.10-2.95)	SPADI score	19.19 (5.50)	16.75-21.62	<.001 *	3.85 (2.37-5.32)
	Mean of Difference (SD)	95% CI	P Value	Cohen d (95% CI)																																																				
VAS pain HBB	5.31 (1.80)	5.06-5.57	<.001 *	8.41 (8.21-8.59)																																																				
IR ROM	-16.86 (3.04)	-18.21 to -15.51	<.001 *	4.74 (5.80-3.70)																																																				
HBB ROM	-16.32 (3.38)	-17.82 to -14.82	<.001 *	5.35 (6.25-4.45)																																																				
SPADI score	40.63 (6.47)	37.76-43.51	<.001 *	6.52 (4.68-8.36)																																																				
	Mean of Difference (SD)	95% CI	P Value	Cohen d (95% CI)																																																				
VAS pain HBB	3.39 (0.72)	3.08-3.71	<.001 *	4.61 (4.38-4.82)																																																				
IR ROM	-7.38 (2.08)	-8.30 to -6.46	<.001 *	2.65 (3.48-1.83)																																																				
HBB ROM	-6.83 (2.66)	-8.01 to -5.64	<.001 *	3.52 (4.10-2.95)																																																				
SPADI score	19.19 (5.50)	16.75-21.62	<.001 *	3.85 (2.37-5.32)																																																				
J Manipulative Physiol Ther 2015;xx:1-12				Between-Groups Analysis With Independent Samples t Test for Pain, ROM, and Disability With Effect Size Postintervention <table border="1"><thead><tr><th></th><th>Mean (SD)</th><th></th></tr></thead><tbody><tr><td>VAS with maximal HBB</td><td>2.79 (0.60)</td><td>MWM and Ex. Exercise</td></tr><tr><td>IR ROM°</td><td>34.55 (3.76)</td><td>26.79 (2.74)</td></tr><tr><td>HBB ROM°</td><td>16.20 (3.99)</td><td>6.89 (2.16)</td></tr><tr><td>SPADI score</td><td>23.86 (6.05)</td><td>46.04 (5.33)</td></tr></tbody></table> <table border="1"><thead><tr><th></th><th>Mean Difference Scores (95% CI)</th><th>Cohen d (95% CI)</th></tr></thead><tbody><tr><td>VAS with maximal HBB</td><td>-1.77 * (-2.17 to -1.36)</td><td>2.73 (2.54-2.92)</td></tr><tr><td>IR ROM°</td><td>7.75 * (5.71-9.80)</td><td>2.44 (1.46-3.36)</td></tr><tr><td>HBB ROM°</td><td>9.31 * (7.38-11.27)</td><td>2.97 (2.04-3.90)</td></tr><tr><td>SPADI score</td><td>-22.17 * (-25.64 to -18.70)</td><td>3.98 (5.62-2.34)</td></tr></tbody></table> Cohen d relation (between-groups effect size, standardized mean difference). CI, confidence interval; HBB, hand behind back; IR, internal rotation; MWM, Mulligan mobilization with movement; ROM, range of motion; SD, significant difference; SPADI, shoulder pain and		Mean (SD)		VAS with maximal HBB	2.79 (0.60)	MWM and Ex. Exercise	IR ROM°	34.55 (3.76)	26.79 (2.74)	HBB ROM°	16.20 (3.99)	6.89 (2.16)	SPADI score	23.86 (6.05)	46.04 (5.33)		Mean Difference Scores (95% CI)	Cohen d (95% CI)	VAS with maximal HBB	-1.77 * (-2.17 to -1.36)	2.73 (2.54-2.92)	IR ROM°	7.75 * (5.71-9.80)	2.44 (1.46-3.36)	HBB ROM°	9.31 * (7.38-11.27)	2.97 (2.04-3.90)	SPADI score	-22.17 * (-25.64 to -18.70)	3.98 (5.62-2.34)																						
	Mean (SD)																																																							
VAS with maximal HBB	2.79 (0.60)	MWM and Ex. Exercise																																																						
IR ROM°	34.55 (3.76)	26.79 (2.74)																																																						
HBB ROM°	16.20 (3.99)	6.89 (2.16)																																																						
SPADI score	23.86 (6.05)	46.04 (5.33)																																																						
	Mean Difference Scores (95% CI)	Cohen d (95% CI)																																																						
VAS with maximal HBB	-1.77 * (-2.17 to -1.36)	2.73 (2.54-2.92)																																																						
IR ROM°	7.75 * (5.71-9.80)	2.44 (1.46-3.36)																																																						
HBB ROM°	9.31 * (7.38-11.27)	2.97 (2.04-3.90)																																																						
SPADI score	-22.17 * (-25.64 to -18.70)	3.98 (5.62-2.34)																																																						

ALLEGATO A

						disability index; VAS, visual analogue scale pain score during maximal HBB. * Significant difference between groups, P b .05/4.
Granviken F, Vasseljén O 2015	<i>Home exercises and supervised exercises are similarly effective for people with subacromial impingement</i> Journal of Physiotherapy RCT	46 pazienti con conflitto subacromiale randomizzati in due gruppi: 23 gruppo esercizi domiciliari 23 gruppo esercizi supervisionati Età 18 e i 65 anni Criteri inclusione: dolore alla spalla superiore a 12 sett. Tre diagnosi cliniche basate su criteri di precedenti raccomandazioni. Il test dell'arco doloroso positivo se il dolore era presente in qualsiasi parte del percorso di movimento compreso tra 60 e 120°. Un test positivo dell'infraspinato era indicato dal dolore e/o debolezza alla rotazione esterna isometrica contro resistenza eseguita con 90 gradi di flessione del gomito e il braccio in posizione neutra lungo il lato del corpo. Il Kennedy- Hawkins era positivo Per un paziente da includere nello studio, tutti e tre i test	1 Indice di dolore e disabilità della spalla (SPADI). 2 dolore medio durante la settimana passata, 2Questionario di Fear Avoidance Belief, FABQ soddisfazione partecipanti al trattamento, ROM Stato lavorativo Misurazioni Baseline 6 settimane 24 settimane	23 soggetti (12M/11F) sottoposti ad esercizi domiciliari (HE) 23 soggetti (12M/11F) sottoposti ad esercizi supervisionati (SE)	Outcomes Groups Week 0 HE SE Week6 HE SE Week26 HE SE	Mean (SD) for continuous outcomes at each assessment time for each group, mean(SD) difference within groups, and mean (95%CI) difference between groups. SPADI (0 to100), mean(SD) 49(12) 48(19) 32(15) 32(20) 24(24) 21(18) Pain (0 to10), mean(SD) 6.3(1.3) 5.9(2.2) 4.3(2.2) 4.1(2.1) FABQ physical activity (0 to24), mean(SD) 14.0(4.0) 14.4(5.0) 10.6(5.3) 12.8(5.8) FABQ work (0 to42), mean(SD) 20.6(7.1) 19.3(12.4) 17.4(7.6) 16.2(13.1) Flexion (deg), mean(SD) 150(21) 151(26) 154(23) 156(23) Abduction (deg), mean(SD) 119(39) 109(42) 128(42) 121(42) External rotation (deg), mean(SD) 65(20) 63(23) 64(22) 67(23) Internal rotation (deg), mean(SD) 62(15) 65(15) 63(14) 65(12) Within -group differences Week 6 minus Week 26 minus Week 0 Week 0 HE SE HE SE (n=21) (n=23) (n=18) (n=21) SPADI (0-100) mean (SD) -17(15) -15(17) -27(26) -26(28) Pain (0 to 10) mean (SD) -2.1(2.0) -1.8(1.9) FABQ physical

ALLEGATO A

		dovevano essere positivi. Inoltre, dovevano avere normale range passivo.di movimento gleno-omerale				activity (0 to24), mean(SD) -3.5(4.1) -1.7(4.8)
						FABQ work (0 to42), mean(SD) -3.2(5.5) -3.1(7.8)
						Flexion (deg), mean(SD) 4(17) 6(13)
						Abduction (deg), mean(SD) 11(23) 12(23)
						External rotation (deg), mean(SD) -2(16) 4(19)
						Internal rotation (deg), mean(SD) 2(13) 0(12)
						Between-group differences
					Week 6 minus Week 26 minus	
					Week 0 Week 0	
					HE minus SE HE minus SE	
					SPADI (0-100) Mean (SD)	0(-14to14) -2(-21to17)
					Pain (0 to 10) mean (SD)	-0.1(-1.8to1.6)
					FABQ physical activity (0 to24), mean(SD)	2.8(-1.0to6.5)
					FABQ work (0 to42), mean(SD)	0.0(-7.0to6.9)
					Flexion (deg), mean(SD)	0(-16to16)
					Abduction (deg), mean(SD)	-14(-43to15)
					External rotation (deg), mean(SD)	2(-14to18)
					Internal rotation (deg), mean(SD)	0(-10to11)
					FABQ =Fear Avoidance Beliefs Questionnaire, HE = home exercises, SE = supervised exercises, SPADI = Shoulder Pain and Disability Index. Shaded cells = primary outcome. a Mixed-effects models for SPADI and pain were adjusted for age and gender. There maining	

ALLEGATO A

						outcome variable analyses were adjusted for age, gender and baseline pain level
Camargo PR, Alburque rque- et al. 2015	<i>Effects of Stretching and Strengthening Exercises, With and Without Manual Therapy, on Scapular Kinematics, Function, and Pain in Individuals With Shoulder Impingement</i> Journal of Orthopaedic & Sports Physical Therapy® RCT	46 individui Randomizzati in due gruppi: 23 intervento di esercizi di stretching e di rafforzamento (solo esercizio) 23 intervento, integrato da terapia manuale mirata alla spalla e alla colonna cervicale (esercizio più terapia manuale). Età media 32 anni Sindrome da impingement Criteri inclusione: avere una storia di esordio non traumatico di dolore alla spalla, arco doloroso durante l'elevazione attiva del braccio, 1 o più positivi Test SIS (Hawkins-Kennedy, Jobe, Neer) o dolore durante la rotazione esterna del braccio a 90 ° dell'abduzione	1 cinematica scapolare durante l'elevazione del braccio, 1 funzione determinata attraverso il questionario DASH 1 dolore valutato con scala VAS 1 sensibilità meccanica valutata con soglia del dolore alla pressione Misurazioni: Baseline Post intervento a 4 settimane	23 soggetti (10M/13F) trattati con terapia manuale mirata alla spalla e alla colonna cervicale più esercizio di stretching e rafforzamento o muscoli della spalla (esercizio più terapia manuale). Le tecniche di terapia manuale erano mobilizzazioni di grado III e IV che includevano artrocinematica, osteocinematica movimenti per le articolazioni gleno-omerale, scapolotoracica, acromio clavicolare, sternoclavicolare e del rachide cervicale, e tecniche dei tessuti molli (frizioni)	23 soggetti (14M/9F) con intervento di esercizi di stretching e di rafforzamento (solo esercizio) 3 esercizi di stretching e 3 esercizi di potenziamento, eseguiti sia per i lati coinvolti che per quelli non coinvolti. Gli esercizi di stretching miravano al trapezio superiore, al piccolo pettorale e alla regione posteriore della spalla. Ogni esecuzione di stretching era di 3 ripetizioni da 30 secondi con 30 secondi di pausa tra le ripetizioni. Esercizi di rafforzamento con teraband	Scapular Kinematics During Elevation in the Sagittal and Scapular Planes and DASH Score at Preintervention and Postintervention Evaluations Movement/Outcome/Group* Preint † Postint † Sagittal plane elevation Scapular internal rotation Exercise plus MT 46.4 +- 8.9 45.3 +- 9.4 Exercise alone 48.3 +- 7.6 46.4 +- 7.4 Scapular upward rotation Exercise plus MT 19.9 +- 14.8 21.5 +- 14.7 Exercise alone 18.4 +- 13.0 19.6 +- 14.6 Scapular tilt§ Exercise plus MT -0.3 +- 8.4 -3.3 +- 6.6 Exercise alone 0.6 +- 7.1 0.9 +- 7.9 Scapular plane elevation Scapular internal rotation Exercise plus MT 36.9 +- 8.3 34.8 +- 9.8 Exercise alone 38.0 +- 6.4 35.9 +- 6.3 Scapular upward rotation Exercise plus MT 20.5 +- 15.2 21.9 +- 15.1 Exercise alone 20.1 +- 13.5 21.3 +- 15.2 Scapular tilt§ Exercise plus MT -0.1 +- 8.1 -2.2 +- 7.0 Exercise alone 1.6 +- 7.3 1.9 +- 8.3 DASH score Exercise plus MT 25.3 +- 16.1 12.4 +- 12.3 Exercise alone 20.8 +- 10.4 11.7 +- 9.5 Within-Group Changes‡ Within-Group Effect Sizes, Cohen d‡ Sagittal plane elevation Scapular internal rotation Exercise plus MT -1.1 (-6.4, 4.3) -0.12 (-0.70, 0.46) Exercise alone -1.9 (-6.4, 2.6) -0.25 (-0.83, 0.33) Scapular upward rotation Exercise plus MT 1.6 (-7.1, 10.3) 0.11 (-0.47, 0.68) Exercise alone 1.2 (-7.0, 9.4) 0.09 (-0.49, 0.66) Scapular tilt§ -3.0 (-7.5, 1.5) -0.40 (-0.97, 0.19) Exercise alone 0.3 (-4.2, 4.8) 0.03 (-0.54, 0.62) Scapular plane elevation Scapular internal rotation Exercise plus MT -2.1 (-7.5, 3.3) -0.23 (-0.81, 0.35)

ALLEGATO A

		<p>passiva o isometrica e dolore con la palpazione dei tendini della cuffia dei rotatori.</p> <p>Tutti gli individui dovevano essere in grado di raggiungere 150 ° di elevazione del braccio come determinato dall'osservazione visiva</p>		<p>profonde, impastamento), neurocuscolari propriocettive facilitazione, stabilizzazione ritmica, strain / counterstrain e tecniche di contrazione / relax applicate ai muscoli interessati</p>		<p>Exercise alone Scapular upward rotation Exercise plus MT Exercise alone Scapular tilt§ Exercise plus MT Exercise alone DASH score Exercise plus MT Exercise alone</p> <p>Sagittal plane elevation Scapular internal rotation Scapular upward rotation Scapular tilt§ Scapular plane elevation Scapular internal rotation Scapular upward rotation Scapular tilt§ DASH score</p>	<p>-2.1 (-5.9, 1.7) 1.4 (-7.6, 10.4) 1.2 (-7.3, 9.7) -2.1 (-6.6, 2.4) 0.4 (-4.3, 4.9) -12.9 (-17.6, -8.2) -9.1 (-13.8, -4.3)</p> <p>-0.33 (-0.91, 0.26) 0.09 (-0.49, 0.67) 0.08 (-0.50, 0.66) -0.28 (-0.85, 0.31) 0.04 (-0.62, 0.54) -0.90 (-1.49, -0.28) -0.91 (-1.50, -0.29)</p>	<p>Between-Group Differences in Change Scores‡</p>	<p>Between-Group Effect Sizes Cohen d</p>
Pain and Pressure Pain Thresholds at Preintervention and Postintervention Evaluations									
						<p>Movement/Outcome/Group*</p> <p>Pain VAS (0-100), mm</p> <p>Current pain at rest</p> <p>Exercise plus MT Exercise alone</p> <p>Pain during movement</p> <p>Exercise plus MT Exercise alone</p> <p>Greatest pain last week</p> <p>Exercise plus MT Exercise alone</p> <p>Least pain last week</p> <p>Exercise plus MT Exercise alone -0.7 (-7.8, 6.5) -0.09 (-0.70, 0.54)</p> <p>Pressure pain threshold, kg/cm2</p> <p>Involved upper trapezius</p> <p>Exercise plus MT Exercise alone</p> <p>Uninvolved upper trapezius</p> <p>Exercise plus MT‡</p>	<p>19.3 +- 27.6 10.3 +- 14.1</p> <p>41.0 +- 35.2 38.8 +- 21.1</p> <p>53.9 +- 33.0 54.2 +- 19.5</p> <p>15.6 +- 17.7 6.4 +- 7.3</p> <p>2.9 +- 1.6 3.1 +- 1.9</p> <p>3.0 +- 1.9 3.8 +- 1.6</p>	<p>Preint †</p> <p>Postint †</p>	

ALLEGATO A

ALLEGATO A

					Least pain last week		
					Exercise plus MT	-10.2 (-17.2, -3.2)	-0.72 (-1.33, -0.08)
					Exercise alone	-0.7 (-7.8, 6.5)	-0.09 (-0.70, 0.54)
					Pressure pain threshold, kg/cm²		
					Involved upper trapezius		
					Exercise plus MT	0.1 (-0.5, 0.8)	0.07 (-0.55, 0.66)
					Exercise alone	0.6 (-0.0, 1.3)	0.39 (-0.24, 1.02)
					Uninvolved upper trapezius		
					Exercise plus MT‡	0.5 (-0.3, 1.3)	0.30 (-0.31, 0.91)
					Exercise alone§	0.5 (-0.3, 1.3)	0.29 (-0.35, 0.90)
					Involved infraspinatus		
					Exercise plus MT	-0.1 (-0.9, 0.8)	-0.01 (-0.60, 0.60)
					Exercise alone	1.4 (0.5, 2.2)	0.64 (-0.01, 1.26)
					Uninvolved infraspinatus		
					Exercise plus MT	0.3 (-0.3, 1.0)	0.18 (-0.44, 0.77)
					Exercise alone	0.8 (0.1, 1.5)	0.42 (-0.24, 1.01)
					Involved supraspinatus		
					Exercise plus MT	0.9 (-0.2, 1.9)	0.35 (-0.28, 0.94)
					Exercise alone	1.0 (-0.1, 2.1)	0.44 (-0.19, 1.05)
					Uninvolved supraspinatus		
					Exercise plus MT	0.4 (-0.3, 1.0)	0.17 (-0.45, 0.76)
					Exercise alone	1.1 (0.4, 1.7)	0.51 (-0.12, 1.14)
					Involved deltoid		
					Exercise plus MT	0.5 (0.0, 1.0)	0.30 (-0.32, 0.90)
					Exercise alone	0.6 (0.1, 1.1)	0.36 (-0.26, 0.99)
					Uninvolved deltoid		
					Exercise plus MT	0.3 (-0.3, 0.9)	0.20 (-0.43, 0.78)
					Exercise alone	0.7 (0.0, 1.3)	0.39 (-0.26, 0.99)
					Involved levator scapulae		
					Exercise plus MT	0.7 (0.2, 1.3)	0.46 (-0.17, 1.05)
					Exercise alone	0.9 (0.3, 1.5)	0.59 (-0.06, 1.20)
					Uninvolved levator scapulae		
					Exercise plus MT	0.5 (0.0, 0.9)	0.30 (-0.29, 0.92)
					Exercise alone	0.5 (0.0, 1.0)	0.39 (-0.25, 1.00)
					Involved C5-6		
					Exercise plus MT	-0.1 (-0.5, 0.5)	0.00 (-0.60, 0.60)
					Exercise alone	0.6 (-1.3, 2.5)	0.62 (-0.05, 1.22)
					Uninvolved C5-6		
					Exercise plus MT	0.0 (-0.4, 0.3)	0.00 (-0.60, 0.60)
					Exercise alone	0.6 (0.2, 0.9)	0.62 (-0.02, 1.25)
					Involved tibialis anterior		
					Exercise plus MT	0.7 (-0.7, 2.0)	0.24 (-0.36, 0.85)
					Exercise alone	0.9 (-0.5, 2.3)	0.41 (-0.22, 1.04)
					Uninvolved tibialis anterior		
					Exercise plus MT	0.0 (-1.0, 0.9)	0.00 (-0.61, 0.61)
					Exercise alone	0.6 (-0.4, 1.6)	0.27 (-0.36, 0.88)
					Between-Group Differences in Change Scores‡		
							Between-Group Effect Sizes Cohen d

ALLEGATO A

					Pain VAS (0-100), mm Current pain at rest -6.3 (-20.9, 8.1) -0.28 (-0.89, 0.34) Pain during movement 0.6 (-17.3, 18.3) 0.02 (-0.59, 0.63) Greatest pain last week -2.9 (-18.5, 12.7) -0.12 (-0.73, 0.50) Least pain last week -9.6 (-17.7, -1.5) -0.75 (-1.37, -0.10) Pressure pain threshold, kg/cm ² Involved upper trapezius 0.5 (-0.3, 1.2) 0.41 (-0.21, 1.03) Uninvolved upper trapezius -0.1 (-1.0, 0.8) -0.09 (-0.70, 0.52) Involved infraspinatus 1.4 (0.5, 2.3) 0.96 (0.30, 1.59) Uninvolved infraspinatus 0.5 (-0.3, 1.3) 0.43 (-0.20, 1.04) Involved supraspinatus 0.1 (-1.1, 1.3) 0.06 (-0.55, 0.67) Uninvolved supraspinatus 0.5 (-0.2, 1.3) 0.48 (-0.15, 1.09) Involved deltoid 0.1 (-0.5, 0.6) 0.08 (-0.54, 0.69) Uninvolved deltoid 0.3 (-0.4, 0.9) 0.20 (-0.42, 0.81) Involved levator scapulae 0.2 (-0.4, 0.8) 0.18 (-0.43, 0.79) Uninvolved levator scapulae 0.1 (-0.5, 0.6) 0.06 (-0.55, 0.67) Involved C5-6 0.7 (0.1, 1.2) 0.70 (0.05, 1.31) Uninvolved C5-6 0.6 (0.2, 1.0) 1.03 (0.36, 1.66) Involved tibialis anterior 0.2 (-1.4, 1.8) 0.09 (-0.52, 0.70) Uninvolved tibialis anterior 0.6 (-0.5, 1.8) 0.36 (-0.26, 0.97)
<p>Abbreviations: MT, manual therapy; VAS, visual analog scale. * Exercise plus MT, n = 21; exercise alone, n = 20. Values are mean SD. † . Values in parentheses are 95% confidence interval. ‡</p>					

ALLEGATO A

Hallgren HC, Adolfs son LE et al. 2014	<i>A specific exercise strategy reduced the need for surgery in subacromial pain patients</i> bjsm.bmjj.com on July 1, 2014 – RCT	97 pazienti, (61M/36F) In lista d'attesa per decompressione subacromiale artroscopica Randomizzati in 2 gruppi: 51 sottoposti a specifici esercizi 46 nel gruppo di controllo con esercizi generici Età 30-65 anni Criteri inclusione: Soggetti con almeno 6 mesi di durata di dolore alla spalla a riposo o durante l'elevazione del braccio; Un risultato insoddisfacente dopo almeno 3 mesi di esercizi in cure primarie. Inoltre, tre dei seguenti test dovevano essere positivi: 1 Neer 2 Hawkins-Kennedy; 3 Jobes; 4 Patte	1 punteggio C-M24 e il numero di pazienti operati 2 Questionario sulla spalla e sulla mano (DASH) Punteggio 25-26 (versione svedese), VAS da valutare intensità del dolore a riposo, durante l'attività del braccio e di notte, Qualità della vita correlata alla salute utilizzando EuroQol (EQ-5D ed EQ VAS). Misurazioni: Baseline 3 mesi 1 anno	51 soggetti (37M/15F) sottoposti a specifici esercizi inclusi esercizi eccentrici per la cuffia dei rotatori e una combinazione di esercizi concentrici ed eccentrici per stabilizzatori della scapola, tutti con una progressione di carico come programma specifico.	46 soggetti (24M/22F) nel gruppo di controllo sottoposti ad esercizi generici sei movimenti attivi per il collo e la spalla senza alcun carico o progressione. Questi erano: abduzione della spalla, retrazione e elevazione, retrazione del collo e tratto del trapezio superiore e del pettorale Gli esercizi dovevano essere eseguiti in assenza di dolore	<p>Mean (SD) values in a Constant-Murley score, the original two groups at baseline and a 3-month follow-up, and the four groups that appeared after the patients' decision about surgery at a 3-month or 1-year follow-up</p> <table> <thead> <tr> <th></th> <th colspan="4">C-M score</th> </tr> <tr> <th>Groups</th> <th>Baseline</th> <th>3-month</th> <th>3-month</th> <th>1-year</th> </tr> </thead> <tbody> <tr> <td>Specific</td> <td>48 (15) (n=51)</td> <td>72 (19) (n=51)</td> <td></td> <td></td> </tr> <tr> <td>Control</td> <td>43 (15) (n=46)</td> <td>52 (23) (n=46)</td> <td></td> <td></td> </tr> <tr> <td>Specific—non-surgery (n=39)</td> <td></td> <td>78 (13) (n=41)</td> <td>84 (14)† (n=38)</td> <td></td> </tr> <tr> <td>Specific—surgery (n=12)†</td> <td></td> <td>53 (22) (n=10)</td> <td>79 (12) (n=12)</td> <td></td> </tr> <tr> <td>Control—non-surgery (n=17)</td> <td></td> <td>75 (14) (n=17)</td> <td>85 (13)† (n=16)</td> <td></td> </tr> <tr> <td>Control—surgery (n=29)</td> <td></td> <td>40 (16) (n=29)</td> <td>72 (18) (n=29)</td> <td></td> </tr> </tbody> </table> <p>Mean (SD) values in all outcomes at baseline, and at 3-month and 1-year follow-ups for the two originally randomised groups and the groups that appeared after the patients' decision about surgery at the 3-month or 1-year follow-up</p> <table> <thead> <tr> <th></th> <th>C-M score*</th> <th>DASH score</th> <th>EQ-5D</th> <th>EQ-VAS</th> </tr> </thead> <tbody> <tr> <td>Baseline</td> <td></td> <td></td> <td></td> <td></td> </tr> <tr> <td>Specific (n=51)</td> <td>48 (15)</td> <td>30 (14)</td> <td>0.67 (0.23)</td> <td>68 (15)</td> </tr> <tr> <td>Specific—non-surgery (n=39)</td> <td>50 (14)</td> <td>27 (12)</td> <td>0.71 (0.71)</td> <td>69 (14)</td> </tr> <tr> <td>Specific—surgery (n=10)</td> <td>42 (18)</td> <td>40 (18)</td> <td>0.53 (0.34)</td> <td>64 (20)</td> </tr> <tr> <td>Control (n=46)</td> <td>43 (15)</td> <td>35 (19)</td> <td>0.62 (0.23)</td> <td>62 (20)</td> </tr> <tr> <td>Control—non-surgery (n=17)</td> <td>54 (12)</td> <td>27 (13)</td> <td>0.71 (0.10)</td> <td>64 (17)</td> </tr> <tr> <td>Control—surgery (n=29)</td> <td>37 (13)</td> <td>40 (15)</td> <td>0.56 (0.27)</td> <td>61 (22)</td> </tr> <tr> <td></td> <td>VAS rest</td> <td>VAS activity</td> <td>VAS night</td> <td></td> </tr> <tr> <td>Baseline</td> <td></td> <td></td> <td></td> <td></td> </tr> <tr> <td>Specific (n=51)</td> <td>15 (19)</td> <td>61 (22)</td> <td>46 (28)</td> <td></td> </tr> <tr> <td>Specific—non-surgery (n=39)</td> <td>16 (20)</td> <td>60 (20)</td> <td>45 (29)</td> <td></td> </tr> <tr> <td>Specific—surgery (n=10)</td> <td>48 (28)</td> <td>65 (26)</td> <td>12 (16)</td> <td></td> </tr> <tr> <td>Control (n=46)</td> <td>20 (21)</td> <td>66 (20)</td> <td>40 (30)</td> <td></td> </tr> <tr> <td>Control—non-surgery (n=17)</td> <td>19 (15)</td> <td>67 (22)</td> <td>33 (28)</td> <td></td> </tr> <tr> <td>Control—surgery (n=29)</td> <td>26 (22)</td> <td>66 (20)</td> <td>43 (31)</td> <td></td> </tr> <tr> <td></td> <td>3 months</td> <td>C-M score*</td> <td>DASH score</td> <td>EQ-5D</td> <td>EQ-VAS</td> </tr> <tr> <td></td> <td></td> <td>Specific (n=51)</td> <td>72 (19)</td> <td>16 (15)</td> <td>0.82 (0.14)</td> <td>75 (20)</td> </tr> </tbody> </table>		C-M score				Groups	Baseline	3-month	3-month	1-year	Specific	48 (15) (n=51)	72 (19) (n=51)			Control	43 (15) (n=46)	52 (23) (n=46)			Specific—non-surgery (n=39)		78 (13) (n=41)	84 (14)† (n=38)		Specific—surgery (n=12)†		53 (22) (n=10)	79 (12) (n=12)		Control—non-surgery (n=17)		75 (14) (n=17)	85 (13)† (n=16)		Control—surgery (n=29)		40 (16) (n=29)	72 (18) (n=29)			C-M score*	DASH score	EQ-5D	EQ-VAS	Baseline					Specific (n=51)	48 (15)	30 (14)	0.67 (0.23)	68 (15)	Specific—non-surgery (n=39)	50 (14)	27 (12)	0.71 (0.71)	69 (14)	Specific—surgery (n=10)	42 (18)	40 (18)	0.53 (0.34)	64 (20)	Control (n=46)	43 (15)	35 (19)	0.62 (0.23)	62 (20)	Control—non-surgery (n=17)	54 (12)	27 (13)	0.71 (0.10)	64 (17)	Control—surgery (n=29)	37 (13)	40 (15)	0.56 (0.27)	61 (22)		VAS rest	VAS activity	VAS night		Baseline					Specific (n=51)	15 (19)	61 (22)	46 (28)		Specific—non-surgery (n=39)	16 (20)	60 (20)	45 (29)		Specific—surgery (n=10)	48 (28)	65 (26)	12 (16)		Control (n=46)	20 (21)	66 (20)	40 (30)		Control—non-surgery (n=17)	19 (15)	67 (22)	33 (28)		Control—surgery (n=29)	26 (22)	66 (20)	43 (31)			3 months	C-M score*	DASH score	EQ-5D	EQ-VAS			Specific (n=51)	72 (19)	16 (15)	0.82 (0.14)	75 (20)
	C-M score																																																																																																																																										
Groups	Baseline	3-month	3-month	1-year																																																																																																																																							
Specific	48 (15) (n=51)	72 (19) (n=51)																																																																																																																																									
Control	43 (15) (n=46)	52 (23) (n=46)																																																																																																																																									
Specific—non-surgery (n=39)		78 (13) (n=41)	84 (14)† (n=38)																																																																																																																																								
Specific—surgery (n=12)†		53 (22) (n=10)	79 (12) (n=12)																																																																																																																																								
Control—non-surgery (n=17)		75 (14) (n=17)	85 (13)† (n=16)																																																																																																																																								
Control—surgery (n=29)		40 (16) (n=29)	72 (18) (n=29)																																																																																																																																								
	C-M score*	DASH score	EQ-5D	EQ-VAS																																																																																																																																							
Baseline																																																																																																																																											
Specific (n=51)	48 (15)	30 (14)	0.67 (0.23)	68 (15)																																																																																																																																							
Specific—non-surgery (n=39)	50 (14)	27 (12)	0.71 (0.71)	69 (14)																																																																																																																																							
Specific—surgery (n=10)	42 (18)	40 (18)	0.53 (0.34)	64 (20)																																																																																																																																							
Control (n=46)	43 (15)	35 (19)	0.62 (0.23)	62 (20)																																																																																																																																							
Control—non-surgery (n=17)	54 (12)	27 (13)	0.71 (0.10)	64 (17)																																																																																																																																							
Control—surgery (n=29)	37 (13)	40 (15)	0.56 (0.27)	61 (22)																																																																																																																																							
	VAS rest	VAS activity	VAS night																																																																																																																																								
Baseline																																																																																																																																											
Specific (n=51)	15 (19)	61 (22)	46 (28)																																																																																																																																								
Specific—non-surgery (n=39)	16 (20)	60 (20)	45 (29)																																																																																																																																								
Specific—surgery (n=10)	48 (28)	65 (26)	12 (16)																																																																																																																																								
Control (n=46)	20 (21)	66 (20)	40 (30)																																																																																																																																								
Control—non-surgery (n=17)	19 (15)	67 (22)	33 (28)																																																																																																																																								
Control—surgery (n=29)	26 (22)	66 (20)	43 (31)																																																																																																																																								
	3 months	C-M score*	DASH score	EQ-5D	EQ-VAS																																																																																																																																						
		Specific (n=51)	72 (19)	16 (15)	0.82 (0.14)	75 (20)																																																																																																																																					

ALLEGATO A

						Specific—non-surgery (n=39) 78 (13) Specific—surgery (n=10) 53 (22) Control (n=46) 52 (23) Control—non-surgery (n=17) 75 (14) Control—surgery (n=29) 40 (16)	11 (10) 0.85 (0.11) 78 (19) 32 (18) 0.74 (0.20) 65 (22) 29 (19) 0.69 (0.24) 69 (21) 12 (15) 0.85 (0.10) 78 (20) 39 (14) 0.60 (0.24) 28 (27)
						VAS rest VAS activity VAS night	
						Baseline	
						Specific (n=51) 10 (14) 25 (25) 15 (22) Specific—non-surgery (n=38) 7 (11) 17 (18) 8 (15) Specific—surgery (n=10) 19 (19) 51 (29) 36 (28) Control (n=45)** 20 (25) 41 (27) 27 (27) Control—non-surgery(n=16) 6 (14) 20 (20) 12 (22) Control—surgery (n=29) 53 (23) 36 (26) 36 (26)	
						1 year	
						C-M score* DASH score EQ-5D EQ-VAS	
						Specific (n=50)** 83 (14) 9 (11) 0.88 (0.11) 84 (14) Specific—non-surgery (n=39) 84 (14) 7 (9) 0.90 (0.11) 87 (11) Specific—surgery (n=10) 79 (12) 16 (13) 0.81 (0.09) 76 (19) Control (n=46) 76 (18) 13 (15) 0.86 (0.15) 78 (19) Control—non-surgery (n=17) 85 (13) 5 (6) 0.90 (0.11) 86 (13) Control—surgery (n=29) 72 (18) 18 (16) 0.83 (0.17) 73 (20)	
						VAS rest VAS activity VAS night	
						Specific (n=50)** 2(6) 18 (23) 12 (19) Specific—non-surgery (n=39) 2 (7) 15 (22) 11 (18) Specific—surgery (n=10) 0.8 (3) 28 (24) 15 (23) Control (n=46) 4 (13) 18 (21) 14 (21) Control—non-surgery (n=17) 5 (16) 12 (18) 11 (19) Control—surgery (n=29) 4 (11) 21 (23) 15 (22)	
						**One patient lost between baseline and 3-month follow-up.	

ALLEGATO A

Kromer TO(1), de Bie RA, Bastiae nen CH. 2014	<i>Effectiveness of physiotherapy and costs in patients with clinical signs of shoulder impingement syndrome</i> J Rehabil Med 2014; 46: 1029–1036	90 pazienti sono stati inclusi nello studio 46 nel gruppo di intervento ha ricevuto una fisioterapia manuale personalizzata più esercizi individualizzati; 44 nel gruppo di controllo ha ricevuto solo esercizi personalizzati 87 sono stati analizzati al follow-up di 1 anno	1 Gli esiti primari erano l'indice di dolore e disabilità della spalla tramite scala SPADI 1 Impressione globale di cambiamento dei pazienti con FABQ	46 soggetti (24M/22F) nel gruppo di intervento hanno ricevuto fisioterapia manuale personalizzata a più esercizi individuali Trattamento manuale del dolore, esercizi per ridurre il dolore, educazione personalizzata sulla patologia e istruzioni per le ADL più provocatorie per ridurre gli eventi di dolore durante il giorno.	44 soggetti (20M/24F) nel gruppo di controllo ha ricevuto solo esercizi personalizzati. Esercizi di stretching e potenziamento per la spalla, cingolo scapolare e la colonna vertebrale cervicale e toracica 2-3 set da 10 rip.	Baseline demographic data and baseline results of the questionnaires <table border="1"> <thead> <tr> <th></th><th>Intervention (n = 46)</th><th>Control (n = 44)</th><th>Total group</th></tr> </thead> <tbody> <tr> <td>Pain score, mean (SD)</td><td>5.2 (1.8)</td><td>5.0 (1.8)</td><td>5.1 (1.8)</td></tr> <tr> <td>SPADI total score, mean (SD)</td><td>39.7 (17.2)</td><td>41.3 (17.0)</td><td>40.4 (17.0)</td></tr> <tr> <td>SPADI sub-score for pain, mean (SD)</td><td>47.8 (18.8)</td><td>49.6 (17.3)</td><td>48.7 (18.0)</td></tr> <tr> <td>SPADI sub-score for function, mean (SD)</td><td>31.5 (18.6)</td><td>32.9 (19.3)</td><td>32.2 (18.9)</td></tr> <tr> <td>GPSS score, mean (SD)</td><td>4.1 (1.8)</td><td>4.0 (1.7)</td><td>4.0 (1.7)</td></tr> <tr> <td>FABQ total score, mean (SD)</td><td>36.4 (17.4)</td><td>28.7 (16.7)</td><td>32.7 (17.4)</td></tr> <tr> <td>FABQ sub-score for physical activity, mean (SD)</td><td>15.9 (4.1)</td><td>13.3 (5.3)</td><td>14.6 (4.9)</td></tr> <tr> <td>FABQ sub-score for work, mean (SD)</td><td>13.4 (10.3)</td><td>10.8 (9.5)</td><td>12.1 (9.9)</td></tr> <tr> <td>PCS total score, mean (SD)</td><td>12.4 (9.7)</td><td>10.4 (7.1)</td><td>11.4 (8.5)</td></tr> <tr> <td>PET, mean (SD)</td><td>8.4 (1.6)</td><td>8.7 (1.3)</td><td>8.5 (1.5)</td></tr> </tbody> </table> Direct costs in Euros (SD) and between-group differences <table border="1"> <thead> <tr> <th></th><th colspan="3">Difference between groups</th></tr> <tr> <th></th><th>Intervention Mean (SD)</th><th>Control Mean (SD)</th><th>Mean (SE) pvalue</th></tr> </thead> <tbody> <tr> <td>Week 0–5 (n = 89)</td><td>209.3 (49.6)</td><td>185.7 (50.4)</td><td>23.6 (10.6) 0.03*</td></tr> <tr> <td>Week 6–12 (n = 84)</td><td>30.4 (68.2)</td><td>14.0 (28.3)</td><td>16.4 (11.2) 0.15</td></tr> <tr> <td>Week 13–52 (n = 87)</td><td>167.9 (518.7)</td><td>127.2 (447.0)</td><td>40.6 (103.9) 0.70</td></tr> <tr> <td>Week 0–52 (n = 84)</td><td>408.5 (545.8)</td><td>332.7 (472.2)</td><td>75.8 (111.9) 0.5</td></tr> </tbody> </table> Results after 5, 12, and 52 weeks <table border="1"> <thead> <tr> <th></th><th colspan="2">Week 0</th><th colspan="2">Week 5</th></tr> <tr> <th></th><th>Intervention (n = 46)</th><th>Control (n = 44)</th><th>Intervention (n = 46)</th><th>Control (n = 44)</th></tr> <tr> <th>Outcomes</th><th>Mean (SD)</th><th>Mean (SD)</th><th>Mean (SD)</th><th>Mean (SD)</th></tr> </thead> <tbody> <tr> <td>SPADI (0–100)</td><td>39.7 (17.2)</td><td>41.3 (17.0)</td><td>23.5 (17.5)</td><td>26.8 (17.8)</td></tr> <tr> <td>Pain SPADI (0–100)</td><td>47.8 (18.8)</td><td>49.6 (17.3)</td><td>29.8 (21.1)</td><td>31.5 (18.8)</td></tr> <tr> <td>Function SPADI</td><td>31.5 (18.6)</td><td>32.9 (19.3)</td><td>17.1 (15.0)</td><td>22.1 (18.1)</td></tr> <tr> <td>GPSS (0–10)</td><td>4.1 (1.8)</td><td>4.0 (1.7)</td><td>7.1 (2.0)</td><td>6.3 (2.0)</td></tr> </tbody> </table> <table border="1"> <thead> <tr> <th></th><th colspan="2">Week 12</th><th colspan="2">Week 52</th></tr> <tr> <th></th><th>Intervention (n = 44)</th><th>Control (n = 44)</th><th>Intervention (n = 44)</th><th>Control (n = 43)</th></tr> </thead> </table>		Intervention (n = 46)	Control (n = 44)	Total group	Pain score, mean (SD)	5.2 (1.8)	5.0 (1.8)	5.1 (1.8)	SPADI total score, mean (SD)	39.7 (17.2)	41.3 (17.0)	40.4 (17.0)	SPADI sub-score for pain, mean (SD)	47.8 (18.8)	49.6 (17.3)	48.7 (18.0)	SPADI sub-score for function, mean (SD)	31.5 (18.6)	32.9 (19.3)	32.2 (18.9)	GPSS score, mean (SD)	4.1 (1.8)	4.0 (1.7)	4.0 (1.7)	FABQ total score, mean (SD)	36.4 (17.4)	28.7 (16.7)	32.7 (17.4)	FABQ sub-score for physical activity, mean (SD)	15.9 (4.1)	13.3 (5.3)	14.6 (4.9)	FABQ sub-score for work, mean (SD)	13.4 (10.3)	10.8 (9.5)	12.1 (9.9)	PCS total score, mean (SD)	12.4 (9.7)	10.4 (7.1)	11.4 (8.5)	PET, mean (SD)	8.4 (1.6)	8.7 (1.3)	8.5 (1.5)		Difference between groups				Intervention Mean (SD)	Control Mean (SD)	Mean (SE) pvalue	Week 0–5 (n = 89)	209.3 (49.6)	185.7 (50.4)	23.6 (10.6) 0.03*	Week 6–12 (n = 84)	30.4 (68.2)	14.0 (28.3)	16.4 (11.2) 0.15	Week 13–52 (n = 87)	167.9 (518.7)	127.2 (447.0)	40.6 (103.9) 0.70	Week 0–52 (n = 84)	408.5 (545.8)	332.7 (472.2)	75.8 (111.9) 0.5		Week 0		Week 5			Intervention (n = 46)	Control (n = 44)	Intervention (n = 46)	Control (n = 44)	Outcomes	Mean (SD)	Mean (SD)	Mean (SD)	Mean (SD)	SPADI (0–100)	39.7 (17.2)	41.3 (17.0)	23.5 (17.5)	26.8 (17.8)	Pain SPADI (0–100)	47.8 (18.8)	49.6 (17.3)	29.8 (21.1)	31.5 (18.8)	Function SPADI	31.5 (18.6)	32.9 (19.3)	17.1 (15.0)	22.1 (18.1)	GPSS (0–10)	4.1 (1.8)	4.0 (1.7)	7.1 (2.0)	6.3 (2.0)		Week 12		Week 52			Intervention (n = 44)	Control (n = 44)	Intervention (n = 44)	Control (n = 43)
	Intervention (n = 46)	Control (n = 44)	Total group																																																																																																																				
Pain score, mean (SD)	5.2 (1.8)	5.0 (1.8)	5.1 (1.8)																																																																																																																				
SPADI total score, mean (SD)	39.7 (17.2)	41.3 (17.0)	40.4 (17.0)																																																																																																																				
SPADI sub-score for pain, mean (SD)	47.8 (18.8)	49.6 (17.3)	48.7 (18.0)																																																																																																																				
SPADI sub-score for function, mean (SD)	31.5 (18.6)	32.9 (19.3)	32.2 (18.9)																																																																																																																				
GPSS score, mean (SD)	4.1 (1.8)	4.0 (1.7)	4.0 (1.7)																																																																																																																				
FABQ total score, mean (SD)	36.4 (17.4)	28.7 (16.7)	32.7 (17.4)																																																																																																																				
FABQ sub-score for physical activity, mean (SD)	15.9 (4.1)	13.3 (5.3)	14.6 (4.9)																																																																																																																				
FABQ sub-score for work, mean (SD)	13.4 (10.3)	10.8 (9.5)	12.1 (9.9)																																																																																																																				
PCS total score, mean (SD)	12.4 (9.7)	10.4 (7.1)	11.4 (8.5)																																																																																																																				
PET, mean (SD)	8.4 (1.6)	8.7 (1.3)	8.5 (1.5)																																																																																																																				
	Difference between groups																																																																																																																						
	Intervention Mean (SD)	Control Mean (SD)	Mean (SE) pvalue																																																																																																																				
Week 0–5 (n = 89)	209.3 (49.6)	185.7 (50.4)	23.6 (10.6) 0.03*																																																																																																																				
Week 6–12 (n = 84)	30.4 (68.2)	14.0 (28.3)	16.4 (11.2) 0.15																																																																																																																				
Week 13–52 (n = 87)	167.9 (518.7)	127.2 (447.0)	40.6 (103.9) 0.70																																																																																																																				
Week 0–52 (n = 84)	408.5 (545.8)	332.7 (472.2)	75.8 (111.9) 0.5																																																																																																																				
	Week 0		Week 5																																																																																																																				
	Intervention (n = 46)	Control (n = 44)	Intervention (n = 46)	Control (n = 44)																																																																																																																			
Outcomes	Mean (SD)	Mean (SD)	Mean (SD)	Mean (SD)																																																																																																																			
SPADI (0–100)	39.7 (17.2)	41.3 (17.0)	23.5 (17.5)	26.8 (17.8)																																																																																																																			
Pain SPADI (0–100)	47.8 (18.8)	49.6 (17.3)	29.8 (21.1)	31.5 (18.8)																																																																																																																			
Function SPADI	31.5 (18.6)	32.9 (19.3)	17.1 (15.0)	22.1 (18.1)																																																																																																																			
GPSS (0–10)	4.1 (1.8)	4.0 (1.7)	7.1 (2.0)	6.3 (2.0)																																																																																																																			
	Week 12		Week 52																																																																																																																				
	Intervention (n = 44)	Control (n = 44)	Intervention (n = 44)	Control (n = 43)																																																																																																																			

ALLEGATO A

		(5) dolore con uno dei seguenti test di resistenza: rotazione esterna, rotazione interna, abduzione o flessione.		Entrambi i gruppi hanno avuto 10 trattamenti in 5 settimane; in seguito tutti i pazienti hanno continuato i loro esercizi per altre 7 settimane a casa.			SPADI (0–100) 16.1 (17.2) 19.8 (19.5) 15.3 (20.3) 10.2 (15.2) Pain SPADI (0–100) 20.1 (19.7) 24.1 (21.7) 17.7 (21.8) 12.4 (16.9) Function SPADI 12.1 (15.4) 15.5 (18.1) 12.9 (19.4) 7.7 (14.1) GPSS 7.3 (2.5) 7.4 (2.0) 7.9 (2.6) 8.6 (1.8)
Results after 5, 12, and 52 weeks for within-groups comparison							
		Difference within groups at 5 week		Intervention (n = 46) Mean (SD) [95% CI]	Control (n = 44) Mean (SD) [95% CI]	Intervention (n = 44) Mean (SD) [95% CI]	Difference within groups between 5 and 12 weeks
							Intervention (n = 44) Mean (SD) [95% CI]
		Outcome					
		SPADI (0–100)	16.2 (18.2)** [10.8–21.6]	14.4 (17.1)** [9.2–19.6]	7.5 (12.3)** [3.7–11.2]	7.0 (13.8)* [2.8–11.2]	
		Pain SPADI (0–100)	18.0 (20.2)** [12.0–24.0]	18.0 (21.4)** [11.5–24.5]	9.8 (15.2)** [5.2–14.4]	7.4 (16.6)* [2.4–12.5]	
		Function (0–100)	14.4 (18.8)** [8.8–20.0]	10.8 (15.8)** [6.0–15.6]	5.1 (10.8)* [1.9–8.4]	6.7 (12.6)** [2.8–10.5]	
		SPADI (0–100)	3.0 (2.3)** [2.3–3.7]	2.3 (2.2)** [1.6–3.0]	0.3 (1.8) [-0.27–0.81]	1.1 (2.0)** [0.5–1.7]	
		GPSS (0–10)					
		Difference within groups between 12 and 52 weeks		Intervention (n = 44) Mean (SD) [95% CI]	Control (n = 43) Mean (SD) [95% CI]	Intervention (n = 44) Mean (SD) [95% CI]	Difference within groups between 0 and 52 weeks
		Outcome					
		SPADI (0–100)	0.8 (18.0) [-4.6–6.3]	9.4 (15.2)** [4.8–14.1]	25.2 (21.5)** [18.7–31.7]	31.5 (16.5)** [26.5–36.6]	
		Pain SPADI (0–100)	2.4 (18.1) [-3.1–8.0]	11.3 (16.8)** [6.1–16.5]	31.1 (22.5)** [24.2–37.9]	37.4 (18.8)** [31.6–43.2]	
		Function (0–100)	-0.8 (19.3) [-6.7–5.1]	7.6 (14.7)* [3.1–12.1]	19.3 (23.0)** [12.3–26.3]	25.7 (17.7)** [20.2–31.1]	
		SPADI (0–100)	0.6 (1.9) [-2.0–0.1]	1.2 (2.1)** [0.5–3.6]	3.9 (2.8)** [3.1–4.8]	4.6 (2.8)** [3.9–5.3]	
		GPSS (0–10)					
Total group numbers (percentage) of patients with a clinically important change for every outcome measure							
		Outcomes		Week 5 (n = 90) n (%)	Week 12 (n = 88) n (%)	Week 52 (n = 87) n (%)	
		Total SPADI score (> 10)	51 (56.7)	67 (76.1)	72 (82.8)		
		GPSS (> 2)	39 (43.3)	60 (68.2)	68 (78.2)		

ALLEGATO A

						PGIC (slightly and much better) PGIC (much better)	79 (87,8) 42 (46.7)	81 (92,1) 50 (56.8)	79 (90,8) 67 (77,0)
SPADI: Shoulder Pain and Disability Index; GPSS: Generic Patient-Specific Scale; PGIC: Patient's Global Impression of Change.									
Nihan Ozunlu Pekyavasa, Nevin Ergun 2016	<i>Comparison of virtual reality exergaming and home exercise programs in patients with subacromial impingement syndrome and scapular dyskinesis: Short term effect</i>	30 pazienti con SIS Randomizzati in due gruppi: 15 nel gruppo programma esercizi domiciliari (EX Group) 15 nel gruppo gioco di realtà virtuale Exergaming Program (gruppo WII) Età 18 – 60 anni Sindrome da impingement e discinesia scapolare	1 VAS, 1ROM 1 dolore e disabilità della spalla con scala SPADI Misurazioni Prima del trattamento Dopo il trattamento a 6 settimane Periodo di controllo ad 1 mese	15 soggetti (1M/14F) inclusi nel gruppo gioco di realtà virtuale Exergaming Program (gruppo WII) programma per movimenti spalla con Nintendo Wii (Nintendo, Kyoto, Giappone) per 6 settimane, 2 giorni alla settimana e 45 minuti al giorno. il pugilato, il bowling e le partite di tennis accompagnate dall'avatar.	15 soggetti (2M/13F) inclusi nel gruppo programma esercizi domiciliari (EX Group) Gli esercizi sono stati fatti senza resistenza per la prima settimana. L'allenamento resistivo è stato dato a partire dalla seconda settimana con una resistenza adeguata di Theraband®. Il corretto colore di Theraband® è stato determinato per la corretta resistenza del soggetto a 10 ripetizioni di movimento. Esercizi e resistenza Theraband® sono stati controllati settimanalmente	The mean differences in pain, disability, SAIS symptom tests and scapular dyskinesia test parameters between two groups and three time factors			
EX									
						BT-AT X ± SE (pc)	AT-C X ± SE (pc)	BT-C X ± SE (pc)	
Pain at rest (cm)		2.20 ± 0.90 (0.065)		0.20 ± 0.46 (1.00)		2.41 ± 0.83 (0.028a)			
Pain during activity (cm)		3.00 ± 1.03 (0.022a)		1.16 ± 0.45 (0.050)		4.16 ± 1.01 (0.001a)			
Pain at night (cm)		1.79 ± 0.94 (0.209)		0.79 ± 0.66 (0.730)		2.58 ± 0.97 (0.039a)			
SPADI Score		5.50 ± 3.60 (0.414)		11.41 ± 2.30 (0.000a)		16.92 ± 4.10 (0.001a)			
Neer		0.25 ± 0.16 (0.412)		0.08 ± 0.08 (1.00)		0.33 ± 0.13 (0.061)			
Hawkins		0.33 ± 0.16 (0.169)		0.00 ± 0.10 (1.00)		0.33 ± 0.15 (0.127)			
SRT		4.44 ± 0.13 (1.00)		0.08 ± 0.12 (1.00)		0.08 ± 0.12 (1.00)			
SAT		0.41 ± 0.16 (0.054)		0.83 ± 0.12 (1.00)		0.33 ± 0.13 (0.067)			
LSST -1		0.16 ± 0.14 (0.794)		1.58 ± 1.07 (0.461)		1.41 ± 1.02 (0.537)			
LSST-2		0.16 ± 0.15 (0.893)		0.16 ± 0.08 (0.214)		2.22 ± 0.17 (1.00)			
LSST-3		0.08 ± 0.15 (1.00)		0.08 ± 0.08 (1.00)		2.22 ± 0.15 (1.00)			
WII									
						BT-AT X ± SE (pc)	AT-C X ± SE (pc)	BT-C X ± SE (pc)	P
Pain at rest (cm)		2.00 ± 1.18 (0.309)		2.06 ± 0.60 (1.00)		2.00 ± 1.09 (0.237)		0.263	
Pain during activity (cm)		5.85 ± 1.35 (0.001a)		0.00 ± 0.59 (1.00)		5.85 ± 1.33 (0.000a)		0.446	
Pain at night (cm)		4.65 ± 1.24		5.20 ± 0.86		4.65 ± 1.27		0.050	

ALLEGATO A

Valutazione PEDro degli studi inclusi

Nr	Titolo	Autore, anno	Valutazione PEDro										
			2	3	4	5	6	7	8	9	10	11	TOT
1	Progressive conscious control of scapular orientation with video feedback has improvement in muscle balance ratio in patients with scapular dyskinesis	Huang TS, Du WY, et al. 2018	SI	SI	SI	SI	SI	NO	SI	SI	SI	SI	9
2	Effects of Scapular Stabilization Exercise Training on Scapular Kinematics, Disability, and Pain in Subacromial Impingement	Turgut E et al. 2017	SI	SI	SI	SI	SI	SI	SI	SI	SI	SI	10
3	The effects of scapular mobilization in patients with subacromial impingement syndrome	Aytar A et al. 2015	SI	SI	SI	SI	SI	SI	SI	SI	SI	SI	10
4	Efficacy of dynamic humeral centering according to Neer test results: a stratified analysis of a randomized-controlled trial.	Beaudreuil J et al. 2015	SI	SI	SI	SI	SI	SI	NO	NO	SI	SI	8
5	Effect of dynamic humeral centring (DHC) treatment on painful active elevation of the arm in subacromial impingement syndrome. Secondary analysis of data from an RCT.	Beaudreuil J, Lasbleiz S et al. 2013	SI	SI	NO	SI	NO	SI	SI	SI	SI	SI	8
6	Scapular kinematics pre- and post-thoracic thrust manipulation in individuals with and without shoulder impingement symptoms	Haik MN, et al. 2014	SI	SI	SI	SI	SI	SI	SI	SI	SI	SI	10
7	Validation of a sham comparator for thoracic spinal manipulation in patients with shoulder pain.	Michener LA, et al. 2015	SI	SI	SI	SI	SI	SI	NO	SI	SI	SI	9
8	Immediate changes in pressure pain sensitivity after thoracic spinal manipulative therapy in patients with subacromial impingement syndrome	Kardouni JR, et al. 2015	SI	SI	SI	SI	SI	SI	NO	NO	SI	SI	8
9	Thoracic Spine Manipulation in Individuals With Subacromial Impingement Syndrome .Does Not Immediately Alter Thoracic Spine Kinematics, Thoracic Excursion, or Scapular Kinematics	Kardouni JR, et al. 2015	SI	SI	SI	SI	SI	SI	SI	SI	SI	SI	10
10	Short-Term Effects of Thoracic Spine Manipulation on Shoulder Impingement Syndrome	Haik MN, et al. 2017	SI	SI	SI	SI	SI	SI	SI	SI	SI	SI	10
11	Effects of Kinesiology Taping on Scapular Reposition Accuracy, Kinematics, and Muscle Activity in Athletes With Shoulder Impingement Syndrome.	Shih YF, Lee YF, Chen WY. 2017	SI	SI	SI	SI	NO	NO	SI	SI	SI	SI	8

ALLEGATO B

2	Rigid shoulder taping with physiotherapy in patients with subacromial pain syndrome	Apeldoorn AT, et al. 2017	SI	10									
13	Kinesio taping or just taping in shoulder subacromial impingement syndrome?	Kocyigit F, et al. 2016	SI	10									
14	Short-Term Effectiveness of Precut Kinesiology Tape Versus an NSAID as Adjuvant Treatment to Exercise for Subacromial Impingement	Devereaux M, et al. 2016	SI	SI	SI	SI	NO	NO	SI	NO	SI	SI	7
15	The clinical and sonographic effects of kinesiotaping and exercise in comparison with manual therapy and exercise for patients with subacromial impingement syndrome	Kaya DO, et al. 2014	SI	SI	SI	SI	NO	SI	SI	SI	SI	SI	9
16	Comparison of different electrotherapy methods and exercise therapy in shoulder impingement syndrome	Gunay Ucurum S, et al. 2018	SI	SI	SI	SI	NO	SI	SI	SI	SI	SI	9
17	Effectiveness of Shortwave Diathermy for Subacromial Impingement Syndrome and Value of Night Pain for Patient Selection	Yilmaz Kaysin M, et al. 2017	SI	SI	SI	SI	SI	SI	NO	SI	SI	SI	9
18	One year results of a randomized controlled trial on radial Extracorporeal Shock Wave Treatment, with predictors of pain, disability and return to work in patients with subacromial pain syndrome.	Kvalvaag E, Roe C, et al. 2017	SI	10									
19	Comparison of photobiomodulation therapy and suprascapular nerve-pulsed radiofrequency in chronic shoulder pain: a randomized controlled, single-blind, clinical trial.	Okmen BM, Okmen K. 2017	SI	10									
20	Is Extracorporeal Shockwave Therapy Combined With Isokinetic Exercise More Effective Than Extracorporeal Shockwave Therapy Alone for Subacromial Impingement Syndrome? A Randomized Clinical Trial.	Santamato A, Panza F, et al. 2016	SI	10									
21	Efficiency of therapeutic ultrasound on pain, disability, anxiety, depression, sleep and quality of life in patients with subacromial impingement syndrome: A randomized controlled study.	Yazmalar L, Batmaz Ä, et al. 2016	SI	10									
22	A specific exercise strategy reduced the need for surgery in subacromial pain patients.	Hallgren HC, Adolfsson LE, et al. 2014	SI	SI	NO	SI	SI	SI	SI	NO	SI	SI	8

ALLEGATO B

23	Effects of mobilization with movement on pain and range of motion in patients with unilateral shoulder impingement syndrome: a randomized controlled trial.	Delgado-Gil JA et al. 2015	SI	SI	SI	SI	NO	SI	SI	SI	SI	SI	SI	9
24	Effectiveness of physiotherapy and costs in patients with clinical signs of shoulder impingement syndrome: One-year follow-up of a randomized controlled trial.	Kromer TO, de Bie RA, Bastiaenen CH. 2014	SI	SI	SI	SI	NO	SI	SI	SI	SI	SI	SI	9
25	Efficacy of Hand Behind Back Mobilization With Movement for Acute Shoulder Pain and Movement Impairment: A Randomized Controlled Trial.	Satpute KH, Bhandari P, Hall T 2015	SI	10										
26	Efficacy of Proprioceptive Exercises in Patients with Subacromial Impingement Syndrome: A Single-Blinded Randomized Controlled Study.	Dilek B, Gulbahar S, et al. 2016	SI	10										
27	Home exercises and supervised exercises are similarly effective for people with subacromial impingement: a randomised trial.	Granviken F, Vasseljen O. 2015	SI	SI	NO	SI	9							
28	Comparison of three types of exercise in the treatment of rotator cuff tendinopathy/shoulder impingement syndrome: A randomized controlled trial.	Heron SR, Wobdy SR, Thompson DP. 2016	SI	SI	NO	NO	NO	SI	SI	SI	SI	SI	SI	7
29	Immediate Effects of Mobilization With Movement vs Sham Technique on Range of Motion, Strength, and Function in Patients With Shoulder Impingement Syndrome	Guimaraes JF, Salvini TF et al 2016	SI	SI	SI	SI	NO	SI	SI	SI	SI	SI	SI	9
30	Effects of Stretching and Strengthening Exercises, With and Without Manual Therapy, on Scapular Kinematics, Function, and Pain in Individuals With Shoulder Impingement: A Randomized Controlled Trial.	Camargo PR, Alburquerque- et al. 2015	SI	SI	SI	SI	NO	NO	SI	SI	SI	SI	SI	8
31	Evaluation of the effectiveness of three physiotherapeutic treatments for subacromial impingement syndrome: a randomised clinical trial.	Perez-Merino L, Casajuana MC et al. 2015	SI	10										
32	Short-term effects of high-intensity laser therapy, manual therapy, and Kinesio taping in patients with subacromial impingement syndrome.	Pekyavas NO, Baltaci G. 2016	SI	SI	SI	SI	SI	NO	SI	SI	SI	SI	SI	9
33	Comparison of virtual reality exergaming and home exercise programs in patients with subacromial impingement syndrome and scapular dyskinesis: Short term effect	Nihan Ozunlu Pekyavas a, Nevin Ergun 2016	SI	SI	SI	SI	NO	NO	SI	SI	SI	SI	SI	8

Legenda Pedro Scale

- 2 subjects were randomly allocated to groups (in a crossover study, subjects were randomly allocated an order in which treatments were received)
- 3 allocation was concealed
- 4 the groups were similar at baseline regarding the most important prognostic indicators
- 5 there was blinding of all subjects
- 6 there was blinding of all therapists who administered the therapy
- 7 there was blinding of all assessors who measured at least one key outcome
- 8 measures of at least one key outcome were obtained from more than 85% of the subjects initially allocated to groups
- 9 all subjects for whom outcome measures were available received the treatment or control condition as allocated or, where this was not the case, data for at least one key outcome was analysed by “intention to treat”
- 10 the results of between-group statistical comparisons are reported for at least one key outcome
- 11 the study provides both point measures and measures of variability for at least one key outcome

BIBLIOGRAFIA

1	2018	Tsun-Shun Huang,Wan-Yu Du et Al.	<i>Progressive conscious control of scapular orientation with video feedback has improvement in muscle balance ratio in patients with scapular dyskinesis</i>	10.1016/j.jse.2018.04.006
2	2017	Elif Turgut Irem Duzgun	<i>Effects of Scapular Stabilization Exercise Training on Scapular Kinematics, Disability, and Pain in Subacromial Impingement</i>	10.1016/j.apmr.2017.05.023
3	2015	Aydan Aytar, Gul Baltaci et Al.	<i>The Effects of Scapular Mobilization in Patients With Subacromial Impingement Syndrome</i>	10.1123/jsr.2013-0120
4	2015	Johan Beaudreuil Agnès Ostertag et Al	<i>Efficacy of dynamic humeral centering according to Neer test results</i>	10.1097/MRR.000000000000079
5	2013	Johan Beaudreuil Sandra Lasbleiz et Al.	<i>Effect of dynamic humeral centring (DHC) treatment on painful active elevation of the arm in subacromial impingement syndrome.</i>	10.1136/bjsports-2012-091996
6	2017	Haik MN, et al.	<i>Short-Term Effects of Thoracic Spine Manipulation on Shoulder Impingement Syndrome</i>	10.1016/j.apmr.2017.02.003
7	2015	Kardouni JR, Scott W. Shaffer et al.	<i>Immediate changes in pressure pain sensitivity after thoracic spinal manipulative therapy in patients with subacromial impingement syndrome</i>	10.2519/jospt.2015.5647
8	2015	Kardouni JR, Peter E. Pidcoe et al	<i>Thoracic Spine Manipulation in Individuals with Subacromial Impingement Syndrome Does Not Immediately Alter Thoracic Spine Kinematics, Thoracic Excursion, or Scapular Kinematics</i>	10.1016/j.math.2014.12.003
9	2015	Michener LA, et al.	<i>Validation of a sham comparator for thoracic spinal manipulation in patients with shoulder pain</i>	10.1016/j.math.2014.08.008
10	2014	Haik MN, et al	<i>Scapular Kinematics Pre- and Post-Thoracic Thrust Manipulation in Individuals With and Without Shoulder Impingement Symptoms</i>	10.2519/jospt.2014.4760
11	2017	Shih YF, Lee YF, Chen WY.	<i>Effects of Kinesiology Taping on Scapular Reposition Accuracy, Kinematics, and Muscle Activity in Athletes with Shoulder Impingement Syndrome</i>	10.1123/jsr.2017-0043
12	2017	Apeldoorn AT, et al.	<i>Rigid shoulder taping with physiotherapy in patients with subacromial pain syndrome</i>	10.2340/16501977-2214
13	2016	Kocyigit F,et al.	<i>Kinesio taping or just taping in shoulder subacromial impingement syndrome?</i>	10.1080/09593985.2016.1219434
14	2016	Devereaux M, et al.	<i>Short-Term Effectiveness of Precut Kinesiology Tape Versus an NSAID as Adjuvant Treatment to Exercise for Subacromial Impingement</i>	10.1097/JSM.0000000000000187
15	2018	Gunay Ucurum S, et al.	<i>Comparison of different electrotherapy methods and exercise therapy in shoulder impingement syndrome</i>	10.1007/s10103-016-1963-2
16	2018	Nazligul Akpinar P, Aktas	<i>The effect of interferential current therapy (IFC) on patients with subacromial impingement syndrome</i>	10.1016/j.aott.2018.03.005
17	2017	Yilmaz Kaysin M, et al.	<i>Effectiveness of Shortwave Diathermy for Subacromial Impingement Syndrome and Value of Night Pain for Patient Selection</i>	10.23736/S1973-9087.17.04748-7

18	2017	Kvalvaag E, Roe C et al.	<i>One year results of a randomized controlled trial on radial Extracorporeal Shock Wave Treatment, with predictors of pain, disability and return to work in patients with subacromial pain syndrome</i>	10.2519/jospt.2016.4629
19	2017	Burcu Metin Ökmen & Korgün Ökmen	<i>Comparison of photobiomodulation therapy and suprascapular nerve-pulsed radiofrequency in chronic shoulder pain</i>	10.23736/S1973-9087.17.04743-8
20	2016	Santamato A, Panza F. et al.	<i>In the Treatment of Subacromial Impingement Syndrome Is Extra Corporeal Shock Wave Therapy Combined with Isokinetic Exercise for Rotator Cuff More Effective Than Extra Corporeal Shock Wave Therapy Alone?</i>	10.1097/PHM.0000000000819
21	2016	Yazmalar Batmaz Ä et I.	<i>Efficiency of therapeutic ultrasound on pain, disability, anxiety, depression, sleep and quality of life in patients with subacromial impingement syndrome</i>	10.1007/s10103-017-2237-3
22	2016	Pekyavas NO, Baltaci G.	<i>Short-term effects of high-intensity laser therapy, manual therapy, and Kinesio taping in patients with subacromial impingement syndrome.</i>	10.3233/BMR-160692
23	2015	Pérez Merino M. del Carmen Casajuana Brians	<i>Evaluation of the effectiveness of three physiotherapeutic treatments for subacromial impingement syndrome</i>	10.1016/j.physio.2016.09.001
24	2016	Heron Woby , Thompson DP.	<i>Comparison of three types of exercise in the treatment of rotator cuff tendinopathy/shoulder impingement syndrome</i>	10.1016/j.jmpt.2016.08.001
25	2016	Guimares JF, Salvini TF et al	<i>Immediate Effects of Mobilization with Movement vs Sham Technique on Range of Motion, Strength, and Function in Patients With Shoulder Impingement Syndrome</i>	10.1097/PHM.0000000000327
26	2016	Dilek B, Gulbahar et al.	<i>Efficacy of Proprioceptive Exercises in Patients with Subacromial Impingement Syndrome</i>	10.1016/j.jmpt.2014.12.008
27	2015	Delgado-Gil JA et al.	<i>Effects of mobilization with movement on pain and range of motion in patients with unilateral shoulder impingement syndrome</i>	10.1016/j.jmpt.2015.04.003
28	2015	Satpute KH, Bhandari P, Hall T.	<i>Efficacy of Hand Behind Back Mobilization With Movement for Acute Shoulder Pain and Movement Impairment</i>	10.1016/j.jphys.2015.05.014
29	2015	Granviken F, Vasseljen O	<i>Home exercises and supervised exercises are similarly effective for people with subacromial impingement</i>	10.2519/jospt.2015.5939
30	2015	Camargo PR, Alburquerque- et al.	<i>Effects of Stretching and Strengthening Exercises, With and Without Manual Therapy, on Scapular Kinematics, Function, and Pain in Individuals With Shoulder Impingement</i>	10.1016/j.physio.2015.01.010
31	2014	Hallgren HC, Adolfsson LE et al.	<i>A specific exercise strategy reduced the need for surgery in subacromial pain patients</i>	10.2340/16501977-1867
32	2014	Kromer Rob de Bie et Al.	<i>Effectiveness of physiotherapy and costs in patients with clinical signs of shoulder impingement syndrome</i>	10.1186/s13063-014-0544-6
33	2016	Nihan Ozunlu Pekyavas a, Nevin Ergun	<i>Comparison of virtual reality exergaming and home exercise programs in patients with subacromial impingement syndrome and scapular dyskinesis: Short term effect</i>	10.1016/j.aott.2017.03.008

